

UNIVERZITA PALACKÉHO V OLMOUCI

FILOZOFICKÁ FAKULTA

KATEDRA ASIJSKÝCH STUDIÍ

MAGISTERSKÁ DIPLOMOVÁ PRÁCA

Prozodická analýza textu: Opice loví měsíc

Prosodic Analysis of the Text: Monkeys Fishing the Moon

OLMOUC 2021 Bc. Zuzana Hlavačková

Vedúci diplomovej práce: doc. Mgr. David Uher, PhD

Čestné prehlásenie

Prehlasujem, že som diplomovú prácu vypracovala samostatne a uviedla všetky použité
pramene a literatúru.

Partizánske, 1. mája 2021

.....

Bc. Zuzana Hlavačková

Anotácia

Meno a priezvisko autora:	Zuzana Hlavačková
Názov fakulty a katedry:	Filozofická fakulta, Katedra asijských študií
Názov diplomovej práce:	Prozodická analýza textu: Opice loví mesíc
Súhrn práce:	Počet strán: 86
	Počet znakov: 129 078
	Počet titulov použitej literatúry: 18
Kľúčové slová:	prozodická analýza, pekinčina, model, prof. Oldřich Švarný, rytmické členenie, lineárne členenie

Anotácia: Cieľom tejto magisterskej diplomovej práce je vytvorenie a popis prozodického modelu reprezentujúceho súčasnú podobu modernej hovorovej štandardnej čínštiny, tj. pekinčiny, a následné porovnanie prozodických charakteristík tohto modelu s nahrávkou identického textu staršej doby vzniku za účelom zhodnotenia vývoja prozodickej podoby pekinčiny v čase. Predpokladané je pozorovanie oslabenia tónových vlastností jazyka, ktoré sa prejaví najmä na úbytku tónových slabík. Prozodický model bude vytvorený na základe spoločných znakov 25 nahrávok poviedky *Opice loví mesíc* prebratej z učebnice p. prof. Švarného *Hovorová čínština v príkladech II*¹. Základom porovnávanej vzorky bude prozodická transkripcia vytvorená p. prof. Švarným na prelome šesdesiatych a sedemdesiatych rokov uvedená v jeho diele *Učební slovník jazyka čínského I*².

Resumé výsledkov: Vytvorený model pozostáva z 21 viet, 44 kól, 115 segmentov a 296 slabík. Prevažovali kóla tvorené dvoma segmentami a trojslabičné segmenty. Plne tónické slabiky zastupovali iba menej ako polovicu ich celkového počtu. Väčšina segmentov bola jednoiktová a prevažoval descendentný sled. Kóla boli najčastejšie tvorené dvoma a viac sledmi bez priameho susedstva arzií. Zrovnanie so staršou nahrávkou, aj napriek určitým odlišnostiam, ukázalo veľmi veľkú mieru podobnosti prozodických vlastností a jednoznačné potvrdenie hypotézy tak nebolo možné.

¹ Švarný 1998a: 135.

² Švarný 1998c: grafy (31–39).

Pod'akovanie

Úprimné pod'akovanie za cenné rady a vedenie počas celého štúdia by som chcela touto cestou vyjadriť vedúcemu diplomovej práce, pánovi doc. Mgr. Davidovi Uhrovi, PhD.

Obsah

Anotácia	3
Obsah	5
Zoznam tabuliek	7
Zoznam grafov	8
Zoznam skratiek a značiek	9
Edičná poznámka	10
Úvod	11
1. Teoretická časť	13
1.1 Lineárne členenie	13
1.2 Prozodická charakteristika slabík v štyroch tónoch	14
1.3 Iktovosť	14
1.4 Sedem stupňov prominencie	15
1.5 Zápis prozodickej transkripcie	16
1.6 Rytmický priebeh	17
1.6.1 Rytmický priebeh segmentov	17
1.6.2 Rytmický priebeh kól	18
2. Korpus	19
2.1 Metodológia	19
2.2 Tvorba prozodického modelu	22
2.2.1 Predložený text	22
2.2.2 Prozodické transkripcie jednotlivých nahrávok	23
2.2.3 Model prozodickej realizácie	37
3. Prozodická analýza vytvoreného modelu	39
3.1 Lineárne členenie	39
3.2 Rytmické členenie segmentov	41
3.2.1 Prominencia slabík	42
3.2.2 Dvojslabičné segmenty	43
3.2.3 Trojslabičné segmenty	44
3.2.4 Štvorslabičné segmenty	45
3.2.5 Päťslabičné segmenty	47
3.2.6 Šesťslabičné segmenty	48
3.3 Rytmické členenie kól	50
3.3.1 Kóla tvorené jedným sledom	51
3.3.2 Kóla bez priameho susedstva dvoch arzií	51

3.3.3 Kóla s priamym susedstvom dvoch arzií	52
3.3.4 Kóla s atonickou slabikou vloženou medzi dvoma arziami	53
3.3.5 Pozícia sledov	53
4. Prozodická analýza porovnáwanej vzorky	55
4.1 Lineárne členenie	56
4.2 Rytmické členenie segmentov	58
4.2.1 Prominencia slabík.....	59
4.2.2 Jednoslabičné segmenty.....	60
4.2.3 Dvojslabičné segmenty	60
4.2.4 Trojslabičné segmenty	61
4.2.5 Štvorslabičné segmenty	61
4.2.6 Päťslabičné segmenty	63
4.2.7 Šesťslabičné segmenty.....	64
4.2.8 Sedemslabičné segmenty	65
4.3 Rytmické členenie kól	66
4.3.1 Kóla tvorené jedným sledom	67
4.3.2 Kóla bez priameho susedstva dvoch arzií.....	68
4.3.3 Kóla s priamym susedstvom dvoch arzií	69
4.3.4 Kóla s atonickou slabikou vloženou medzi dvoma arziami	69
4.3.5 Pozícia sledov	70
5. Porovnanie vytvoreného modelu s porovnávanou vzorkou.....	71
5.1 Lineárne členenie	71
5.2 Rytmické členenie segmentov	73
5.3 Rytmické členenie kól	75
6. Diskusia	77
Záver	79
Resumé.....	83
Zoznam použitej literatúry.....	84
Zoznam príloh.....	86

Zoznam tabuliek

Tabuľka č. 1 Model prozodickej realizácie	38
Tabuľka č. 2 Dvojslabičné segmenty	44
Tabuľka č. 3 Trojslabičné segmenty	45
Tabuľka č. 4 Štvorslabičné segmenty	47
Tabuľka č. 5 Päťslabičné segmenty	48
Tabuľka č. 6 Šesťslabičné segmenty	49
Tabuľka č. 7 Celkové zastúpenie rytmických sledov	49
Tabuľka č. 8 Kóla bez priameho susedstva arzií	52
Tabuľka č. 9 Kóla s priamym susedstvom dvoch arzií	53
Tabuľka č. 10 Kóla s atonickou slabikou vloženou medzi dvoma arziami	53
Tabuľka č. 11 Pozícia sledov v rámci kóla	54
Tabuľka č. 12 Dvojslabičné segmenty porovnáwanej vzorky	60
Tabuľka č. 13 Trojslabičné segmenty porovnáwanej vzorky	61
Tabuľka č. 14 Štvorslabičné segmenty porovnáwanej vzorky	63
Tabuľka č. 15 Päťslabičné segmenty porovnáwanej vzorky	64
Tabuľka č. 16 Šesťslabičné segmenty porovnáwanej vzorky	65
Tabuľka č. 17 Sedemslabičné segmenty porovnáwanej vzorky	65
Tabuľka č. 18 Celkové zastúpenie rytmických sledov porovnáwanej vzorky	66
Tabuľka č. 19 Kóla porovnáwanej vzorky bez priameho susedstva dvoch arzií	68
Tabuľka č. 20 Kóla porovnáwanej vzorky s priamym susedstvom dvoch arzií	69
Tabuľka č. 21 Kóla porovnáwanej vzorky s atonickou slabikou vloženou medzi dvoma arziami	70
Tabuľka č. 22 Pozícia sledov porovnáwanej vzorky v rámci kóla	70
Tabuľka č. 23 Porovnanie priemerných dĺžok viet, kól a segmentov	72
Tabuľka č. 24 Porovnanie prominencie slabík	73
Tabuľka č. 25 Porovnanie celkového zastúpenia rytmických sledov na úrovni segmentov	74
Tabuľka č. 26 Porovnanie klasifikácie kól	75
Tabuľka č. 27 Porovnanie preferovanej pozície sledov v rámci kóla	76
Tabuľka č. 28 Protokol analýzy vytvoreného modelu	81
Tabuľka č. 29 Protokol analýzy porovnáwanej vzorky	82

Zoznam grafov

Graf č. 1 Priemerná dĺžka vety	39
Graf č. 2 Priemerná dĺžka kóla z hľadiska počtu segmentov.....	40
Graf č. 3 Priemerná dĺžka kóla z hľadiska počtu slabík	40
Graf č. 4 Priemerná dĺžka segmentu	41
Graf č. 5 Prominencia slabík vytvoreného modelu.....	43
Graf č. 6 Klasifikácia kól	50
Graf č. 7 Dĺžka vety porovnáwanej vzorky	56
Graf č. 8 Priemerná dĺžka kóla porovnáwanej vzorky v segmentoch	57
Graf č. 9 Priemerná dĺžka kóla porovnáwanej vzorky v slabikách	57
Graf č. 10 Priemerná dĺžka segmentu porovnáwanej vzorky	58
Graf č. 11 Prominencia slabík porovnáwanej vzorky.....	59
Graf č. 12 Klasifikácia kól porovnáwanej vzorky	67
Graf č. 13 Kóla porovnáwanej vzorky tvorené 1 sledom	67

Zoznam skratiek a značiek

Skratky:

AS	ascendentný sled
DE	descendentný sled
AKR	akronymická štruktúra
p	predklonka (proklitikum)
e	príklonka (enklitikum)

Značky:

/	ascendentný sled
\	descendentný sled
◦	predklonka/príklonka
/◦	ascendentný sled s príklonkou
◦\	descendentný sled s predklonkou
V	trojslabičná akronymická štruktúra
+	priamy stret dvoch arzií

Edičná poznámka

Na zápis čínskych znakov bude využitý font SimSun, a prozodická transkripcia bude zapisovaná fontom Courier New.

Všetky čínske znaky, ktoré sa v práci objavia, budú opatrené prepisom do transkripcie pīnyīn a doplnené slovenským prekladom. Číselné hodnoty uvádzané v analytickej časti práce budú (s výnimkou uvádzania priemerných dĺžok kól a segmentov) zaokrúhľované na jedno desatinné miesto. Na prepis vlastných čínskych mien bude využitá česká transkripcia čínštiny.

Úvod

Tónovosť čínštiny je jedným z aspektov, vďaka ktorým je tento jazyk vnímaný ako pomerne náročný, zároveň však vyvoláva v študentoch súčasne zvedavosť aj záujem. Využívanie tónov na rozlišovanie významu v reči so sebou, najmä v oblasti prozodického systému jazyka, prináša veľkú mieru komplexnosti, na ktorej dešifrovanie je potrebné vynaložiť nemalé množstvo úsilia a námahy. Pri správnej interpretácii založenej na dostatočnom množstve kvalitných vstupných dát je ale prozodické črty charakteristické pre modernú čínštinu možné popísať pomerne podrobne, ba dokonca je možné tiež pokúsiť sa predpokladať tendencie jej ďalšieho vývoja.

V našom prostredí sa o zmapovanie prozódie modernej hovorovej čínštiny zaslúžil najmä emeritný profesor Univerzity Palackého prof. PhDr. Oldřich Švarný, CSc (1920–2011), ktorý je zároveň tvorcom prozodickej transkripcie využitej aj v analytickej časti tejto práce. Na výskum prof. Švarného už v súčasnosti naväzuje na Katedre ázijských štúdií Univerzity Palackého nezanedbateľný počet štúdií a diplomových prác, ktoré okrem prozodických vlastností sledujú taktiež aj aktuálny významný trend modernej hovorovej čínštiny – oslabovanie tónovosti, ktoré postupne vedie k zmenám aj v suprasegmentálnej rovine jazyka. Ucelený všeobecný prozodický model aj napriek tomu však zatiaľ stále k dispozícii nie je.

Táto diplomová práca si preto dáva za cieľ prispieť do problematiky vytvorením prozodického modelu reprezentujúceho súčasný jazykový štandard – pekinčinu, ktorý následne konfrontuje so staršou podobou pekinčiny za účelom zhodnotenia zmeny prozodických charakteristík jazyka v čase. Model bude vytvorený na základe prieniku 25 rôznych nahrávok totožného textu (nahrávaná bude poviedka *Opice loví mesiac* prebratá z učebnice prof. Švarného *Hovorová čínština v príkladech II*³) zozbieraných počas zahraničného študijného pobytu v Pekingu. Výsledný model bude simulovať vzorovú realizáciu textu, ktorá by nám mala súčasnú prozodickú podobu hovorovej čínštiny priblížiť objektívnejšie, než by tomu bolo pri analýze textu realizovaného iba jedným respondentom.

Diplomová práca bude zahájená teoretickou časťou, v ktorej budú definované všetky dôležité termíny a koncepty nevyhnutné pre správne pochopenie vyhodnocovania

³ Švarný 1998a: 135.

výsledkov bádania. Nasledovať budú čiastkové prozodické prepisy využité na tvorbu prozodického modelu pekinčiny doplnené o metodológiu ich vzniku a spracovania. Ďalej bude v práci uvedený výsledný prozodický model a nasledovať bude jeho analýza za účelom identifikovania príslušných prozodických vlastností.

Po vyhodnotení analýzy vytvoreného modelu bude prozodická analýza prevedená taktiež aj na nahrávke porovnávaného textu za pomoci prozodickej transkripcie prehovoru uvedenej v učebnici prof. Švarného *Učební slovník jazyka čínského I*⁴. Nahrávka bola nahratá informantkou p. prof. Švarného pani Tchang Yün-Ling Ruskovou a vznikla na prelome šesdesiatych a sedemdesiatych rokov⁵. V závere budú výsledky analýz oboch materiálov zovšeobecnené a porovnané, pričom predpokladané je oslabenie prozodických vlastností modelu oproti nahrávke staršej. Očakávaný je najmä úbytok plne tónových slabík, zvýšenie priemerného počtu slabík v segmentoch a zníženie priemerného počtu segmentov v kólach.

Hlavným prínosom práce bude vytvorenie modelu, ktorého analýzou získame cenné informácie o súčasnej podobe pekinčiny, a porovnanie tohto modelu so staršou nahrávkou totožného textu, ktorým bude možné pozorovať zmenu jazyka v čase, a prispieť tak do diskusie ohľadom formulovanej hypotézy o oslabovaní tónových vlastností čínštiny.

⁴ Švarný 1998c: grafy (31–39).

⁵Ibid, xxiii.

1. Teoretická časť

V teoretickej časti si vysvetlíme všetky základné termíny a koncepty nevyhnutné pre pochopenie problematiky, procesu analýzy a vyhodnocovania výsledkov tejto práce. Najskôr budú objasnené čiastkové koncepty ako lineárne členenie prehovoru, rozlišovanie štyroch tónov, iktovosť a sedem stupňov prominencie a popísaný bude postup zápisu prozodickej transkripcie. Následne budú popísané rôzne možnosti ucelených rytmických priebehov formujúcich sa ako na úrovni segmentov, tak na úrovni vetných kól.

1.1 Lineárne členenie

Prúd reči je na základe umiestnenia a dĺžky preryvov rozdelený do viacerých celkov, pričom najdlhším z nich je jedna veta, prípadne súvetie.

Vety a súvetia sa spravidla ďalej členia na kóla⁶, tj. ucelené významové úseky s ucelenou rytmickou štruktúrou, zakončené preryvom (pauzou trvajúcou zlomok až $\frac{3}{4}$ sekundy alebo viac) a charakterizované opytovacou, neukončujúcou alebo ukončujúcou intonáciou⁷. Hranice kól sa vo väčšine prípadov nachádzajú v súvetiach na predeloch viet, avšak často sa s nimi taktiež stretávame po preverbálnych vetných členoch, tj. podmete a určení a po väzbách prepozičných sloviess s predmetom; a taktiež je možné ich identifikovať aj medzi jednotlivými členmi výčtu.⁸ Kóla vo vnútri vety alebo súvetia sú oddelené čiarkou; ich dĺžka je celkom nezávislá od tempa reči a v priemere sa dĺžka jedného kóla pohybuje v rozmedzí približne 6–7 slabík⁹.

Kóla sú ďalej organizované do menších rytmických celkov – segmentov, pričom jeden kólon môže pozostávať z jedného alebo aj viacerých segmentov a segment môže obsahovať jednu alebo viacero arzií¹⁰. Slabiky viazané v rámci jedného segmentu sa v prozodickej transkripcii spájajú spojovníkom a predely medzi jednotlivými segmentami v kóle sú naznačené medzerou. Priemerná dĺžka segmentu je priamo závislá na tempe reči a variuje približne v rozsahu od 2,6 slabík pri pomalom tempe, až po 4 slabiky v rýchлом tempe.¹¹

⁶ Nominatív singuláru: kólon, nominatív plurálu: kóla.

⁷ Švarný 1998b: 23.

⁸ Švarný, Uher 2014: 10.

⁹ Ibid.

¹⁰ Vid' 1.3 Iktovosť.

¹¹ Uher, Slaměnková (eds.) 2019f: 142.

1.2 Prozodická charakteristika slabík v štyroch tónoch

Na základe umiestnenia melodického vrcholu behom realizácie slabiky rozlišujeme v čínštine štyri základné tóny: 1. tón (vysoko posadený rovný), 2. tón (stúpavý), 3. tón (klesavo-stúpavý) a 4. tón (klesavý)¹². Pri izolovaných slabikách je možné realizáciu melodických vrcholov slabík v jednotlivých tónoch popísať nasledovne:¹³

1. tón: pre 1. tón je charakteristické umiestnenie melodického vrcholu v strede slabiky, pričom slabika sa v celej dĺžke vyslovuje vo vyššej polohe;

2. tón: melodický vrchol je umiestnený v druhej polovici slabiky, pričom prvá polovica slabiky je v kontraste a menej výrazná;

3. tón: slabika nemá žiaden melodický vrchol, melódia prebieha v nízkej alebo nižšej konkávne utvárajúcej polohe;

4. tón: melodický vrchol je umiestnený v prvej polovici slabiky, pričom naprieč druhou polovicou postupne klesá.

Koncept melodického vrcholu nie je v žiadnom prípade možné zamieňať za „vrchol intenzity“ a je dôležité ho prísne rozlišovať od „iktu“¹⁴. Melodický vrchol je definovaný ako čiastkový znak komplexného javu zvaného tón a ako taký nie je ovládaný rečníkom a nie je ani priamym výsledkom žiadneho akustického javu.¹⁵

Kombináciou lineárneho členenia toku reči a striedaním slabík viac prominentných a slabík (alebo skupín slabík) menej prominentných v rámci rôzne dlhých úsekov vytváraných lineárnym členením (prípadne v rámci celých viet) následne vzniká rytmus.¹⁶

1.3 Iktovosť

Slabiky v čínštine sa na základe prítomnosti ikty rozdeľujú na iktové a neiktové¹⁷. Iktová slabika, tj. arzia, je definovaná ako tónická slabika, ktorá je prominentnejšia ako

¹² Uher, Slaměniková (eds.) 2019b: 61–62.

¹³ Ibid, 62.

¹⁴ Vid'1.3 Iktovosť.

¹⁵ Uher, Slaměniková (eds.) 2019a: 73.

¹⁶ Švarný 1998c: xliv.

¹⁷ Uher, Slaměniková 2015: 105.

bezprostredne priliehajúca slabika vo vnútri segmentu. Ostatné slabiky sú definované ako neiktové, tj. thézy (sg. j.č. théza).¹⁸

Arzie majú tendenciu byť vyslovované vyššie, s výnimkou tretieho tónu, ktorého prominencia je realizovaná na slabikách bezprostredne predchádzajúcich a nasledujúcich, a dlhšie (nie však hlasnejšie) ako théza.¹⁹

1.4 Sedem stupňov prominencie

Na základe prominencie výslovnosti slabík v toku reči bola p. prof. Švarným definovaná prozodická hierarchizácia slabík, ktorá slabiky rozdeľuje na plne tónické, oslabene tónické a atonické alebo atónové. Plne tónické a oslabene tónické slabiky sú ďalej podľa prítomnosti iktu delené na iktové a neiktové.²⁰ Každému stupňu je priradený špecifický spôsob označovania. Dohromady je rozlišovaných nasledujúcich sedem stupňov prominencie slabík:²¹

1. zvýraznene tónické (ZT) – zapisované zvýraznením príslušnej slabiky tučne, prípadne zvýraznenie použitím bieleho písma na čiernom pozadí²²
2. plne tónické iktové (PI) – zapisované pomocou príslušnej tónovej značky nad hlavným vokálom slabiky;
3. plne tónické neiktové (PN) – zapisované pomocou príslušnej tónovej značky nad hlavným vokálom slabiky;
4. oslabene tónické iktové (OI) – zapisované pomocou čísla príslušného tónu²³ na konci slabiky v hornom indexe;
5. oslabene tónické neiktové (ON) – zapisované pomocou čísla príslušného tónu na konci slabiky v dolnom indexe;
6. atonické (AT) – rozlíšené pomocou absencie akéhokoľvek označenia;
7. atónové (AT) – rozlíšené pomocou absencie akéhokoľvek označenia.

¹⁸ Uher, Slaměniková 2015: 105.

¹⁹ Ibid.

²⁰ Uher, Slaměniková (eds.) 2019d: 167.

²¹ Uher, Slaměniková (eds.) 2019e: 149.

²² Slaměniková 2016: 65.

²³ 1. tón zapisovaný číslom 1; 2. tón zapisovaný číslom 2; etc.

Pri rozlišovaní medzi plne tónickými slabikami iktovými a neiktovými sa vždy riadime nasledujúcim akronymickým pravidlom: v prípade, že v rámci jedného segmentu za sebou bezprostredne nasledujú dve plne tónické slabiky, je prvá slabika menej prominentná, zatiaľ čo druhá slabika je prominentnejšia, a teda aj nositeľom iktu.²⁴

Pravidlo ďalej definuje, že v prípade, ak za sebou bezprostredne nasledujú tri alebo štyri plne tónické slabiky, prvá a posledná slabika je prominentnejšia, a teda nositeľom iktu – tento rytmický vzorec nazývame akronýmia.²⁵

Pri vyznačovaní prominencie slabík v rámci segmentu dbáme na skutočnosť, že atonické slabiky sú vždy príklonky (enklitiká) a nemôžu stáť na začiatku segmentu; všetky slabiky na začiatku segmentu si teda zachovávajú aspoň zbytok tónu.²⁶ Pokiaľ sa preto oslabene tónické slabiky, ktoré nie sú nositeľom iktu, nachádzajú na začiatku segmentu, môžeme ich ponechať bez číselne-indexového označenia.²⁷

1.5 Zápis prozodickej transkripcie

Poznatky z lineárneho členenia textu, rozlišovanie tónov, iktovosti a prominencie slabík využívame pri zapisovaní prehovoru do prozodickej transkripcie vytvorenej p. prof. Švarným.

Po prevedení nahrávky do transkripcie pīnyīn (拼音, tj. latinkový zápis štandardnej čínštiny využívaný ako nástroj k zachytávaniu výslovnosti znakov a k šíreniu štandardnej výslovnosti²⁸) postupujeme podľa nasledovných krokov: ako prvé je potrebné identifikovať hranice kól a zaznačiť ich čiarkou (dĺžka tejto pauzy býva zvyčajne 200 milisekúnd a viac); ďalším krokom je identifikácia zvýraznene tónických slabík a ich vyznačenie tučným písmom²⁹; a potom nasleduje vymedzenie segmentov, tj. spojenie všetkých slabík v rámci jedného segmentu spojovníkom a identifikácia zbytku slabík na základe siedmych stupňov prominencie.³⁰

²⁴ Uher, Slaměníková (eds.) 2019e: 149.

²⁵ Ibid.

²⁶ Švarný, Uher 2014: 12.

²⁷ Ibid.

²⁸ Trísková 2012: 25.

²⁹ Prípadne zvýraznenie použitím bieleho písma na čiernom pozadí, ako je tomu v prozodickom prepise použitom v tejto práci.

³⁰ Uher, Slaměníková (eds.) 2019c: 118.

1.6 Rytmický priebeh

Na základe prozodickej transkripcie, ktorá obsahuje vyznačenie lineárneho členenia toku reči a vyznačenie relatívnych prominencií všetkých slabík, je možné určovať rytmickejštruktúru viet a súvetí.³¹

1.6.1 Rytmický priebeh segmentov

Segmenty rozlišujeme na základe počtu iktov na jednoiktové, dvojiktové a trojiktové. Segmenty jednoiktové môžu byť jednoslabičné, dvojslabičné a viacslabičné.³² Jednoiktové segmenty dvoj- a viacslabičné v závislosti na pozícií iktu rozdeľujeme na vzostupné (ascendentné) a zostupné (descendentné), pričom vzostupné segmenty môžu byť tvorené aj ascendentnými sledmi, ku ktorým sa pripojuje príklonka alebo aj sled atonických príklonných slabík, a zostupné segmenty môžu byť tvorené descendentnými sledmi, ktorým predchádza predklonka.³³

V ascendentnom segmente slabike, ktorá je nositeľom iktu (arzii), menej prominentná slabika alebo slabiky (thézy) predchádzajú; v prípade, že je théz viac, musí byť ich prominencia vzostupná, najviac však trojstupňová.³⁴

V descendentnom segmente za slabikou, ktorá je nositeľom iktu (arziou), neiktová slabika alebo viacero slabík (thézy) nasledujú; pokiaľ je théz viac, sú to spravidla slabiky atonické, a ich zostupná prominencia je menej častá, najviac však trojstupňová – tento typ sa vyskytuje najmä pri logickom alebo kontrastívnom zdôraznení.³⁵

Pre dvojiktové segmenty je najtypickejším akronymický priebeh, ktorý rozdeľujeme podľa počtu slabík na dva typy:³⁶

1. segmenty s iktom na nepárnej slabike – najčastejšie je spojenie dvojslabičného descendentného sledu s jednou nepárnou slabikou. Tento typ segmentu pripomína trojslabičné staré grécke krétické metrum.

2. segmenty vytvorené descendentným sledom, za ktorým nasleduje sled ascendentný – oba sledy bývajú spravidla dvoslabičné a pripomínajú štvorslabičné staré grécke choriambické metrum.

³¹ Švarný 1998b: xlví.

³² Švarný, Uher 2014: 13.

³³ Ibid.

³⁴ Ibid.

³⁵ Ibid.

³⁶ Uher, Slaměníková (eds.) 2019e: 155.

Dvojiktové segmenty, ktoré nie sú akronymické, sa najčastejšie vyskytujú vo forme: dvoch descendentných sledov nasledujúcich priamo za sebou alebo dvoch ascendentných sledov nasledujúcich priamo za sebou, pričom zostupné sledy môžu byť doplnené o predklonku, a vzostupné sledy môžu byť doplnené o príklonku.³⁷

Trojiktové segmenty vznikajú zväčša spojením dvojiktovej akronymickej štruktúry s opakujúcim sa dvojslabičným descendentným, prípadne ascendentným sledom.³⁸

1.6.2 Rytmický priebeh kól

Súvislým vyslovením všetkých zostupných a vzostupných sledov a nepárnych slabík, príkloniek, predkloniek a iktových slabík, tak ako sú zoradené v rámci kóla, vzniká ucelený rytmickejší celok.³⁹

V rámci kóla rozlišujeme nasledovné štyri typy usporiadania rytmickejších sledov: kólon tvorený jedným jednoiktovým sledom, kólon tvorený dvoma a viac sledmi bez priameho susedstva dvoch arzií, kólon tvorený dvoma a viac sledmi s výskytom priameho susedstva arzií a kólon tvorený dvoma a viac sledmi s atonickou slabikou vloženou medzi dvoma arziami, vďaka ktorej ku priamemu styku dvoch arzií nedochádza.⁴⁰

V rámci kól je rozlišovaná taktiež aj preferovaná pozícia zostupných a vzostupných segmentov v dvoch pozíciách: na začiatku alebo vo vnútri kóla a na konci kóla. V prípade, že kólon pozostáva iba z jedného segmentu, je jeho pozícia hodnotená ako pozícia na konci. Pre ascendentné segmenty je charakteristickejší výskyt na konci kóla, zatiaľ čo výskyt segmentov descendentných, ktorých je v absolútnom počte viac, je typickejší pre postavenie na začiatku alebo vo vnútri kóla.⁴¹

³⁷ Uher, Slaměniková (eds.) 2019e: 157.

³⁸ Ibid.

³⁹ Švarný, Uher 2014: 19.

⁴⁰ Ibid, 19–20.

⁴¹ Ibid, 14.

2. Korpus

Táto kapitola sa skladá z troch častí – v prvej časti bude podrobne popísaný proces získavania a spracovania zvukových nahrávok, v druhej časti bude uvedený text predložený informantom spolu s prekladom, a taktiež aj všetky prozodické transkripcie jednotlivých prehovorov, a v tretej časti sa nachádza ucelený prozodický model, z ktorého budeme ďalej vychádzať v priebehu celej analýzy.

2.1 Metodológia

Základom analyzovaných nahrávok sa stala čínska detská poviedka Opice loví mesiac (v originále 猴子捞月亮 *hóuzi lāo yuèliang*), ktorej text bol prebratý z učebnice prof. Švarného *Hovorová čínština v príkladech II*⁴².

Všetky nahrávky boli zozbierané v rámci terénneho výskumu, ktorý prebehol počas zahraničného študijného pobytu na univerzite v Pekingu (september 2020 – február 2021). Kritériá na výber vhodných respondentov boli pomerne striktné – v našom výskume sa zameriavame výlučne na mladú generáciu predstaviteľov pekinčiny. Oslovení boli preto mladí ľudia (18–30 r.) narodení a nepretržite žijúci výlučne v Pekingu, ktorých rodičia aj starí rodičia pochádzali taktiež z Pekingu, a ktorí dosiahli minimálne vysokoškolské vzdelanie prvého stupňa. Nepretržitý trvalý pobyt v Pekingu bol u respondentov žiadaný z dôvodu zachovania čo najčistejšej vlastnej výslovnosti – dlhodobý (napríklad študijný) pobyt či už v zahraničí, alebo vo vzdialenej čínskej provincii by mohol jazykový prejav jednotlivých respondentov do značnej miery ovplyvniť. Z rovnakého dôvodu bol na miesto narodenia a trvalého pobytu kladený dôraz aj u rodičov a starých rodičov, ktorí s respondentmi zdieľajú spoločnú domácnosť a od malička ich vychovávajú – do hlavného mesta migrujú za prácou každoročne masy ľudí zo všetkých čínskych provincií a diverzita dialektov, na ktoré je tu možné naraziť, je tým pádom naozaj vysoká. Touto podmienkou sme teda usilovali o elimináciu respondentov, ktorí síce Peking nikdy neopustili, avšak napriek tomu sú od narodenia priamo exponovaní vplyvu iných nárečí, a výsledky analýzy by tým mohli byť skreslené. Záverečné kritérium, vzdelanie, bolo dôležité z hľadiska perfektnej znalosti znakov a plynulého čítania. Všetky osobné údaje boli zbierané v dotazníkoch, ktoré je možné nájsť k nahliadnutiu v prílohe.

⁴² Švarný 1998a: 135.

Pri samotnom procese nahrávania bol text vyššie uvedenej poviedky vo forme znakov predložený vybraným čínskym respondentom spĺňajúcim všetky kritériá, ktorých úlohou bolo daný text tri krát po sebe prečítať. Za účelom dosiahnutia čo najväčšej autenticity prejavu neboli respondentom zadávané žiadne špecifické požiadavky na spôsob alebo rýchlosť realizácie textu a bolo teda výlučne na ich osobnom pociate, ako sa svojej úlohy zhostili. Prvé čítanie slúžilo z nášho pohľadu na oboznámenie respondenta s novým textom – obsahovalo zväčša veľa prerieknutí a zasekávania. Pri druhom a treťom čítaní boli respondenti uvoľnenejší a sebavedomejší, čo sa prirodzene odzrkadlilo aj na kvalite samotných nahrávok. Do analýzy bola vybraná vždy jedna nahrávka s najmenšou chybovosťou a s dĺžkou v rozsahu 0:50 – 1:15 minút (340 – 230 slabík/minúta).

V priebehu zahraničného pobytu bolo celkovo vyzbieraných 48 nahrávok zástupcov oboch pohlaví. V dôsledku nedostačujúcej kvality (priveľká chybovosť, príliš rýchle/pomalé čítanie) alebo pôvodu (napr. v dotazníku sa ukázalo, že starí rodičia, ktorí respondenta vychovávali pochádzali z Kantonu) muselo byť značné množstvo nahrávok vyradené. Po vyradení nevhodných nahrávok nebol počet zástupcov mužského pohlavia dostatočný na zaradenie do analýzy a naše bádanie sme preto obmedzili na vytvorenie prozodického modelu zastupujúceho iba mladú pekinskú generáciu ženského pohlavia. K tomuto účelu bolo v závere z celkového počtu vybraných celkom 25 nahrávok.

Vybrané nahrávky boli v ďalšom kroku pod dohľadom vedúceho práce prevedené do prozodickej transkripcie. Nahrávaný text poviedky bol najskôr prepísaný do transkripcie pīnyīn a rozdelený na jednotlivé kóla. Segmenty boli vytvorené spojením príslušných slabík spojovníkom. Po dokončení lineárneho členenia prišlo na rad členenie rytmické, v rámci ktorého bola každá slabika na základe posluchu priradená k jednému zo siedmych stupňov prominencie⁴³. Ako navrhoval vo svojich prácach aj p. prof. Švarný, ako prvé sa v jednotlivých kólach určovali vždy prozodické vrcholy – zvýraznene tónické slabiky⁴⁴, ktoré sme v našom korpuse zapisovali bielym písmom na čiernom pozadí. Po nich nasledovalo určenie slabík plne tónických iktových a plne tónických neiktových, pričom obe sú značené príslušnou tónovou značkou⁴⁵. Slabiky oslabene tónické iktové sú označené číslom príslušného tónu v hornom indexe, oslabene tónické neiktové číslom

⁴³ Vid' 1.4 Sedem stupňov prominencie.

⁴⁴ Vid' 1.5 Zápis prozodickej transkripcie.

⁴⁵ Na ich správnu interpretáciu využívame akronymické pravidlo vid' 1.4 Sedem stupňov prominencie.

príslušného tónu v dolnom indexe, atonické a atónové slabiky sú ponechané bez akéhokoľvek označenia. Pozor treba dávať pri každej prvej slabike segmentu – pokiaľ je ponechaná bez označenia, považujeme ju automaticky za slabiku oslabene tónickú neiktovú, nikdy nie za atonickú/atónovú.

Označenia referujúce k prominenciám slabík však nie sú jediné, ktoré v nižšie uvedených transkripciách nájdeme. Transkripcie jednotlivých nahrávok sú označené vždy poradovým číslom (1.–25.) a prezývkou, pod ktorou respondenti vyplňali dotazník s osobnými údajmi⁴⁶. Na základe tohto označenia je jednoduché dané prozodické transkripcie spárovať s nahrávkami a dotazníkmi uvedenými v prílohe tejto práce. Červené písmo označuje odlišnosti, ktoré boli identifikované medzi originálom textu a čítaním respondentov. V neposlednom rade je treba spomenúť, že veľká väčšina respondentov pri čítaní poviedky vynechala nadpis. V záujme zachovania homogenity porovnávaných transkripcií sme preto nadpis nezahrňovali do analýzy ani u tých respondentov, ktorí ho realizovali úspešne.

Hotové prozodické transkripcie budú v poslednom kroku využité na vytvorenie finálneho produktu našej analýzy – prozodického modelu prehovoru. Po prevedení a vyhodnotení analýzy budú výsledky v závere porovnané s výsledkami analýzy staršej nahrávky rovnakého textu p. prof. Švarného.

⁴⁶ Prvé vlastné mená nie sú pre účely našej analýzy dôležité, respondenti mali preto možnosť zachovať si anonymitu a použiť ľubovoľnú prezývku.

2.2 Tvorba prozodického modelu

V podkapitole Korpus bude uvedené originálne znenie predložené textu (určeného na čítanie) v znakoch, preklad daného textu do slovenčiny, kompletná podoba prozodických transkripcií jednotlivých nahrávok, a v závere bude uvedená výsledná podoba prozodického modelu, na ktorom bude neskôr postavená celá analýza.

2.2.1 Predložený text

Znenie v čínskom znakovom písme⁴⁷:

猴子捞月亮

有个小猴子，在井旁边玩。它往井里头一伸脖子，看见里头有个月亮，就大叫起来了：“糟啦，糟啦！月亮掉在井里头啦！”大猴子跑过来一看，也叫起来了：“糟啦，糟啦！月亮掉在井里头啦！”老猴子跑过来了，后边跟着一群猴子。它们一看，也都叫起来了：“月亮真的掉在井里头啦！快把它捞出来！”

井旁边有棵大树。老猴子倒挂在大树上，它拉着大猴子的脚。大猴子也倒挂着，它拉着另一个猴子的脚。这样，一个连一个地接起来了，一直接到井里头，小猴子挂在最下边。小猴子伸手去捞月亮，捞了好些时候捞不着。它们觉得很累，都说：“挂不住啦！挂不住啦！”老猴子一抬头，看见月亮还在天上，就说：“不用捞啦！月亮在天上呢。”

Znenie slovenskom preklade⁴⁸:

Opice lovia mesiac

Jedna malá opica sa raz hrala pri studni. Natiahla do studne krk, uvidela v nej mesiac a zakričala: „Pohroma, pohroma! Mesiac spadol do studne!“ Pribehla veľká opica a keď to zbadala, tiež zakričala: „Pohroma, pohroma! Mesiac spadol do studne!“ Na to pribehla stará opica, ktorú nasledovala celá tlupa opíc. Keď to uvideli, vykriekli všetky: "Mesiac naozaj spadol do studne! Rýchlo ho vylovme!" Vedľa studne bol veľký strom. Stará opica sa naň zavesila hlavou dolu, a chytila veľkú opicu za nohy. Veľká opica sa tiež zavesila hlavou dolu a chytila za nohy ďalšiu opicu. Takto sa opice jedna po druhej pospájali až dolu do studne, pričom malá opica visela úplne najnižšie. Malá opica natiahla ruku, aby mesiac vylovila. Lovila ho veľmi dlho, ale bez úspechu. Všetci sa už cítili

⁴⁷ Prebraté z Švarný 1998a: 135.

⁴⁸ Preklad bol zhotovený autorkou tejto práce.

unavení, a vraveli: „Už sa neudržíme! Už sa neudržíme!“ Stará opica zdvihla zrak, zbadala, že mesiac je stále na oblohe a povedala: „Už nie je treba loviť, mesiac je predsa na oblohe!“

2.2.2 Prozodické transkripcie jednotlivých nahrávok

1. 邬晓媛 Wū Xiǎoyuán

yǒu-ge xiǎo-hóuz, zai-jǐng-pang₂bian-wán_r. ta¹-wang jǐng-li₃tou yì-shen**bó**z, kànjian-lǐtou you³-ge-yuèliang, jiu-dàjiàoqi₃laile. zāo-la zāo-la. yuèliang diào-zai **jǐng**-li₃tou-la. dà-hou₂z pǎoguolai²-yì-kàn, yě-jiàoqi₃laile. zāo-la zāo-la. yuèliang diào-zai jǐng-li₃tou-la. lǎo-hóuz pǎoguolai²le, hòubian_r **gēn**zh yì-qun-hóuz. ta¹men-yì-kàn, yě-dōu jiàoqi₃laile. yuèliang **zhēn**d-diào-zai jǐng-li₃tou-la, kuài-ba-ta-**lāo**chulai². jǐng-pángbiān_r you³-ke-dà-shù. lǎo-hóuz **dào**gua-zai dà-shu₄shang. tā, lāzh dà-hou₂z-d-jiǎo. dà-hou₂z **yě**-dào₄gua₄zh, tā, lāzh **lìng**-yì-ge hóuz-d-jiǎo. zhè-yang_r, yì-ge lián-yì-ge-d jiēqi₃laile, yìzhí jiēdao jǐng-li₃tou. xiǎo-hóuz guà-zai **zuì**-xiàbian_r. xiǎo-hóuz shēn-shou₃ qu-lāo-yuèliang. lǎole **hǎo**-xiē₁-shíhou lāobuzhao². ta¹men-juéde **hěn**-lèi, dou-shuō, guàbuzhù-la guàbuzhù-la. lǎo-hóuz **yì**-tai₂-tóu, kànjian yuèliang **hái**-zai-tiānshang, jiu-shuō, **bú**-yong-lāo-la, yuèliang zai-**tiān**shang-ne.

2. 周沫 Zhōu Mèi

yǒu-ge-xiǎo-hóuz, zai-jǐng-pang₂bian-wán_r. ta¹-wang jǐng-li₃tou yì-shen₁-**bó**z, kànjian-**jǐng**-li₃tou you³-ge-yuèliang, jiu-dàjiào_{le}qilai_{le}. zāo-la zāo-la, yuèliang diào-zai-jǐng-li₃tou-la. dà-hou₂z pǎoguolai-yì-kàn, yě-jiàoqi₃laile. zāo-la zāo-la, yuèliang diào-zai **jǐng**-li₃tou-la. lǎo-hóuz pǎoguolai², hòubian_r gēnzh yì-qun₂-hóuz. ta¹men-yì-kàn, yě-dōu jiàoqi₃laile. yuèliang **zhēn**d-diào-zai jǐng-li₃tou-la, kuài ba-tā **lāo**chulai². jǐng-pángbiān_r you³-ke-dà-shù. lǎo-hóuz dào₄gua₄-zai dà-shùshang. ta-lāzh dà-

hou_{2z}-d-jiaǎo. dà-hou_{2z} yě-dàogua_{4zh}, ta-lāzh **lìng**-yì-zhì hóuz-d-jiaǎo. zhè-yang_r, yí-ge-yí-ge-d **lián**qi₃lai, yìzhí jiēdao jǐng-li₃tou. xiǎo-hóuz guà-zai zui-**xiā**bian_r. xiǎo-hóuz shēn-shou₃ qu-lāo-yuèliang. lāole **hǎo**-xiē₁-shíhou lāobuzháó. ta¹men-juéde hěn-lèi, dou-shuō, guàbuzhù-la guàbuzhà-la. lǎo-hóuz yì-tai₂-tóu, kànjian-yuèliang hái-zai-**tiān**shang, jiu-shuō, bú-yòng-lāo-la, yuèliang zai-**tiān**shang-ne.

3. 周小胖 Zhōu Xiǎopàng

yǒu-ge-xiǎo-hóuz zai-jǐng-pang₂bian-wán_r. ta¹-wang jǐng-li₃tou yì-shen₁-**bó**z, kànjian-lǐtou you³-ge-**yuè**liang, jiu-dàjiàoqi₃laile. zāo-la zāo-la. yuèliang diào-zai **jǐng**-li₃tou-la. dà-hou_{2z} pǎoguolai-yì₂-kàn, yě-jiaòqi₃laile. zāo-la zāo-la. yuèliang-diào-zai **jǐng**-li₃tou-la. lǎo-hóuz pǎoguolai²le, hòumian gēnzh yì-qun₂-houz. tāmen-yì-kàn, yě-dōu jiàoqi₃laile. yuèliang **zhēn**d-diào-zai jǐng-li₃tou-la, kuài-ba-ta¹ **lāo**chulai. jǐng-pángbiān you³-ke-dà-shù. lǎo-hóuz dàogua₄-zai dà-shùshang. ta-lāzh dà-hou_{2z}-d-jiaǎo. dà-hóuz yě-dàogua_{4zh}, ta-lāzh **lìng**-yì-ge hóuz-d-jiaǎo. zhè-yang, yí-ge lián-yì-ge-d jiēqi₃laile, yìzhí jiē¹dao jǐng-li₃tou. xiǎo-hóuz guà-zai **zui**-xia₄bian. xiǎo-hóuz shēn-shou₃ qu-lāo-**yuè**liang. lāole **hǎo**-xiē₁-shíhou lāobuzhao². ta¹men-juéde hěn-lèi, dōu-shuō, guàbuzhù-la guàbuzhù-la. lǎo-hóuz yì-tai₂-tóu, kànjian-yuèliang hái-zai-**tiān**shang, jiu-shuō, bú-yòng-lāo-la, yuèliang zai-**tiān**shang-ne.

4. 木木 Mù mù

yǒu-ge-xiǎo-hóuz, zai-jǐng-pang₂bian-wán_r. ta¹-wang jǐng-li₃tou yì-shen₁-**bó** z, kànjian-lǐtou you³-ge-**yuè**liang, jiu-dàjiàoqi₃laile. zāo-la zāo-la. yuèliang diào-zai **jǐng**-li₃tou-la. dà-hou_{2z} pǎoguolai₂-yì-kàn, yě-**jiào**leqi³lai_{le}. zāo-la zāo-la. yuèliang diào-zai **jǐng**-li₃tou-la. lǎo-hóuz pǎoguolai²le, hòumian gēnzh yì-qun₂-houz. tāmen-yì-kàn, yě-

dōu jiào^{le}qi³lai^{le}. yuèliang zhēndiào-zai jǐng-li³tou-la, kuài-ba-ta¹ lāochulai. jǐng-pángbiān you³-ke-dà-shù. lǎo-hóuz dàoguà-zai da-shùshang. ta-lāzh dà-hou²-d-jiǎo. dà-hou² yě-dàoguà⁴zh, ta-lāzh líng-yi-ge hóuz-d-jiǎo. zhèyang, yí-ge-lián-yi-ge-d jiē^{le}qi³lai^{le}, yìzhí, jiēdao jǐng-li³tou. xiǎo-hóuz guà-zai zuì-xià^{mian}. xiǎo-hóuz shēn-shǒu qu-lāo-yuèliang. lǎole hǎo-xie¹-shíhou lāobuzhao². ta¹men juéde hēn lèi^{le}, dou-shuō, guàbuzhu⁴-la guàbuzhù-la. lǎo-hóuz yì-tai²-tóu, kànjian-yuèliang hái-zai-tiānshang, jiu-shuō, bú-yòng-lāo-la, yuèliang zài-tiānshang-ne.

5. 大脸 Dàliǎn

yǒu-ge-xiǎo-hóuz, zai-jǐng-pang²bian-wán^r. tā-wang jǐng-li³tou yì-shen¹-bōz, kànjian-lǐ³tou yǒu-ge-yuèliang, jiu-dàjiàoqi³lai^{le}. zāo-la zāo-la. yuèliang diào-jìn jǐng-li³tou-la. dà-hou²z pǎoguolai²-yí-kàn, yě-jìàoqi³lai^{le}. zāo-la zāo-la. yuèliang diào-jìn jǐng-li³tou-la. lǎo-hóuz pǎoguolai²le, hòubian gēnzh yì-qun²-hóuz. tāmen-yì-kàn, yě-dōu jiàoqi³lai^{le}. yuèliang zhēndiào-jìn jǐng-li³tou-la, kuài-ba-ta¹ lāochulai. jǐng-pángbiān you³-ke-dà-shù. lǎo-hóuz dàoguà⁴-zai dà-shùshang. ta-lāzh dà-hóuz-d-jiǎo. dà-hou²z ye-dàoguà⁴zh, ta-lāzh líng-yi-ge hóuz-d-jiǎo. zhèyang, yí-ge-lián-yi-ge-d jiē^{le}qi³lai^{le}, yìzhí jiēdao jǐng-li³tou. xiǎo-hóuz guà-zai zuì-xià^{bian}. xiǎo-hóuz shēn-shou³ qu-lāo-yuèliang. lǎole hǎo-xie-shíhou lāobuzháo. ta¹men juéde hēn-lèi, dōu-shuō, guàbuzhù-la guàbuzhù-la. lǎo-hóuz yì-tai²-tóu, kànjian-yuèliang hái-zai-tiānshang, jiu-shuō, bú-yong-lāo-la, yuèliang hái-zai-tiānshang-ne.

6. 随蛇蛇 Suí Shéshé

yǒu-yi²-ge xiǎo-hóuz, zai-jǐng-pang²bian^r wán^r. ta¹-wang jǐng-li³tou yì-shen¹-bōz, kànjian-lǐ³tou you³-ge-yuèliang, jiu-dàjiàoqi³lai^{le}. zāo-la zāo-la. yuèliang diào zài jǐng-li³tou-la. dà-hou²z pǎoguolai²-yí-kàn, yě-jìàoqi³lai^{le}. zāo-

la zāo-la. yuèliang diào **zai** jǐng-li₃tou-la. lǎo-hóuz pǎoguolai²le, hòumianr gēnzh yì-qún-hou₂z. ta¹men-yì-kàn, yě-dōu jiàoqi₃laile. yuèliang zhēnd diào **zai** jǐng-li₃tou-la, kuài-ba-ta¹ lǎochulai. jǐng pángbiānr yǒu-ke-dà-shù. lǎo-hóuz dàogua₄-zai dà-shùshang. ta-lāzh dà-hou₂z-d-jiǎo. dà-hóuz yě-dàogua₄zh, ta-lāzh lìng-yì-ge hóuz-d-jiǎo. jiu-zhè-yang, yì-ge-lián-yì-ge-d jiēqi₃laile, yìzhí-jiēdao jǐng-li₃tou. xiǎo-hóuz guà-zai zuì-xiàbianr. xiǎo-hóuz shēn-shou₃ qu-lǎo-yuèliang. lǎole hǎo-xie₁-shíhou lao¹buzháo. ta¹men-juéde hěn-lèi, dou-shuō, guàbuzhù-la guàbuzhù-la. lǎo-hóuz yì-tai₂-tóur, kànjian-yuèliang hái-zai-tiānshang, jiu-shuō, bú-yong-lǎo-la, yuèliang-zai-tiānshang-ne.

7. 旺旺 Wàngwàng

yǒu-ge-xiǎo-hóuz, zai-jǐng-pángbian-wánr. tā-wang-jǐng-lǐtou yì-shen-bóz, kànjiàn-lǐtou you³-ge-yuèliang, jiu-dàjiàoqi₃laile. zāo-la zāo-la. yuèliang, diào-zai jǐng-li₃tou-la. dà-hou₂z pǎoguolai-yì-kàn, yě-jiàoqi₃laile. zāo-la zāo-la. yuèliang diào-zai jǐng-li₃tou-la. lǎo-hóuz pǎoguolai²le, hòubian gēnzh yì-qun₂-hóuz. ta¹men-yì-kàn, yě-dōu jiàoqi₃laile. yuèliang zhēnd-diào-zai jǐng-li₃tou-la, kuài-ba-ta¹ lǎochulai. jǐng-pángbian yǒu-ke₁-dà-shù. lǎo-hóuz dàogua₄-zai dà-shùshang. ta-lāzh dà-hou₂z-d-jiǎo. dà-hou₂z yě-dàogua₄zh, ta-lāzh lìng-yì-ge hóuz-d-jiǎo. zhè-yang, yì-ge-liánzh-yì-ge-d jiēqi₃laile, yìzhí jiēdao jǐng-li₃tou. xiǎo-hóuz guà-zai zuì-xiàmiàn. xiǎo-hóuz shēn-shǒu qu-lao-yuèliang. lǎole hǎo-xie₁-shíhou lǎobuzhao². ta¹men-juéde hěn-lèi, dōu-shuō, guàbuzhu⁴-la guàbuzhù-la. lǎo-hóuz yì-tai₂-tóu, kànjian-yuèliang hái-zai-tiānshang. jiu-shuō, bú-yòng lǎo-la, yuèliang hái-zai-tiānshang-ne.

8. 沫沫 Mèimèi

yǒu-ge-xiǎo-hóuz, zai-jǐng-pang₂bian-wán_r. tā-wang jǐng-li₃tou yì-shen₁-bó_z, kànjian-lǐ₃tou yǒu-ge-yuè₄liang, jiu-dàjiàoqi₃laile. zāo-la zāo-la. yuè₄liang, diào-zai₄ jǐng-li₃tou-la. dà-hou₂z pǎoguolai²-yí-kàn, yě-jìàoqi₃laile. zāo-la zāo-la. yuè₄liang diào-zai₄ jǐng-li₃tou-la. lǎo-hóuz pǎoguolai²le, hòumian_r gēnzh yì-qun₂-hóuz. tāmen-yi₁-kàn, yě-dōu-jìàoqi₃laile. yuè₄liang zhēndiào-zai₄ jǐng-li₃tou-la, kuài-ba-ta¹ lǎochulai. jǐng-pángbiān you³-ke-dà-shù. lǎo-hóuz dàogua₄-zai dà-shùshang. ta-lāzh dà-hou₂z-d-jiǎo. dà-hou₂z yě-dàogua₄zh, ta-lāzh lìng-yi-ge xiǎo-hóuz-d-jiǎo. zhè-yang, yí-ge lián-yi-ge-d jiēqi₃laile, yìzhí jiēdao jǐng-li₃tou. xiǎo-hóuz guà-zai zuì-xiabian_r. xiǎo-hóuz shēn-shou₃ qu-lǎo-yuè₄liang. lǎole hǎo-xie₁-shíhou lǎobuzhao². ta¹men-juéde hěn-lèi, dōu-shuō, guàbuzhù-la guàbuzhù-la. lǎo-hóuz yì-tai₂-tóu, kànjian-yuè₄liang hái-zai-tiāshang, jiu-shuō, bú-yòng-lǎo-la, yuè₄liang zài-tiāshang-ne.

9. 妍小今 Yán Xiǎojīn

yǒu-ge-xiǎo-hóuz, zai-jǐng-pang₂bian-wán_r. ta¹-wang jǐng-li₃tou yì-shen₁-bó_z, kànjiàn-lǐ₃tou you³-ge-yuè₄liang, jiu-dàjiàoqi₃laile. zāo-la zāo-la. yuè₄liang, diào-zai₄ jǐng-lǐ₃tou-la. dà-hou₂z pǎoguolai-yí-kàn, yě-jìàoqi₃laile. zāo-la zāo-la. yuè₄liang diào-zai jǐng-li₃tou-la. lǎo-hóuz pǎoguolai²le, hòumian gēnzh yì-qun₂-hóuz. ta¹men-yi-kàn, yě-dōu jìàoqi₃laile. yuè₄liang zhēndiào-zai jǐng-li₃tou-la, kuài-ba-ta¹ lǎochulai. jǐng-pángbiān you³-ke-dà-shù. lǎo-hóuz dàogua₄-zai dà-shùshang. ta-lāzh dà-hou₂z-d-jiǎo. dà-hou₂z yě-dàogua₄zh, ta-lāzh lìng-yi-ge hóuz-d-jiǎo. zhè-yang, yí-ge-lián-yi-ge-d jiēqi₃laile, yìzhí jiēdao jǐng-li₃tou. xiǎo-hóuz guà-zai zuì-xiàbian. xiǎo-hóuz shēn-shou₃ qu-lǎo-yuè₄liàng. lǎole hǎo-xie₁-shíhou lǎobuzhao². ta¹men-juéde hěn-lèi, dōu-shuō, guàbuzhù-la guàbuzhù-la. lǎo-hóuz

yì-tai₂-tóu, kànjian-yuèliang hái-zai-tiānshang, jiu-shuō,
bú-yòng-lāo-la, yuèliang zài-tiānshang-ne.

10. 王善怡 Wáng Shànyí

yǒu-ge-xiǎo-hóuz, zai-jǐng-pang₂bian_r-wán_r. ta¹-wang
jǐng-li₃tou yì-shen₁-bōz, kànjian-lǐtou you³-ge-yuèliang,
jiu-dàjiàoqi₃laile. zāo-la zāo-la. yuèliang diào-zai jǐng-
lǐtou-la. dà-hou₂z pǎoguolai₂-yí-kàn, yě-jiàoqi₃laile. zāo-
la zāo-la. yuèliang diào-zai jǐng-li₃tou-la. lǎo-hóuz
pǎoguolai²le, hòubian gēnzh yì-qun₂-hóuz. ta¹men-yi-kàn, yě-
dōu jiàoqi₃laile. yuèliang zhēndiào-zai jǐng-li₃tou-la,
kuài-ba-ta¹ lǎochulai. jǐng-pángbiān_r you³-ke-dà-shù. lǎo-
hóuz dàogua₄-zai dà-shùshang. ta-lāzh dà-hou₂z-d-jiǎo. dà-
hóuz yě-dàogua₄zh, ta-lāzh lìng-yi-ge hóuz-d-jiǎo. zhè-
yang, yí-ge-lián-yi-ge-d jiēqi₃laile, yìzhí jiēdao jǐng-
li₃tou. xiǎo-hóuz guà-zai zui-xià_{mian}. xiǎo-hóuz shēn-shou₃
qu-lāo-yuèliang. lāole hǎo-xie₁-shíhou lāobuzhao². ta¹men-
juéde hěn-lèi, dou-shuō, guàbuzhù-la guàbuzhù-la. lǎo-hóuz
yì-tai₂-tóu, kànjian-yuèliang hái-zai-tiānshang, jiu-shuō,
bú-yòng-lāo-la, yuèliang-zài-tiānshang-ne.

11. 开罗 Kāiluò

yǒu-ge-xiǎo-hóuz, zai-jǐng-pang₂bian_r-wán_r. ta¹-wang jǐng-
li₃tou yì-shen₁-bōz, kànjian-lǐtou you³-ge-yuèliang, jiu-
dàjiàoqi₃laile. zāo-la zāo-la. yuèliang diào-zai jǐng-
li₃tou-la. dà-hóuz pǎoguolai²-yí-kàn, yě-jiàoqi₃laile. zāo-
la zāo-la. yuèliang diào-zai jǐng-li₃tou-la. lǎo-hóuz
pǎoguolai²le, hòubian gēnzh yì-qun₂-hóuz. ta¹men-yi-kàn, yě-
dōu jiàoqi₃laile. yuèliang zhēndiào-zai jǐng-li₃tou-la,
kuài-ba-ta¹ lǎochulai. jǐng-pángbiān you₃-ke-dà-shù. lǎo-
hóuz dàogua₄-zai dà-shùshang. ta-lāzh dà-hou₂z-d-jiǎo. dà-
hou₂z yě-dao₄guazh, ta-lāzh lìng-yi-ge hóuz-d-jiǎo. zhè-
yang, yí-ge-lián-yi-ge-d jiēqi₃laile, yìzhí jiēdao jǐng-
li₃tou. xiǎo-hóuz guà-zai zui-xià_{bian}. xiǎo-hóuz shēn-shou₃

qu⁴-lao-yuèliang. lāole hǎo-xie₁-shíhou lāobuzhao². ta¹men-juéde hěn-lèi, dou-shuō, guàbuzhù-la guàbuzhù-la. lǎo-hóuz yì-tai₂-tóu, kànjian-yuèliang hái-zai-tiānshang, jiu-shuō, bú-yòng-lāo-la, yuèliang zai-tiānshang-ne.

12. 卢可馨 Lú Kěxīn

yǒu-ge-xiǎo-hóuz, zai-jǐng-pangbian-wánr. ta¹-wang jǐng-li₃tou yì⁴-chen-bóz, kànjian-lǐtou you³-ge-yuèliang, jiu-dàjiào^{le}qi³lai^{le}. zāo-la zāo-la. yuèliang diào-dao jǐng-lǐtou-la. dà-hou_{2z} pǎoguolai²-yì-kàn, yě-jiào^{le}qi³lai^{le}. zāo-la zāo-la. yuèliang diào-dao jǐng-lǐtou-la. lǎo-hou_{2z} pǎoguolai²le, hòumianr gēnzh yì-qun₂-hóuz. ta¹men-yì-kàn, yě-dōu jiào^{le}qi³lai^{le}. yuèliang zhēnd diào-dao jǐng-li₃tou-la, kuài-ba-ta¹ lǎochulai. jǐng-pángbiānr you³-ke-dà-shù. lǎo-hóuz dào⁴gua₄-zai dà-shùshang. ta-lāzh dà-hou_{2z}-d-jiǎo. dà-hou_{2z} yě-dao₄guazh, ta-lāzh lìng-yì-ge hóuz-d-jiǎo. zhèyang, yì²-ge-lián-yì-ge-d jiē^{le}qi³lai^{le}, yìzhí jiēdao jǐng-li₃tou. xiǎo-hóuz guà-zai zui-xiàbianr. xiǎo-hóuz shēn-shou₃ qu-lāo-yuèliang. lāole hǎo-xie₁-shíhou lāobuzháo. ta¹men-juéde hěn-lèi, dōu-shuō, guàbuzhu⁴-la guàbuzhù-la. lǎo-hóuz yì⁴-tai-tóur, kànjian-yuèliang hái-zai-tiānshang, jiu-shuō, béng-lāo-la, yuèliang zai-tiānshang-ne.

13. 亦心 Yìxīn

yǒu-ge-xiǎo-hóuz, zai-jǐng-pang₂bianr-wánr. ta¹-wang jǐng-li₃tou yì-shen₁-bóz, kànjian-lǐtou you³-ge-yuèliang, jiu-dàjiào^{qi₃}lai^{le}. zāo-la, zāo-la. yuèliang diào-zai jǐng-li₃tou-la. dà-hou_{2z} pǎoguolai-yì-kàn, yě-jiào^{qi₃}lai^{le}. zāo-la, zāo-la. yuèliang diào-zai jǐng-li₃tou-la. lǎo-hóuz pǎoguolai²le, hòubiānr gēnzh yì-qún-hou_{2z}. ta¹men-yì-kàn, yě-dōu jiào^{qi₃}lai^{le}. yuèliang zhēnd diào-zai jǐng-li₃tou-la, kuài-ba-ta¹ lǎochulai. jǐng-pángbiānr you³-ke-dà-shù. lǎo-hóuz dào⁴gua₄-zai dà-shùshang. ta-lāzh dà-hou_{2z}-d-jiǎo. dà-hou_{2z} yě -dào⁴gua₄zh, ta-lāzh lìng-yì-ge hóuz-d-jiǎo.

zhè-yang, yí-ge-lián-yi-ge-d jiēqi₃laile, yìzhí jiēdao jǐng-li₃tou. xiǎo-hóuz guà-zai zui-xià**bian**r. xiǎo-hóuz shēn-shou₃ qu-lāo-yuèliang. lāole hǎo-xie₁-shíhou lāobuzháo. ta¹men-juéde hěn-lèi, dōu-shuō, guàbuzhù-la guàbuzhù-la. lǎo-hóuz yì-tai₂-tóu, kànjian-yuèliang hái-zai-tiān**shang**, jiu-shuō, bú-yòng lāo-la, yuèliang zai-tiān**shang**-ne.

14. 解玉砂 Xiè Yùshā

you³-ge-xiǎo-hóuz, zai-jǐng-pang**bian**-wánr. ta¹-wang jǐng-li₃tou yì-shen₁-bó**z**, kànjian-lǐtou you³-ge-yuèliang, jiu-dàjiàoqi₃laile. zāo-la zāo-la. yuèliang diào-zai jǐng-li₃tou-la. dà-hou₂z pǎoguolai²-yi-kàn, yě-jìàoqi₃laile. zāo-la zāo-la. yuèliang diào-zài jǐng-litou-la. lǎo-hóuz pǎoguolai²le, hòubian gēnzh yì-qun₂-hóuz. ta¹men-yi-kàn, yě-dōu jiàoqi₃laile. yuèliang zhēn**d** diào-zai jǐng-li₃tou-la, kuài ba-ta¹ lǎo**chulai**. jǐng-pángbiān**r** you³-ke-dà-shù. lǎo-hóuz dàogua₄-zai dà-shùshang. ta-lāzh dà-hou₂z-d-jiǎo. dà-hou₂z yě-dàogua₄zh, ta-lāzh lìng-yi-ge hóuz-d-jiǎo. zhè-yang, yí-ge-lián-yi-ge-d jiēqi₃laile, yìzhí jiēdao jǐng-li₃tou. xiǎo-hóuz guà-zai zui-xià**bian**. xiǎo hóuz shēn-shou₃ qu-lāo-yuèliang. lāole hǎo-xie₁-shíhou lāobuzhao². ta¹men-juéde hěn-lèi, dou-shuō, guàbuzhù-la guàbuzhù-la. lǎo-hóuz yì-tai₂-tóu, kànjian-yuèliang hái-zai-tiān**shang**, jiu-shuō, bú-yong-lāo-la, yuèliang zai-tiān**shang**-ne.

15. 杨阳 Yáng Yáng

you³-ge-xiǎo-hóuz, zai-jǐng-pang**bian**-wánr. ta¹-wang jǐng-li₃tou yì-shen₁-bó**z**, kànjian-lǐtou you³-ge-yuèliang, jiu-dàjiàoqi₃laile. zāo-la zāo-la. yuèliang diào-zai jǐng-li₃tou-la. dà-hou₂z pǎoguolai²-yi-kàn, ye-jìàoqi₃laile. zāo-la, zāo-la. yuèliang diào-zai jǐng-li₃tou-la. lǎo-hóuz pǎoguolai²le, hòubiān gēnzh yì-qun₂-hóuz. ta¹men-yi-kàn, yě-dōu jiàoqi₃laile. yuèliang zhēn**d**-diào-zai jǐng-li₃tou-la,

kuài-ba-ta-lāochulai². jǐng-pang₂biānr you³-ke-dà-shù. lǎo-hóuz dàogua₄-zai dà-shùshang. ta-lāzh dà-hou₂z-d-jiǎo. dà-hou₂z yě-dàogua₄zh, ta-lāzh lìng-yi-ge hóuz-d-jiǎo. zhè-yang, yí-ge-lián-yi-ge-d jiēqi₃laile, yìzhí jiēdao jǐng-li₃tou. xiǎo-hóuz guà-zai zuì-xiàbianr. xiǎo-hóuz shēn-shou₃ qu-lāo-yuèliang. lǎole hǎo-xie₁-shíhou lǎobuzháo. ta¹men-juéde hěn-lèi, dou-shuō, guàbuzhù-la guàbuzhù-la. lǎo-hóuz yí-tai₂-tóu, kànjian-yuèliang hái-zai-tiānshang, jiu-shuō, bú-yòng-lāo-la, yuèliang hái-zai-tiānshang-ne.

16. 擎小胖 Qíng Xiǎopàng

you³-ge-xiǎo-hóuz, zai-jǐng-pang₂bian-wánr. ta¹-wang jǐng-li₃tou yì-shen₁-bó_z, kànjian-lǐtōu you³-ge-yuèliang, jiu-dàjiàoqi₃laile. zāo-la zāo-la. yuèliang diào-zai jǐng-li₃tou-la. dà-hóuz pǎoguo₁lai-yi²-kàn, yě-jiàoqi₃laile. zāo-la zāo-la. yuèliang diào-zài jǐng-li₃tou-la. lǎo-hóuz pǎoguo₁lai²le, hòubian gēnzh yì-qún-hou₂z. tāmen-yí-kàn, yě-dōu jiàoqi₃laile. yuèliang zhēndiào-zai jǐng-li₃tou-la, kuài-ba-ta¹ lāochulai². jǐng-pángbiān you³-ke-dà-shù. lǎo-hóuz dàogua₄-zai dà-shùshang. ta-lāzh dà-hou₂z-d-jiǎo. dà-hou₂z yě-dàogua₄zh, ta-lāzh lìng-yi-ge hóuz-d-jiǎo. zhè-yang, yí-ge lián-yi-ge-d jiēqi₃laile, yìzhí jiēdao jǐng-li₃tou. xiǎo-hóuz guà-zai zuì-xiàbian. xiǎo-hóuz shēn-shou₃ qu-lāo-yuèliang. lǎole hǎo-xie₁-shíhou lǎobuzhao². ta¹men-juéde hěn-lèi, dou-shuō, guàbuzhu⁴-la guàbuzhù-la. lǎo-hóuz yí-tai₂-tóu, kànjian-yuèliang hái-zai-tiānshang, jiu-shuō, bú-yong-lāo-la, yuèliang zai-tiānshang-ne.

17. 婷婷 Tíngtíng

yǒu-ge-xiǎo-hóuz, zai-jǐng-pang₂bian-wánr. tā-wang jǐng-li₃tou yì-shen₁-bó_z, kànjian-lǐtōu you³-ge-yuèliang, jiu-dàjiàoqi₃laile. zāo-la zāo-la. yuèliang diào-zai jǐng-li₃tou-la. dà-hou₂z pǎoguo₁lai²-yi-kàn, yě-jiàoqi₃laile. zāo-la, zāo-la. yuèliang diào-zai jǐng-li₃tou-la. lǎo-hóuz

pǎoguolai²le, hòumian gēnzh yì-qun₂-hóuz. tāmen-yí-kàn, yě-**dōu** jiàoqi₃laile. yuèliang **zhēnd** diào-zai jǐng-li₃tou-la, kuài-ba-tā **lāo**chulai². jǐng-pángbiān you³-ke-dà-shù. lǎo-hóuz dào₄gua₄-zai dà-shùshang. ta-lāzh dà-houz-d-jiǎo. dà-hou₂z yě-dào₄gua₄zh, ta-lāzh **lìng**-yì-ge hóuz-d-jiǎo. zhè-yang, yí-ge lián-yì-ge-d **lián**jiēqi³laile, yìzhí jiēdao jǐng-li₃tou. xiǎo-hóuz guà-zai **zuì**-xiàbian. xiǎo-hóuz shēn-shou₃ qu-lǎo-yuèliang. lǎole **hǎo**-xiē₁-shíhou lǎobuzhao². ta¹men-juéde hěn-lèi, dou-shuō, guàbuzhù-la guàbuzhù-la. lǎo-hóuz **yì**-tai₂-tóu, kànjian yuèliang **hái**-zai-tiānshang, jiu-shuō, bú-yong-lǎo-la, yuèliang zai-**tiān**shang-ne.

18. 东磊 Dōng Lěi

you³-ge-xiǎo-hóuz, zai-jǐng-pang₂biān-wán^r. tā-wang jǐng-li₃tou yì-shen₁-**bó**z, kànjian lǐtou-you³-ge-yuèliang, jiu-dàjiàoqi₃laile. zāo-la, zāo-la. yuèliang diào-zai **jǐng**-li₃tou-la. dà-hóuz pǎoguolai²-yì-kàn, yě-jiàoqi₃laile. zāo-la zāo-la. yuèliang diào-zài **jǐng**-li₃tou-la. lǎo-hóuz pǎoguolai²le, hòubian gēnzh yì-qun₂-hóuz. tā¹men-yì-kàn, yě-**dōu** jiàoqi₃laile. yuèliang **zhēnd** diào-zai jǐng-li₃tou-la, kuài-ba-ta¹ **lāo**chulai. jǐng-pángbiān you³-ke-dà-shù. lǎo-hóuz dào₄gua₄-zai dà-shùshang. ta-**guà**zh dà-hou₂z-d-jiǎo. dà-hou₂z yě-dào₄gua₄zh, ta-**guà**zh **lìng**-yì-ge hóuz-d-jiǎo. zhè-yang, yí-ge lián-yì-ge-d jiēqi₃laile, yìzhí jiēdao jǐng-li₃tou. xiǎo-hóuz guà-zai zuì-xiàbian. xiǎo-hóuz shēn-shou₃ qu-lǎo-yuèliang. lǎole **hǎo**-xiē₁-shíhou lǎobuzhao². tāmen juéde-hěn-lèi, dou-shuō, guàbuzhù-la guàbuzhù-la. lǎo-hóuz yì-tai₂-tóu, kànjian-**yuè**liang hái-zai-**tiān**shang, jiu-shuō, bú-yòng-lǎo-la, yuèliang zai-**tiān**shang-ne.

19. 大雪 Dà Xuě

yǒu-ge xiǎo-hóuz, zai-jǐng-pang₂bian-wán. ta¹-wang-**jǐng**-lǐtou yì-shen-bó^z, kànjian **shuǐ**-li₃tou you-ge-yuèliang, jiu-**dà**sheng-jiàoqi₃laile. zāo-la, zāo-la. yuèliang-diào-**jin**

jǐng-li3tou-la. dà-hou2z pǎoguolai2-yi-kàn, yě-jiàoqi3laile. zāo-la zāo-la. yuèliang diào-jin, jǐng-li3tou-la. lǎo-hóuz pǎoguolai2le, hòumian gēnzh yì-qun2-hóuz. ta1men-yi-kàn, yě-dou-jiàoqi3laile. yuèliang zhēnd diào-zai jǐng-li3tou-la, kuài-ba-ta1 lǎochulai. jǐng-pángbiān you3-ke-dà-shù. lǎo-hóuz dàoguà-zai dàshùshang. ta-lāzh dà-hou2z-d-jiǎo. dà-hou2z yě-dàogua4zh, ta-lāzh, lìng-yi-ge hóuz-d-jiǎo. zhè-yang, yí-ge lián-yi-ge-d jiēqi3laile, yìzhí jiēdao jǐng-li3tou. xiǎo-hóuz guà-zai zuì-xiàbian. xiǎo-hóuz shēn-shou3 qu-lǎo-yuèliang. lǎole hǎo-xie1-shíhou lǎobuzhao2. tāmen juéde-hěn-lèi, dōu-shuō, guàbuzhù-la guàbuzhù-la. lǎo-hóuz yì-tai2-tóu, kànjian yuèliang hái-zai-tiānshang, jiu-shuō, bú-yòng-lǎo-la, yuèliang zài-tiānshang-ne.

20. 毛豆 Mádòu

you3-ge-xiǎo-hóuz, zai-jǐng-pang2bian-wánr. tā-wang jǐng-li3tou yì-shen1-bó, kànjian-lǐtou you3-ge-yuèliang, jiu-dàjiàoqi3laile. zāo-la zāo-la. yuèliang diào-zai jǐng-li3tou-la. dà-hou2z pǎoguolai-yi-kàn, yě-jiàoqi3laile. zāo-la zāo-la. yuèliang diào-zai jǐng-li3tou-la. lǎo-hóuz pǎoguolai2le, hòubian gēnzh yì-qun2-hóuz. ta1men-yi-kàn, yě-dōu jiàoqilaile. yuèliang zhēnd diào-zai jǐng-li3tou-la, kuài-ba-ta1 lǎochulai. jǐng-pángbiān you3-ke-dà-shù. lǎo-hóuz dàoguà-zai dàshùshang. ta-lāzh dà-hou2z-d-jiǎo. dà-hou2z yě-dàogua4zh, ta-lāzh lìng-yi-ge hóuz-d-jiǎo. zhè-yang, yí-ge-lián-yi-ge-d jiēqi3laile, yìzhí jiēdao jǐng-li3tou. xiǎo-hóuz guà-zai zuì-xiàbianr. xiǎo-hóuz shēn-shou3 qu-lao-yuèliang. lǎole hǎo-xie1-shíhou lǎobuzhao2. tāmen-juéde hěn-lèi, dou-shuō, guàbuzhù-la guàbuzhù-la. lǎo-hóuz yì-tai2-tóu, kànjian yuèliang hái-zai-tiānshang, jiu-shuō, bú-yòng-lǎo-la, yuèliang zai-tiānshang-ne.

21. 刘宇星 Liú Yǔxīng

yǒu-ge xiǎo-hóuz, zai-jǐng-pang₂bian-wán_r. tā-wang jǐng-li₃tou yì-shen₁-bó_z, kànjian-lǐtou you³-ge-yuèliang, jiu-dàjiàoqi₃laile. zāo-la, zāo-la. yuèliang diào-zai jǐng-li₃tou-la. dà-hou₂z pǎoguolai-yí-kàn, yě-jiaoqi₃laile. zāo-la, zāo-la. yuèliang diào-zai jǐng-li₃tou-la. lǎo-hóuz pǎoguolai²le, hòubian_r gēnzh yì-qun₂-hóuz. tāmen-yí-kàn, yě-dōu jiàoqi₃laile. yuèliang zhēndiào-zai jǐng-li₃tou-la, kuài-ba-ta¹ lǎochulai. jǐng-pángbiān_r you³-ke-dà-shù. lǎo-hóuz dàogua-zai dà-shùshang. ta-lāzh dà-hóuz-d-jiǎo. dà-hou₂z yě-dàogua₄zh, ta-lāzh lìng-yì-ge hóuz-d-jiǎo. zhèyang, yí-ge-lián-yì-ge-d jiēqi₃laile, yìzhí jiēdao, jiēdao jǐng-li₃tou. xiǎo-hóuz guà-zai zuì-xiàbian_r. xiǎo-hóuz shēn-shǒu qu-lao-yuèliang. lǎole hǎo-xie₁-shíhou lǎobuzháo. tāmen-juéde hēn-lèi, dōu-shuō, guàbuzhù-la guàbuzhù-la. lǎo-hóuz yì-tai₂-tóu, kànjian-yuèliang hái-zai-tiānshang, jiu-shuō, bú-yòng-lǎo-la, yuèliang zai-tiānshang-ne.

22. 酒窝 Jiǔwō

you³-ge-xiǎo-hóuz, zai-jǐng-pang₂bian-wán_r. tā-wang jǐng-li₃tou yì-shen-bó_z, kànjian-lǐtou you³-ge-yuèliang, jiu-dàjiàoqilai_{le}. zāo-la zāo-la. yuèliang diào-zai jǐng-li₃tou-la. dà-hóuz pǎoguolai-yí-kàn, yě-jiaoqi₃laile. zāo-la zāo-la. yuèliang diào-zai jǐng-li₃tou-la. lǎo-hóuz pǎoguolai²le, hòubian gēnzh yì-qun₂-hóuz. tāmen-yí-kàn, yě-dōu jiàoqi₃laile. yuèliang zhēndiào-zai jǐng-li₃tou-la, kuài-ba-ta¹ lǎochulai. jǐng-pángbiān you³-ke-dà-shù. lǎo-hóuz dàogua₄-zai dà-shùshang. ta-lāzh dà-hou₂z-d-jiǎo. dà-hou₂z yě-dàogua₄zh, ta-lāzh lìng-yì-ge hóuz-d-jiǎo. zhèyang, yí-ge-lián-yì-ge-d jiēqilai_{le}, yìzhí jiēdao jǐng-li₃tou, xiǎo-hóuz guà-zai zuì-xiàbian. xiǎo-hóuz shēn-shou₃ qu-lǎo-yuèliang, lǎole hǎo-xie₁-shíhou lǎobuzhao². tāmen-juéde hēn-lèi, dōu-shuō, guàbuzhu⁴-la guàbuzhù-la. lǎo-hóuz

yì-tai₂-tóu, kànjian-yuèliang hái-zai-tiānshang, jiu-shuō,
bú-yòng-lāo-la, yuèliang zai-tiānshang-ne.

23. 七七 Qīqī

yǒu-ge xiǎo-hóuz, zai-jǐng-pangbian-wánr. tā-wang jǐng-
li₃tou yì-shen₁-bó_z, kànjian-lǐtou you³-ge-yuèliang, jiu-
dàjiàoqi₃laile. zāo-la, zāo-la. yuèliang diào-zai jǐng-
li₃tou-la. dà-hou_{2z} pǎoguolai-yí-kàn, yě-jiàoqi₃laile. zāo-
la, zāo-la. yuèliang diào-zai jǐng-li₃tou-la. lǎo-hóuz
pǎoguolai²le, hòumian gēnzh yì-qun₂-hóuz. tāmen-yi₂-kàn, yě-
dōu jiàoqi₃laile. yuèliang, zhēndiào-jin jǐng-li₃tou-la,
kuài-ba-ta¹ lǎoqilai. jǐng-pángbiān you³-ke-dà-shù. lǎo-
hóuz dào_gua-zai dà-shùshang. ta-lāzh dà-hou_{2z}-d-jǐǎo. dà-
hóuz yě-dàoguàzh, ta-lāzh lìng-yi-ge hóuz-d-jǐǎo. zhè-yang,
yí-ge-lián-yi-ge-d jiēqilaile, yìzhí jiēdao jǐng-li₃tou.
xiǎo-hóuz guà-zai zuì-xia₄bian. xiǎo-hóuz shēn-shou₃ qu-
lāo-yuèliang. lāole hǎo-xie₁-shíhou lāobuzhao². tāmen-juéde
hěn-lèi, dōu-shuō, guàbuzhù-la, guàbuzhù-la. lǎo-hóuz yì-
tai₂-tóu, kànjian yuèliang hái-zai-tiānshang, jiu-shuō, bú-
yong-lāo-la, yuèliang zai-tiānshang-ne.

24. 汉堡 Hànbǎo

yǒu-ge-xiǎo-hóuz, zai-jǐng-pang₂bianr-wánr. ta¹-wang
jǐng-li₃tou yì-shen₁-bó_z, kànjian-lǐtou you³-ge-yuèliang,
jiu-dàjiàoqilaile. zāo-la zāo-la. yuèliang diào-zai jǐng-
li₃tou-la. dà-hóuz pǎoguolai-yí-kàn, yě-jiàoqi₃laile. zāo-
la zāo-la. yuèliang diào-zai jǐng-li₃tou-la. lǎo-hóuz
pǎoguolai²le, hòubian gēnzh-yì-qun-hóuz. tāmen-yí-kàn, yě-
dōu jiàoqi₃laile. yuèliang zhēndiào-zai jǐng-li₃tou-la,
kuài-ba-ta¹ lǎochulai. jǐng-pángbiānr you³-ke-da-shù. lǎo-
hóuz dào_guà-zai dà-shùshang. ta-lāzh dà-hou_{2z}-d-jǐǎo. dà-
hou_{2z} yě-dàoguà₄zh, ta-lāzh lìng-yi-ge hóuz-d-jǐǎo. zhè-
yang, yí-ge-lián-yi-ge-d jiēqilaile, yìzhí jiēdao jǐng-
li₃tou. xiǎo-hóuz guà-zai zuì-xià₄bianr. xiǎo-hóuz shēn-shǒu

qu-lāo-yuèliang. lāole hǎo-xie₁-shíhou dou-lāobuzhao².
ta¹men-juéde hěn-lèi, dōu-shuō, guàbuzhù-la guàbuzhù-la.
lǎo-hóuz yì-tai₂-tóu, kànjian-yuèliang hái-zai-tiānshang,
jiu-shuō, bú-yòng-lāo-la, yuèliang zai-tiānshang-ne.

25. 赵勗 Zhào Mài

yǒu-ge-xiǎo-hóuz, zai-jǐng-pang₂bian-wán^r. tā-wang jǐng-
li₃tou yì-shen-bó_z, kànjian-lǐtōu you³-ge-yuèliang, jiu-
dàjiàoqilaile. zāo-la zāo-la. yuèliang diào-zai jǐng-
li₃tou-la. dà-hóuz pǎoguolai-yí-kàn, yě-jiàoqi₃laile. zāo-
la zāo-la. yuèliang diào-zai jǐng-li₃tou-la. lǎo-hóuz
pǎoguolai²le, hòumian^r gēnzh yì-qun₂-hóuz. tāmen-yí-kàn,
yě-dōu jiàoqi₃laile. yuèliang zhēndiào-zai jǐng-li₃tou-
la, kuài-ba-ta¹ lǎochulai. jǐng-pángbiān yǒu-ke-dà-shù.
lǎo-hóuz dàogua-zai dà-shu₄shang. ta-lāzh dà-hou₂z-d-jiǎo.
dà-hou₂z yě-dàogua₄zh, ta-lāzh lìng-yi-ge hóuz-d-jiǎo. zhè-
yang, yí-ge-lián-yi-ge-d jiēqilaile, yìzhí jiēdao jǐng-
li₃tou. xiǎo-hóuz guà-zai zuì-xiàbian^r. xiǎo-hóuz shēn-
shou₃ qu-lao-yuèliang. lāole hǎo-xie₁-shíhou lāobuzhao².
tāmen-juéde hěn-lèi, dōu-shuō, guàbuzhù-la guàbuzhù-la.
lǎo-hóuz yì⁴-tai-tóu^r, kànjian yuèliang hái-zai-tiānshang,
jiu-shuō, bú-yòng-lāo-la, yuèliang zai-tiānshang-ne.

2.2.3 Model prozodickej realizácie

Vyhodnotením finálnych prozodických transkripcií bol vytvorený model prozodickej realizácie hovoriacich súčasnej Pekinčiny ženského pohlavia, ktorý je prehľadne spracovaný v nižšie uvedenej tabuľke č. 1.

Proces vyhodnocovania spočíval v zrovnaní početnosti výskytov jednotlivých variácií prozodickej realizácie na úrovni kól naprieč všetkými vytvorenými prozodickými transkripciami. Variant každého kóla dosahujúci najväčší počet opakovaní v reči respondentov bol vybraný a dosadený do príslušného riadku modelu. Rozdeľovanie prehovoru na kóla bolo u respondentov takmer identické, určenie počtu kól (36) modelovej realizácie bolo teda jednoznačné a jednotlivým kólom bolo podľa pozície v texte priradené označenie K1 – K36.

Vo väčšine prípadov bolo určenie variácie, ktorá sa v prehovoroch opakuje najčastejšie, a ktorá najvernejšie zastupuje realizáciu daného úseku, jednoznačné. V prípadoch, kedy jedna totožná variácia kóla dosahovala minimálne 64 %, bola táto variácia uvedená ako jediný reprezentant. Pri kólach, u ktorých žiadna z variácií nedosahovala 60 %, sú uvádzané vždy všetky alternatívy, ktoré dosahovali aspoň 25 %; v prípade, že žiadna z ostatných variácií relatívnu početnosť 25 % nedosahovala, je v nasledujúcom riadku jednoducho uvedená jedna alternatíva s najvyšším zastúpením. Kóla, ktoré majú uvedenú aj variantnú realizáciu, majú označenie doplnené písmenom a sú uvedené v poradí od najvyššieho zastúpenia (napr. K8a, K8b).

Problematickým bol najmä ojedinelý prípad kóla (K13), u ktorého sa prevažujúci variant realizácie nepodarilo identifikovať vôbec. Jadrom tohto problému bolo meno miesta, ktoré tento kólon obsahoval – rôznorodosť kombinácií prečítania znakov a rytmického priebehu bola priveľká, keďže slovo 后边 (hòubiān, vzadu) bolo nesúrodo čítané ako hòubiān, hòubiānr, hòumiān a hòumiānr. Kólon K13 bol preto rozdelený a znovu zložený na základe svojich najpočetnejších segmentov. V kóle K26 bola situácia s menom miesta 下面 (xiàmian, dole) podobná, avšak zhoda naprieč realizáciami bola o niečo vyššia, uvedené sú preto tri varianty⁴⁹.

Podrobnej analýze a interpretácií prozodického modelu sa budeme venovať v nasledujúcej kapitole.

⁴⁹ Každý variant dosahuje relatívnu početnosť minimálne 20%.

Označenie	Kólon	Absolútne zastúpenie	Relatívne zastúpenie
K1	yǒu-ge-xiǎo-hóuz,	18	72%
K2	zai-jǐng-pang ₂ bian-wán _r .	16	64%
K3	ta ¹ -wang jǐng-li ₃ tou yì-shen ₁ -bó _z ,	20	80%
K4	kànjian-lítou you ³ -ge-yuè ₁ liang,	16	64%
K5	jiu-dàjiàoqi ₃ laile.	16	64%
K6	zāo-la zāo-la.	20	80%
K7	yuèliang diào-zai jǐng-li ₃ tou-la.	17	68%
K8a	dà-hou ₂ z pǎoguolai-yí-kàn,	15	60%
K8b	dà-hou ₂ z pǎoguolai ² -yì-kàn,	7	28%
K9	yě-jiàoqi ₃ laile.	21	84%
K10	zāo-la zāo-la.	20	80%
K11	yuèliang diào-zai jǐng-li ₃ tou-la.	15	60%
K12	lao-hóuz pǎoguolai ² le,	25	100%
K13	hòubian gēnzh yì-qun ₂ -hóuz.	11 + 25 + 18	44% + 96% + 72%
K14	ta ¹ men-yì-kàn,	17	68%
K15a	yě-dōu jiàoqi ₃ laile.	14	56%
K15b	yě-dōu jiàoqi ₃ laile.	8	32%
K16	yuèliang zhēndiào-zai jǐng-li ₃ tou-la,	20	80%
K17	kuài-ba-ta ¹ lǎochulai.	20	80%
K18a	jǐng-pángbiān you ³ -ke-dà-shù.	13	52%
K18b	jǐng-pángbiān _r you ³ -ke-dà-shù.	8	32%
K19	lǎo-hóuz dàogua ₄ -zai dà-shùshang.	17	68%
K20	ta-lāzh dà-hou ₂ z-d-jiǎo.	20	80%
K21	dà-hou ₂ z yě-dàogua ₄ zh,	18	72%
K22	ta-lāzh líng-yì-ge hóuz-d-jiǎo.	20	80%
K23	zhè-yang,	22	88%
K24a	yí-ge-lián-yì-ge-d jiēqi ₃ laile,	11	44%
K24b	yí-ge lián-yì-ge-d jiēqi ₃ laile,	6	24%
K25	yìzhí jiēdao jǐng-li ₃ tou.	16	64%
K26a	xiǎo-hóuz guà-zai zuì-xià ₁ bian.	7	28%
K26b	xiǎo-hóuz guà-zai zuì-xià ₁ bian _r .	6	24%
K26c	xiǎo-hóuz guà-zai zuì-xià ₁ bian _r .	5	20%
K27	xiǎo hóuz shēn-shou ₃ qu-lāo-yuèliang.	16	64%
K28	lǎole hǎo-xie ₁ -shíhou lǎobuzhao ² .	17	68%
K29	ta ¹ men-juéde hěn-lèi,	18	72%
K30a	dōu-shuō,	13	52%
K30b	dou-shuō,	12	48%
K31	guàbuzhù-la guàbuzhù-la.	20	80%
K32	lǎo-hóuz yì-tai ₂ -tóu,	16	64%
K33a	kànjian-yuèliang hái-zai-tiānshang,	14	56%
K33b	kànjian yuèliang hái-zai-tiānshang,	8	32%
K34	jiu-shuō	25	100%
K35	bú-yòng-lǎo-la,	17	68%
K36	yuèliang zai-tiānshang-ne.	18	72%

Tabuľka č. 1 Model prozodickej realizácie

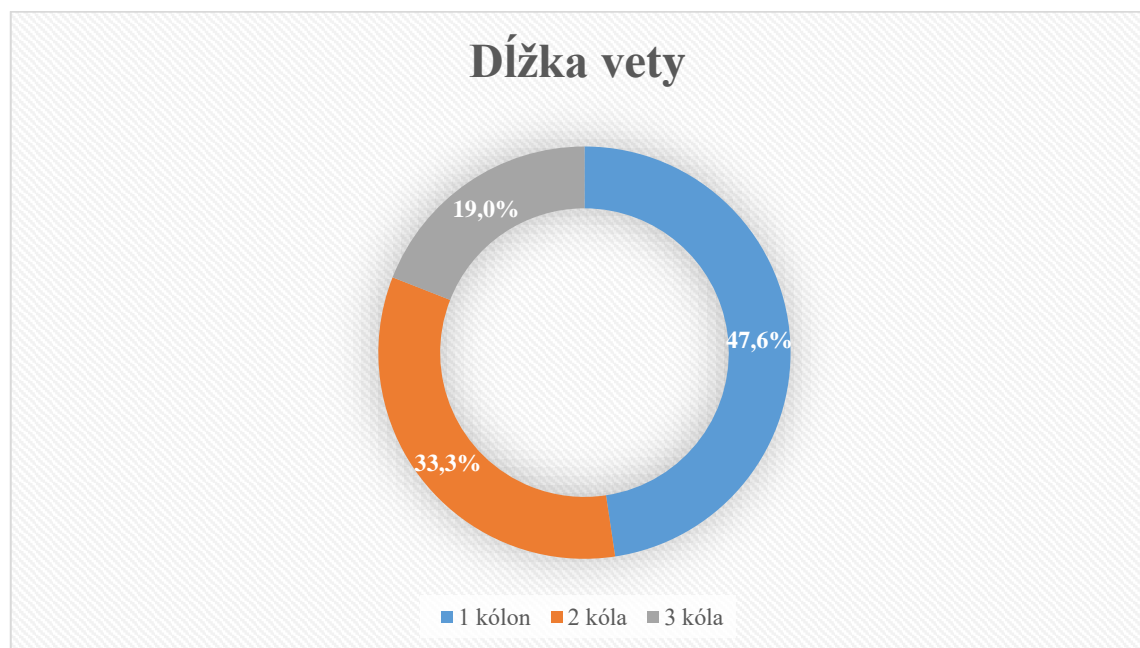
3. Prozodická analýza vytvoreného modelu

V tejto kapitole bude prevedená detailná analýza a popis vytvoreného prozodického modelu z hľadiska lineárneho a rytmického členenia.

3.1 Lineárne členenie

Z hľadiska lineárneho členenia rozlišujeme členenie prehovoru na vety, kóla, segmenty⁵⁰. V tejto podkapitole si bližšie špecifikujeme priemernú dĺžku spomenutých elementov, ktoré sa vyskytovali v našom korpuse.

Vytvorený prozodický model pozostáva z 21 viet, 44 kól (vrátane variácií), 115 segmentov a 296 slabík. Ako vyplýva z grafu č. 1, takmer polovica všetkých viet bola tvorená iba jedným kólom, jednu tretinu zastávali vety tvorené dvoma kólami a iba 19 % všetkých viet bolo zložených z troch kól. Priemerná dĺžka jednej vety bola na základe týchto hodnôt určená na 1,71 kóla⁵¹.



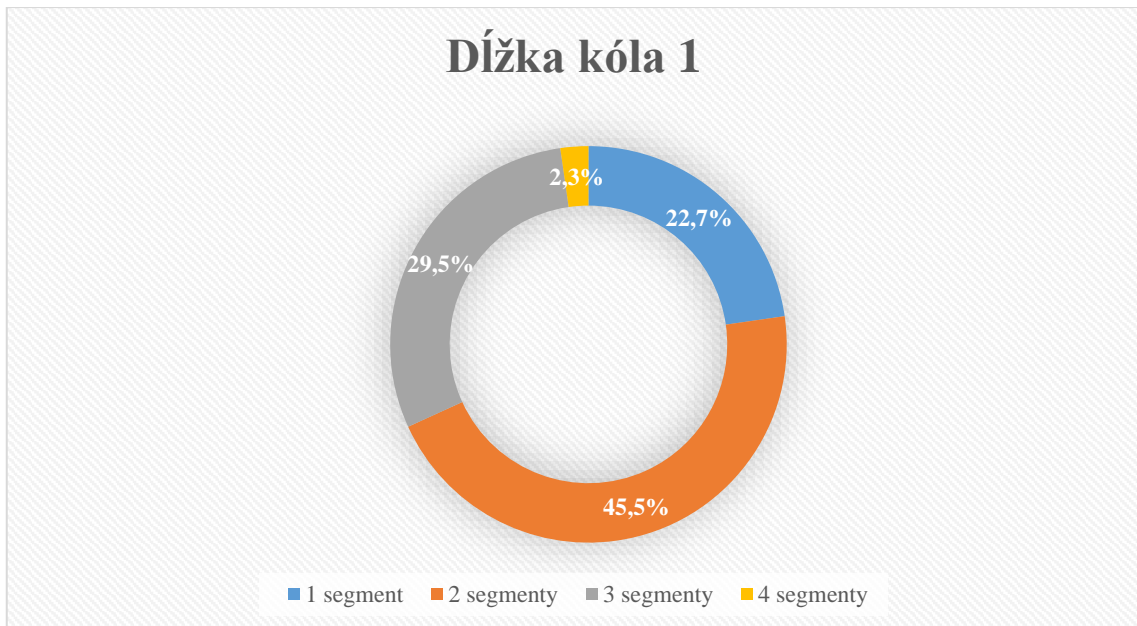
Graf č. 1 Priemerná dĺžka vety

Dĺžka kóla v našej vzorke variovala od jedného až po štyri segmenty. Z grafu č. 2 uvedeného na nasledujúcej strane je zrejmé, že najväčšie zastúpenie mali kóla dvojsegmentálne a identifikované boli presne v dvadsiatich prípadoch. Druhé najväčšie

⁵⁰ Vid' 1.1 Lineárne členenie.

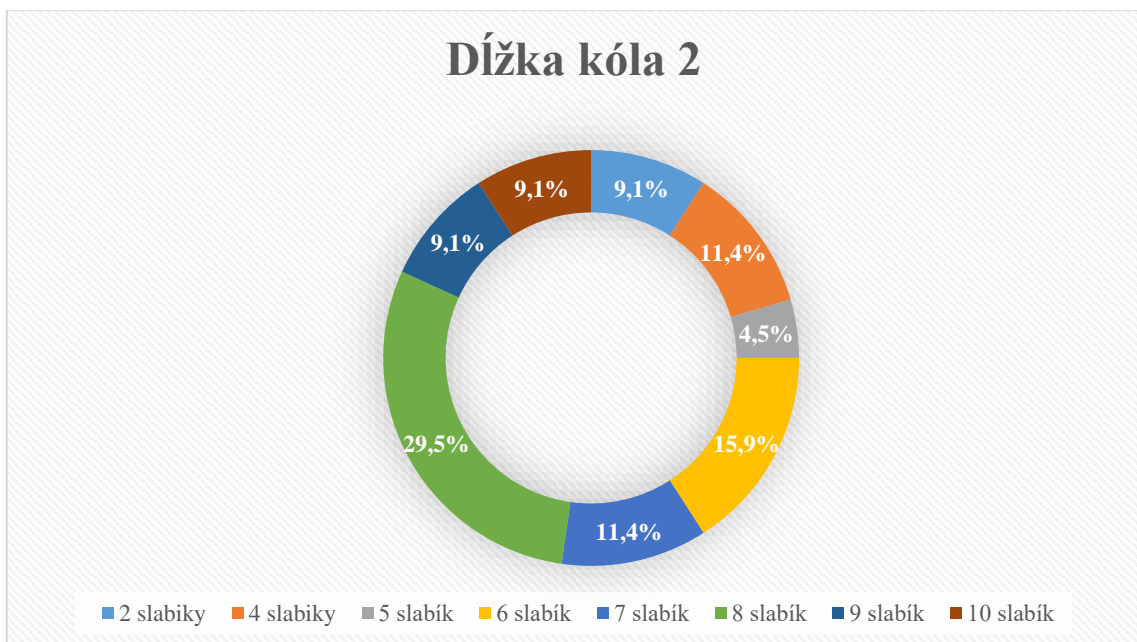
⁵¹ Pri výpočte priemernej dĺžky vety boli variantné realizácie jednotlivých kól zanedbané, pretože nemali na meranú hodnotu žiaden vplyv – aj napriek rozdielnej realizácii z rytmického hľadiska bol počet kól na jednu vetu vždy rovnaký.

zastúpenie mali kóla zložené z troch segmentov, ktoré sa v modeli objavili trinásť krát. Jedna desatina kól bola jednosegmentálna a iba v jednom prípade bol identifikovaný kólon štvortsegmentálny. Priemerná dĺžka jedného kóla bola určená na 2,11 segmentu.



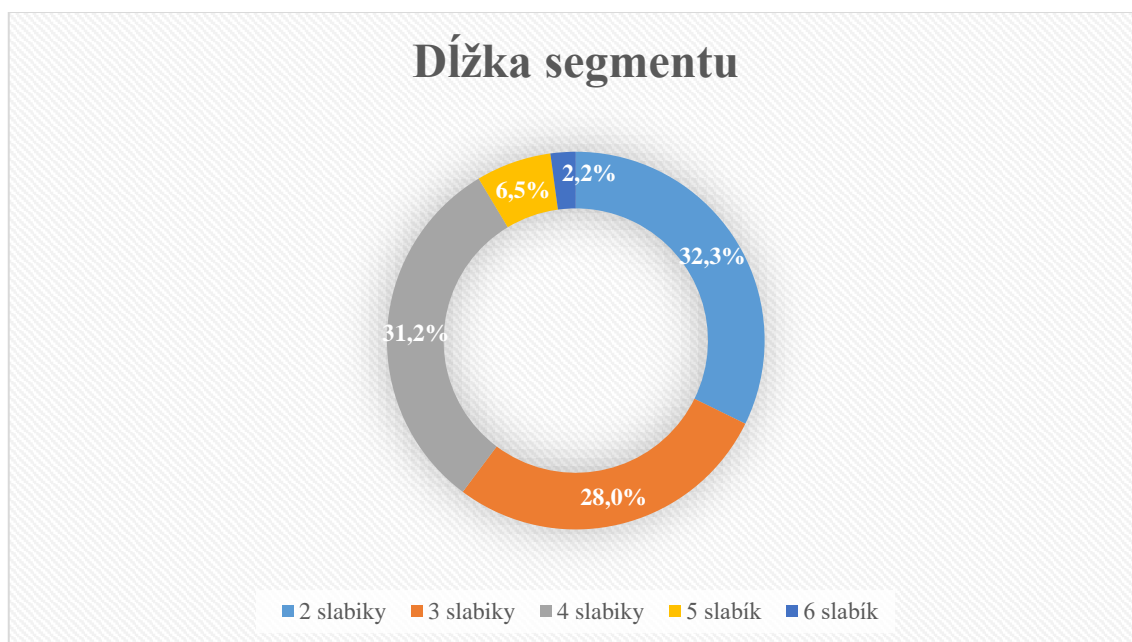
Graf č. 2 Priemerná dĺžka kóla z hľadiska počtu segmentov

Kóla je možné charakterizovať taktiež aj z pohľadu počtu slabík. Jednoznačne najfrekvetovanejším bol osemslabičný kólon (takmer 1/3 prípadov) a druhý najčastejší bol šesťslabičný kólon (takmer 1/5). Priemerná dĺžka kóla je 7,93 slabík.



Graf č. 3 Priemerná dĺžka kóla z hľadiska počtu slabík

Poslednou jednotkou, ktorou sa v tejto kapitole budeme zaoberať, je segment a jeho dĺžka. Skúmaný model obsahoval segmenty o dĺžke dve až šesť slabík. Najčastejšie sa vyskytujúcimi boli segmenty dvojslabičné (30 prípadov), avšak v tesnom závесе za nimi nasledovali segmenty tvorené štyrmi slabikami (29 prípadov). Iba o trochu menšie, no zato rovnako signifikantné zastúpenie bolo pozorovanú u segmentov trojslabičných (26 prípadov), zatiaľ čo výskyt päťslabičných a šesťslabičných segmentov bol relatívne zanedbateľný. Priemerná dĺžka jedného segmentu je 3,18 slabiky.



Graf č. 4 Priemerná dĺžka segmentu

V závere je vhodné zhrnúť priemerné dĺžky na všetkých skúmaných úrovniach. Jedna veta je v priemere tvorená 1,71 kólami. Jeden kólon je priemerne zložený z 2,11 segmentov alebo 7,93 slabík, a priemerná dĺžka jedného segmentu analyzovaného modelu je 3,18 slabiky.

3.2 Rytmické členenie segmentov

Z hľadiska rytmickeho členenia sa budeme v tejto podkapitole venovať vymedzovaniu rytmickeho sledov⁵², ktoré sa v modeli vyskytovali na úrovni segmentov.

V úvode si charakterizujeme tónovú prominenciu slabík vytvoreného modelu, od ktorej sa bude určovanie rytmickeho priebehu segmentov odvíjať. Všetky segmenty budú rozdelené do skupín podľa počtu slabík, z ktorých sú zložené. Ako bolo spomenuté

⁵² Vid' 1.6 Rytmickeho priebehu.

v predchádzajúcej podkapitole, v skúmanej vzorke sa vyskytujú segmenty dvojslabičné, trojslabičné, štvorslabičné, päťslabičné a šesťslabičné⁵³.

Následne budú v každej kategórii identifikované typy rytmických sledov, zhodnotená bude ich relatívna a absolútna početnosť, a pri každom type sledu budú uvedené vždy tri príklady z korpusu (pokiaľ nebude výskytov menej). Príklady budú opatrené označením odkazujúcim na presné miesto výskytu segmentu v korpuse, ktorý tvorí prílohu tejto práce, v tvare (10_2_1). Číastkové hodnoty budú zhrnuté v prehľadných tabuľkách, prípadne grafoch.

Komponenty segmentov budú stručne popísané aj z hľadiska gramatickej funkčnej charakteristiky – najtypickejšie výskyt budú uvedené v znakoch, doplnené o prepis do transkripcie pīnyīn a slovenský preklad.

3.2.1. Prominencia slabík

Ako bolo uvedené už v teoretickej časti tejto práce⁵⁴, slabiky na základe prominencie ich realizácie delíme na iktové a neiktové, pričom do iktových zaraďujeme slabiky zvýraznene tónické iktové, plne tónické iktové a oslabene tónické iktové, a medzi neiktové, teda menej prominentné, zaraďujeme slabiky plne tónické neiktové, oslabene tónické neiktové a slabiky atonické a atónové⁵⁵.

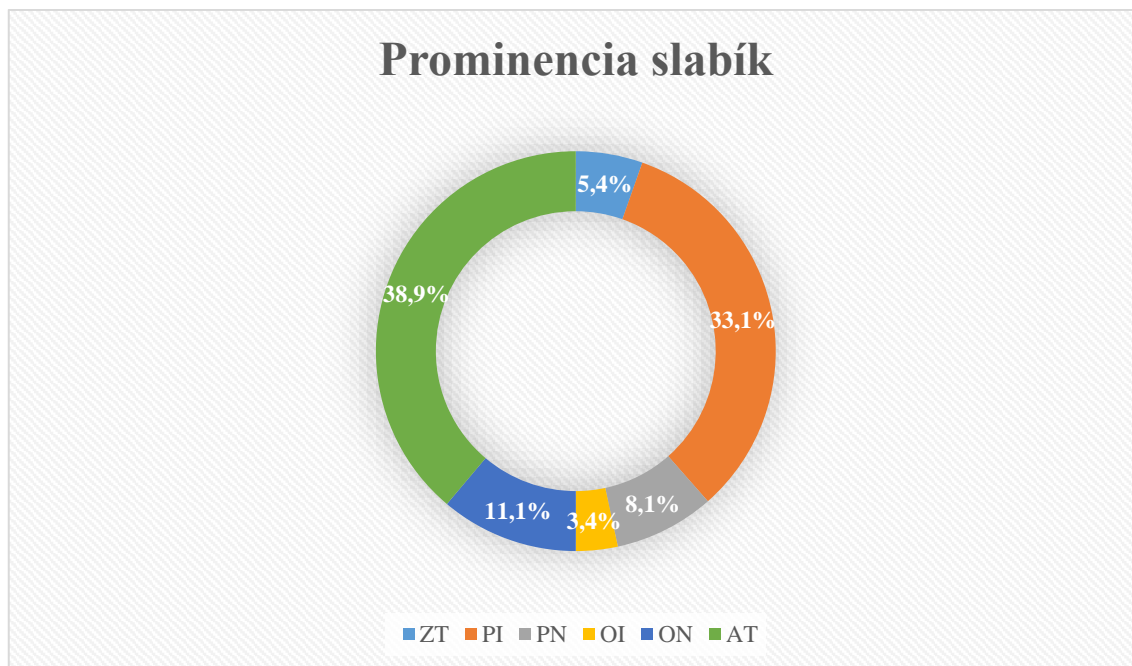
Ako ukazuje graf č. 5, aplikovaním tohto rozlišovacieho systému na prozodickú transkripciu vytvoreného modelu bolo zistené, že iktové slabiky nedosahujú z celkového počtu slabík ani polovicu (41,9 %). Najväčšia časť iktových slabík bola zastúpená slabikami plne tónickými, ktoré z celkového počtu slabík zaberali takmer jednu tretinu (33,1 %). Za nimi nasledovali slabiky zvýraznené tónické iktové, ktoré z celkového počtu zaberali iba 5,4 %, a nakoniec to boli slabiky oslabene tónické iktové, ktoré boli v rozsahu všetkých slabík najmenej produktívne (3,4 %). Nadpolovičnú väčšinu všetkých slabík zaberali slabiky neiktové, z ktorých najdominantnejšími boli slabiky atonické a atónové, a tie zároveň zaberali aj najväčší podiel slabík celkovo (38,9 %). Nasledovali slabiky oslabene tónické neiktové (11,1 %) a plne tónické neiktové (8,1 %).

⁵³ Početnosť jednotlivých skupín vid' Graf č. 4 Priemerná dĺžka segmentu.

⁵⁴ Vid' 1.4 Sedem stupňov prominencie.

⁵⁵ Rozdielnosť atonických a atónových slabík nie je pri určovaní prominencie slabík rozlišované, a rozoznanie daných dvoch typov je ponechané znalostiam čitateľa.

Z grafu č. 5 ďalej vieme, že plne tónické slabiky zastupovali menej ako polovicu všetkých slabík (46,6 %).



Graf č. 5 Prominencia slabík vytvoreného modelu

3.2.2 Dvojslabičné segmenty

Dvojslabičné segmenty zastávajú v skúmanom korpuse najväčší podiel (32,3 %). Vyskytujú sa výlučne v jednoiktovom tvare⁵⁶ s rytmickým priebehom ascendentným alebo descendentným:

1. jednoiktový ascendentný ako celok

/yìzhí/ (15_3_1)

/yě-dōu/ (9_2b_1)

/hěn-lèi/ (19_1_2)

2. jednoiktový descendentný ako celok

/zāo-la/ (3_1_1)

/diào-zai/ (4_1_2)

/shēn-shou³/ (17_1_2)

⁵⁶ Vid'1.6 Rytmický priebeh.

Ako je možné pozorovať aj v uvedených príkladoch, z hľadiska funkčnej charakteristiky zastupujú dvojslabičné segmenty najčastejšie dvojslabičné substantíva, dvojslabičné slovesá, jednoslabičné slovesá spojené s vetnou partikulou alebo so smerovým modifikátorom, objektové slovesá, prípadne číslovky spojené s príslušným numeratívom.

Pre vyhodnotenie pomeru zastúpenia vyššie zmienených rytmických sledov nám poslúžia údaje zhrnuté v tabuľke č. 2. Ako môžeme vidieť, descendentné sledy v dvojslabičných segmentoch zreteľne prevyšujú tie ascendentné, a to takmer štvornásobne; ich relatívne zastúpenie je 76,7 %.

Rytmický sled	Absolútne zastúpenie	Relatívne zastúpenie
jednoiktový ascendentný ako celok	7	23,3%
jednoiktový descendentný ako celok	23	76,7%
Spolu	30	100%

Tabuľka č. 2 Dvojslabičné segmenty

3.2.3 Trojslabičné segmenty

V trojslabičných segmentoch nájdeme sledy jednoiktové descendentné a objavuje sa aj sled dvojikový akronymický ako celok:

1. jednoiktový descendentný ako celok

/jǐng-li ³ tou/	(2_1_2)
/lǎo ² chulai/	(10_2_2)
/dàogua ₄ -zai/	(12_1_2)

2. jednoiktový descendentný s predklonkou

/dà-shùshang/	(12_1_3)
/lǎo-hóuz/	(12_1_1)
/xiǎo-hóuz/	(16_1a_1)

3. dvojikový akronymický ako celok

/kuài-ba-ta ¹ /	(10_2_1)
/lǎobuzhao ² /	(18_1_3)

/yì-tai²-tóu/

(20_1_2)

Trojslabičné segmenty boli v korpuse z hľadiska funkčnej charakteristiky najčastejšie zastúpené spojením jednoslabičného adjektíva s dvojslabičným substantívom, napr. 老猴子 (lǎo hóuz, stará opica), 大猴子 (dà hóuzi, veľká opica), 小猴子 (xiǎo-hóuz, malá opica). Častý bol taktiež aj výskyt záložiek, napr. 井里头 (jǐng lǐtōu, v studni), 大树上 (dà shùshang, na veľkom strome) a objavilo sa aj spojenie slovesa s dvojslabičným smerovým modifikátorom, napr. 捞出来 (lāochūlai, vyloviť).

Výskyt a početnosť jednotlivých rytmických sledov v trojslabičných segmentoch našej vzorky je možné definovať za pomoci tabuľky č. 3, na základe ktorej je jednoiktový descendentný sled s predklonkou vyhodnotený ako najproduktívnejší, a zastupuje takmer polovicu celkového počtu trojslabičných segmentov (46,2 %). Viac ako jednu tretinu zastupuje jednoiktový sled descendentný ako celok (34,6 %) a menej ako jednu petinu predstavuje sled akronymický ako celok (19,2 %).

Rytmický sled	Absolútne zastúpenie	Relatívne zastúpenie
jednoiktový descendentný ako celok	9	34,6%
jednoiktový descendentný s predklonkou	12	46,2%
dvojiktový akronymický	5	19,2%
Spolu	26	100,0%

Tabuľka č. 3 Trojslabičné segmenty

3.2.4 Štvorslabičné segmenty

Rytmické sledy vyskytujúce sa v štvorslabičných segmentoch už sú v porovnaní so segmentmi jednoslabičnými a dvojslabičnými podstatne pestrejšie. Stúpavé, klesavé a akronymické sledy priberajú príklonky, predklonky⁵⁷ a rôzne sa kombinujú. Konkrétne sa nám v korpuse vyskytli nasledujúce typy rytmických sledov:

1. jednoiktový descendentný ako celok

/jǐng-li₃tou-la/

(4_1_3)

/jiàoqi₃laile/

(9_2b_2)

/jiēqi₃laile/

(15_2a_2)

⁵⁷ Vid'1.6 Rytmický priebeh.

2. jednoiktový descendentný s predklonkou

/yě-dàogua₄zh/ (14_1_2)

/zai-tiānshang-ne/ (21_2_2)

3. dvojikový ascendentný + descendentný

/qu-lāo-yuèliang/ (17_1_3)

/bú-yòng-lāo-la/ (21_1_1)

4. dvojikový descendentný + descendentný

/kànjian-lǐtōu/ (2_2_1)

/hái-zai-tiānshang/ (20_2a_2)

/ta¹men-juéde/ (19_1_1)

5. dvojikový akronymický ako celok

/ta¹men-yi-kàn/ (9_1_1)

/you³-ke-dà-shù/ (11_1a_2)

/hóuz-d-jiǎo/ (14_2_3)

6. dvojikový akronymický s príklonkou

/pǎoguolai²le/ (8_1_2)

/guàbuzhù-la/ (19_3_1)

Ako už bolo naznačené v úvode tejto podkapitoly, štvorslabičné segmenty vytvárali najväčšie množstvo rôznych typov rytmických sledov. Z tabuľky č. 4 vyplýva, že najproduktívnejším z nich bol sled kombinujúci dva klesavé rytmy a celkovo zastupoval viac ako jednu tretinu všetkých štvorslabičných segmentov (34,5 %), pričom druhým najdominantnejším bol sled jednoiktový descendentný ako celok (27,6 %). Za nimi nasledoval sled akronymický ako celok (13,8 %) a v jednej desatine sa akronymický rytmus vyskytol v tvare s príklonkou. V takmer zanedbateľnom zastúpení (menej ako jedna desatina) boli identifikované sledy descendentný s predklonkou a kombinácia ascendentného a descendentného sledu.

Zloženie segmentov z pohľadu gramatickej funkčnej charakteristiky bolo taktiež veľmi rôznorodé. Za najproduktívnejšie môžeme uviesť spojenie slovesa s jedným alebo viacerými smerovými modifikátormi a vidovo-časovou partikulou 了 (le, označenie ukončenia deja/zmeny stavu), napr. 叫起来了(jiàoqǐláile, vykrikol), 接起来了(jiēqǐláile, spojili sa), alebo spojenie slovesa so substantívom, ktoré z hľadiska vetných členov môžeme označiť ako spojenie prísudku s objektom, napr. 看见月亮(kànjian yuèliang, vidieť mesiac). Funkciu predkloniek preberalo prepozičné sloveso 在(zài, byť, nachádzať sa), prípadne zlučovacia spojka 也(yě, tiež). Funkciu príklonky naopak najčastejšie preberala vetná partikula 啦(la, označenie zvolania), ktorá býva typickým zakončením zvolacích viet.

Rytmický sled	Absolútne zastúpenie	Relatívne zastúpenie
jednoiktový descendentný ako celok	8	27,6%
jednoiktový descendentný s predklonkou	2	6,9%
dvojiktový ascendentný + descendentný	2	6,9%
dvojiktový descendentný + descendentný	10	34,5%
dvojiktový akronymický ako celok	4	13,8%
dvojiktový akronymický s príklonkou	3	10,3%
Spolu	29	100,0%

Tabuľka č. 4 Štvorslabičné segmenty

3.2.5 Päťslabičné segmenty

Päťslabičné segmenty zastávali iba 6,5 % všetkých segmentov, avšak napriek ich malému zastúpeniu v analyzovanej vzorke je rôznorodosť identifikovaných rytmických sledov, podobne ako u segmentov štvorslabičných, pomerne vysoká. Tento fakt sa, prirodzene, odzrkadľuje aj na počte uvedených príkladov pri výpočte jednotlivých prítomných sledov:

1. jednoiktový descendentný s predklonkou

/yě-jìàoqǐláile/ (5_2_1)

2. dvojiktový descendentný + descendentný s predklonkou

/yǒu-ge-xiǎo-hóuz/ (1_1_1)

3. dvojiktový akronymický ako celok

/pǎoguolai-yí-kàn/ (5_1a_2)

/dà-hou₂z-d-jiǎo/ (13_1_2)

4. dvojitkový akronymický s predklonkou

/zai-jǐng-pang₂bian-wán_r/ (1_2_1)

5. dvojitkový akronymický + ascendentný

/pǎoguolai²-yi-kàn/ (5_1b_2)

Tabuľka č. 5 nám ukazuje, že najproduktívnejší rytmický sled je pri päťslabičných segmentoch sled dvojitkový akronymický ako celok (33,3 %). Napriek tomu, že relatívne zastupuje jednu tretinu všetkých rytmov v tejto kategórii, je jeho absolútne zastúpenie (dva výskyty) v rozsahu celej analyzovanej vzorky stále nie príliš významné. Zbytok rytmických sledov sa, v nepočítanej kategórii päťslabičných segmentov, objavil rovnocenne po 1 výskyte. Rozlíšili sme tu sledy jednoiktový descendentný s predklonkou, kombináciu descendentného sledu a descendentného sledu s predklonkou, akronymický sled s predklonkou a kombináciu akronymického sledu so sledom ascendentným.

Z hľadiska gramatickej funkčnej charakteristiky nebolo, vzhľadom na nízky počet segmentov v tejto kategórii, možné vyhodnotiť žiadnu prevažujúcu tendenciu.

Rytmický sled	Absolútne zastúpenie	Relatívne zastúpenie
jednoiktový descendentný s predklonkou	1	16,7%
dvojitkový descendentný + descendentný s predklonkou	1	16,7%
dvojitkový akronymický ako celok	2	33,3%
dvojitkový akronymický s predklonkou	1	16,7%
dvojitkový akronymický + ascendentný	1	16,7%
Spolu	6	100,0%

Tabuľka č. 5 Päťslabičné segmenty

3.2.6 Šesťslabičné segmenty

Šesťslabičné segmenty sa v analyzovanej vzorke vyskytli iba dva krát a reprezentovali ich nasledovné rytmické sledy:

1. jednoiktový descendentný s predklonkou

/jiu-dàjiàoqi₃laile/ (2_3_1)

2. dvojitkový descendentný + descendentný

Ako je zhrnuté v nasledujúcej tabuľke č. 6, oba sledy, jednoiktový descendentný aj dvojiktová kombinácia dvoch descendentných sledov, sú v analyzovanej vzorke zastúpené rovnako, a to iba jedným výskytom. Rovnako ako v prípade päťslabičných segmentov je tento výskyt na vyhodnocovanie tendencií z hľadiska gramatickej funkčnej charakteristiky slov príliš nízky.

Rytmickeý sled	Absolútne zastúpenie	Relatívne zastúpenie
jednoiktový descendentný s predklonkou	1	50,0%
dvojiktový descendentný + descendentný	1	50,0%
Spolu	2	100,0%

Tabuľka č. 6 Šesťslabičné segmenty

V závere analýzy rytmického členenia na úrovni segmentov môžeme pozorované výsledky zovšeobecniť a zhrnúť nasledovne: naprieč skúmaným modelom boli identifikované sledy jednoiktové a dvojiktové, a to v pomere približne 2:1. Ako jasne vyplýva z tabuľky č. 7, jednoznačne najproduktívnejším bol pri tom sled jednoiktový descendentný ako celok, ktorý sa vyskytoval v celých 3/5 všetkých segmentov (60,2 %). Druhým najfrekvencovanejším bol rytmus dvojiktový akronymický ako celok, ktorý zastupoval takmer jednu šestinú prípadov (16,1 %). Tretím najvýznamnejším bol dvojiktový sled vytvorený kombináciou dvoch descendentných sledov (12,9 %). Posledná desatina segmentov bola tvorená troma zbytkovými rytmickými sledmi, ktoré môžeme vidieť v nižšie uvedenej v tabuľke.

Rytmickeý sled	Absolútne zastúpenie	Relatívne zastúpenie
jednoiktový ascendentný	7	7,5%
jednoiktový descendentný	56	60,2%
dvojiktový ascendentný + descendentný	2	2,2%
dvojiktový descendentný + descendentný	12	12,9%
dvojiktový akronymický	15	16,1%
dvojiktový akronymický + ascendentný	1	1,1%
Spolu	93	100,0%

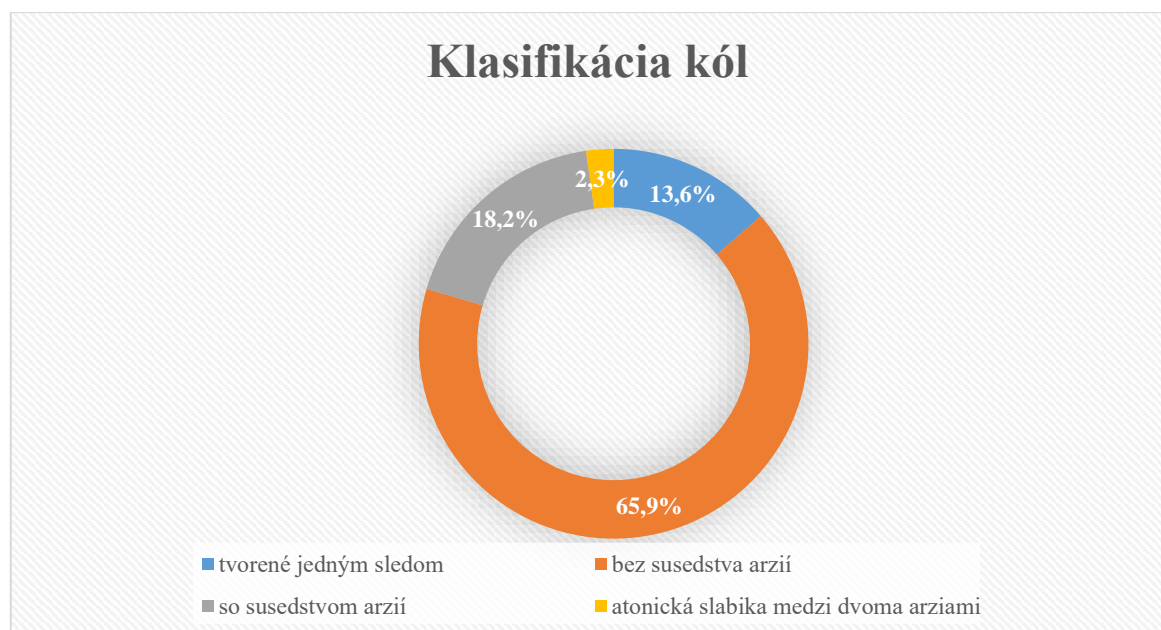
Tabuľka č. 7 Celkové zastúpenie rytmických sledov

3.3 Rytmické členenie kól

Čiastkové výsledky analýzy rytmických sledov vyskytujúcich sa na úrovni segmentov rôznej dĺžky môžeme následne ďalej spracovať pri vyhodnocovaní vzorcov rytmických priebehov na úrovni vetných kól.

V tejto podkapitole si z hľadiska prozodickej realizácie postupne charakterizujeme typy kól špecifické pre náš skúmaný model doplnené o konkrétne príklady z korpusu. Jednotlivé výsledky budú vždy prehľadne zhrnuté do tabuľky, prípadne grafu. V závere podkapitoly sa pozrieme taktiež aj na pozíciu jednotlivých sledov v rámci kóla.

Rytmický priebeh na úrovni jedného vetného kóla môže byť tvorený jedným alebo viacerými rytmickými sledmi⁵⁸. V prípade zloženia rytmického priebehu kóla z viacerých sledov je veľký dôraz kladený na vzájomnú pozíciu arzií⁵⁹ jednotlivých sledov, tzn. či jednotlivé arzie prichádzajú do priameho vzájomného kontaktu, neprichádzajú do priameho vzájomného kontaktu, prípadne či bola medzi dve susediace arzie vložená atonická slabika. Pre účely tejto práce boli kóla s viacerými sledmi rozdelené nasledovne: kóla, u ktorých nedochádza k bezprostrednému stretu dvoch arzií; kóla, u ktorých dochádza k bezprostrednému stretu dvoch arzií; a kóla s vloženou atonickou slabikou, vďaka ktorej nedochádza k bezprostrednému susedstvu dvoch arzií.



Graf č. 6 Klasifikácia kól

⁵⁸ Vid' 1.6.2 Rytmický priebeh kól.

⁵⁹ Vid' 1.3 Iktovosť.

Ako vyplýva z grafu č. 6, približne dve tretiny všetkých kól (65,9 %) zastáva typ rytmického priebehu, pri ktorom nedochádza k priamemu kontaktu dvoch arzií, a stáva sa tak pre našu analýzu najtypickejším. Naopak najvzácnejším bol v našej analýze typ kóla, pri ktorom sú dve arzie arzie oddelené vloženou atonickou slabikou, a ktorý sa vyskytol iba v jedinom prípade (2,3 %).

3.3.1 Kóla tvorené jedným sledom

Kóla tvorené jedným sledom môžu byť tvorené sledom ascendentným, descendentným, trojslabičným akronymickým alebo jednou nepárnou slabikou⁶⁰.

Vo vytvorenom modeli boli z týchto štyroch možností identifikované iba dve, a síce kóla tvorené jedným sledom ascendentným alebo jedným sledom descentným. Vzostupné a zostupné sledy boli v danej kategórii kól zastúpené rovnomerne, a to v pomere 1:1.

3.3.2 Kóla bez priameho susedstva dvoch arzií

V kategórii kól bez priameho stretu dvoch arzií boli identifikované nasledovné kombinácie sledov:

1. opakovanie descendentného sledu

\\	/kànjian-lītou you ³ -ge-yuèliang/	(2_2)
\	/dà-hou ₂ z yě-dàogua ₄ zh/	(14_1)
° \	/lǎo-hóuz dàogua ₄ -zai dà-shùshang/	(12_1)

2. akronymické modely

2.1 jednoduchá akronymická štruktúra

°V	/zai-jǐng-pang ₂ bian-wánr/	(1_2)
V	/ta ¹ men-yi-kàn/	(9_1)

2.2 akronymická štruktúra s opakujúcim sa descendentným sledom

°V°	/lao-hóuz pǎoguo ₁ lai ² le/	(8_1)
\\	/ta-lāzh dà-hou ₂ z-d-jiǎo/	(13_1)
\\	/ta ¹ men-juéde hěn-lèi/	(19_1)

⁶⁰ Vid' 1.6.2 Rytmickeý priebeh kól.

2.3 akronymická štruktúra s opakujúcim sa descendntným a ascendentným sledom

\V/ /dà-hou₂z pǎoguolai²-yi-kàn/ (5_1b)

Na základe tabuľky č. 8 vieme, že rytmický priebeh kól bez priameho susedstva arzií bol najčastejšie zložený z opakujúcich sa zostupných sledov (65,5 %). Zvyšná približne tretina kól bola zastúpená akronymickou štruktúrou jednoduchou (6,9 %) alebo spojenou s descendntným (24,1 %), alebo descendntným aj ascendentným sledom (3,4%).

Rytmický priebeh	Absolútne zastúpenie	Relatívne zastúpenie
opakujúce sa DE sledy	19	65,5%
jednoduchá AKR štruktúra	2	6,9%
AKR s opakujúcim sa DE sledom	7	24,1%
AKR s opakujúcim sa DE a AS sledom	1	3,4%
Spolu	29	100,0%

Tabuľka č. 8 Kóla bez priameho susedstva arzií

3.3.3 Kóla s priamym susedstvom dvoch arzií

V kategórií kól, v rámci ktorých bol pozorovaný priamy stret dvoch arzií, bol tento stret identifikovaný na hranici sledov:

1. ascendentný sled + descendntný sled

/+\ /bú-yòng-lāo-la/ (21_1)

/+\ /yě-dōu jiàoqi₃laile/ (9_2b)

/+\ /yìzhí jiēdao jǐng-li₃tou/ (15_3)

2. akronymický sled + descendntný sled

V+\ /kuài-ba-ta¹ lāochulai/ (10_2)

°\+\ /xiǎo-hóuz shēn-shou₃ qu-lāo-yuèliang/ (17_1)

3. akronymický sled + akronymický sled

V+\ /jǐng-pángbiān you³-ke-dà-shù/ (11_1a)

Najproduktívnejší bol v tejto nepočetnej kategórií rytmický priebeh, v rámci ktorého dochádzalo k stretu dvoch arzií na pomedzí vzostupného a zostupného sledu (50 %). Z tabuľky č. 9 ďalej vyplýva, že zvyšná polovica kól bola rovnomerne rozložená

medzi prípady, v ktorých dochádzalo k stretu arzií medzi akronymickou štruktúrou a zostupným sledom, a medzi dvoma akronymickými štruktúrami.

Rytmický priebeh	Absolútne zastúpenie	Relatívne zastúpenie
AS + DE sled	4	50,0%
AKR + DE sled	2	25,0%
AKR + AKR sled	2	25,0%
Spolu	8	100,0%

Tabuľka č. 9 Kóla s priamym susedstvom dvoch arzií

3.3.4 Kóla s atonickou slabikou vloženou medzi dvoma arziami

V analyzovanej vzorke bol identifikovaný aj posledný typ rytmickeho priebehu na úrovni vetných kól – kolón s atonickou slabikou vloženou medzi dvoma arziami. Konkrétne šlo o atonickú slabiku, ktorá oddeľovala:

1. dva akronymické sledy

V°V° /guàbuzhù-la guàbuzhù-la/ (19_3)

Ako môžeme vidieť v tabuľke č. 10, výskyt typu kóla, v ktorom bola medzi dvoma arziami identifikovaná atonická slabika bol v našom korpuse iba marginálny (1 prípad), nebudeme si ho preto bližšie špecifikovať.

Rytmický priebeh	Absolútne zastúpenie	Relatívne zastúpenie
AKR a AKR sled	1	100,0%
Spolu	1	100,0%

Tabuľka č. 10 Kóla s atonickou slabikou vloženou medzi dvoma arziami

3.3.5 Pozícia sledov

Ďalším dôležitým štatistickým údajom, ktorý vieme z analýzy rytmickeých sledov na úrovni segmentov a kól odvodiť, je preferovaná pozícia jednotlivých typov sledov v rámci kóla.

Na základe teórie p. prof. Švarného sa môžu rytmicke sledy ascendentný, descendentný a akronymická štruktúra vyskytovať v dvojjej pozícií: na začiatku alebo vo vnútri kóla a na konci kóla, pričom pozícia sledu v kólach tvorených iba jedným sledom je chápaná ako pozícia na konci kóla. Podľa p. prof. Švarného ďalej ascendentné

segmenty preferujú pozíciu na konci kóla a descendentné segmenty pozíciu na začiatku alebo vo vnútri.⁶¹

Ako ukazuje tabuľka č. 11, výsledky, ktoré boli vyhodnotené v našej analýze, v zásade odpovedali teórii p. prof. Švarného. Zatiaľ čo ascendentné sledy vykazovali jasné známky preferencie pozície na konci kóla (82,4 %), descendentné sledy boli na začiatku a vo vnútri (53,9 %) a na konci (46,1 %) kóla rozložené v približne rovnakom pomere. Príčinou tejto odchýlky môže byť vysoký počet jednosegmentálnych kól, ktorých pozícia je vždy chápaná ako pozícia na konci. Trojslabičné akronymické segmenty sa, podobne ako zostupné segmenty, v našej vzorke objavovali na oboch pozíciách približne v pomere 1:1.

Rytmický sled	Na začiatku alebo vo vnútri kóla	Na konci kóla	Spolu
ascendentný	3 (17,6%)	14 (82,4%)	17 (100%)
descendentný	48 (53,9%)	41 (46,1%)	89 (100%)
akronymický	4 (44,4%)	5 (55,6%)	9 (100%)

Tabuľka č. 11 Pozícia sledov v rámci kóla

⁶¹ 1.6.2 Rytmický priebeh kól.

4. Prozodická analýza porovnáwanej vzorky

Ďalej budú prezentované výsledky prozodickej analýzy nahrávky príbehu Opice loví mesíc zhotovenej p. prof. Švarným, ktoré neskôr využijme na účel porovnania s vytvoreným modelom reprezentujúcim aktuálnu podobu pekinčiny.

Nahrávka p. profesora vznikla na prelome šesdesiatych a sedemdesiatych rokov a publikovaná bola v rámci diela *Učební slovník jazyka čínskeho I*, vydaného v roku 1998, a to vo forme grafu obohateného o prozodický prepis⁶². P. prof. Švarný vo svojom diele uviedol tri varianty identického textu na základe rôznej rýchlosti realizácie – od najpomalejšej po najrýchlejšiu (najprirodzenejšiu) rýchlosť. Pre porovnávacie účely našej analýzy bolo vybraté tretie (najprirodzenejšie) čítanie, ktoré najviac odpovedalo tempu nášho vytvoreného prozodického modelu.

Štruktúra analýzy nahrávky p. profesora bude v zhode s predchádzajúcou analýzou nášho modelu. Charakterizované bude postupne lineárne a rytmické členenie segmentov a kól, pričom čiastkové výsledky budú doplnené o príklady a zhrnuté v prehľadných tabuľkách, prípadne grafoch.

Použitá prozodická transkripcia p. prof. Švarného⁶³:

yōu-ge-xiao₃-hóuzi_r, zai-jǐng-pángbiān_r wán_r. ta¹-wang-jǐng-li₃tou yi-shēn-bó_z, kànjian lǐtou-you³-ge-yuèliang, jiu-dàjiàoqilai-la. zāo-la, zāo-la. yuèliang diao⁴-zai-jǐng-litou-la. dà-hóuz pǎoguolai-yi-kàn, yě-jiàoqilai-la. zāo-la, zāo-la. yuèliang diao⁴-zai-jǐng-litou-la. lǎo-hóuz pǎoguolai-la, hòubian_r gēnzh-yi-qun₂-hóuz. ta¹men-yi-kàn, yě-dou₁-jiàoqilai-la. yuèliang zhēndiào-zai-jǐng-litou-la, kuài-ba₃-ta-lāochulai. jǐng-pangbiān_r yōu-ke-dà-shù. lǎo-hóuz dàoguà-zai-dà-shùshang_{tou}. ta-lāzh dà-hóuz-d-jiǎo. dà-hóuz yě-dàogua₄zh, ta-lāzh lìng-yi-ge-hóuz-d-jiao³. zhè-yang, yí-ge lián-yi-gè-d jiēqilai-la, yìzhí jiēdao-jǐng-litou. xiǎo-hóuzi_r guà-zai-zuì-xiàbian_r. xiǎo-hóuz shēn-shou₃-qu-lāo-yuèliang. lǎole hao-xiē-shihour lāobuzhao².

⁶² Švarný 1998c: grafy (31–39).

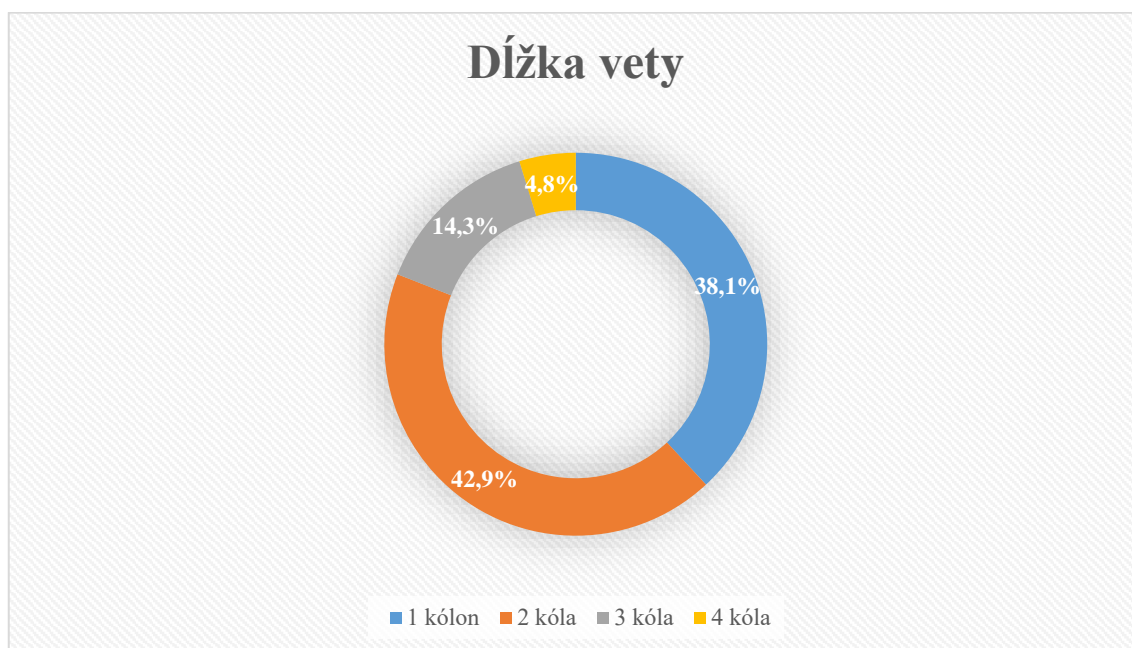
⁶³ Ibid.

tāmen juéde-hěn-**lèi**, dou-shuo¹, guàbuzhù-la guàbuzhù-la.
lǎo-hóuz yī-tai₂-tóu, kànjian-yuèliang **hái**-zai-tiānshang,
jiu-shuo¹. bú-yong-**lāo**-la, yuèliang **zài**-tian¹shang-ne.

4.1 Lineárne členenie

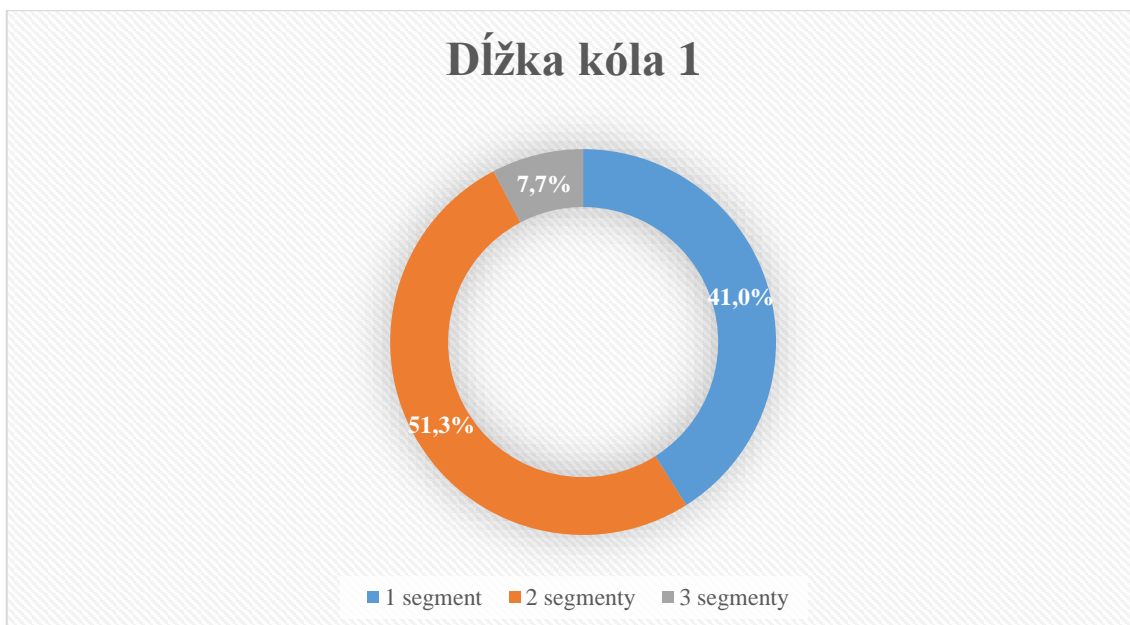
V tejto podkapitole nájdeme charakteristiku nahrávky p. profesora z hľadiska lineárneho členenia. Popísaná bude dĺžka a početnosť jednotlivých vetných častí – viet, kól a segmentov.

Analyzovaná nahrávka p. profesora pozostáva z 21 viet, 39 kól, 65 segmentov a 240 slabík. Graf č. 7 nám ukazuje, že najproduktívnejšími boli vety zložené z dvoch kól a tento typ zastáva viac ako dve pätiny (42,9) všetkých viet. Hneď po nich nasledujú vety tvorené iba jedným segmentom s relatívnou početnosťou 38,1 %. Celkom 3 vety z 21 boli tvorené tromi kólami, a iba jedna veta analyzovaného textu obsahovala kóla štyri. Dĺžka jednej vety je v priemere určená na 1,86 kóla.



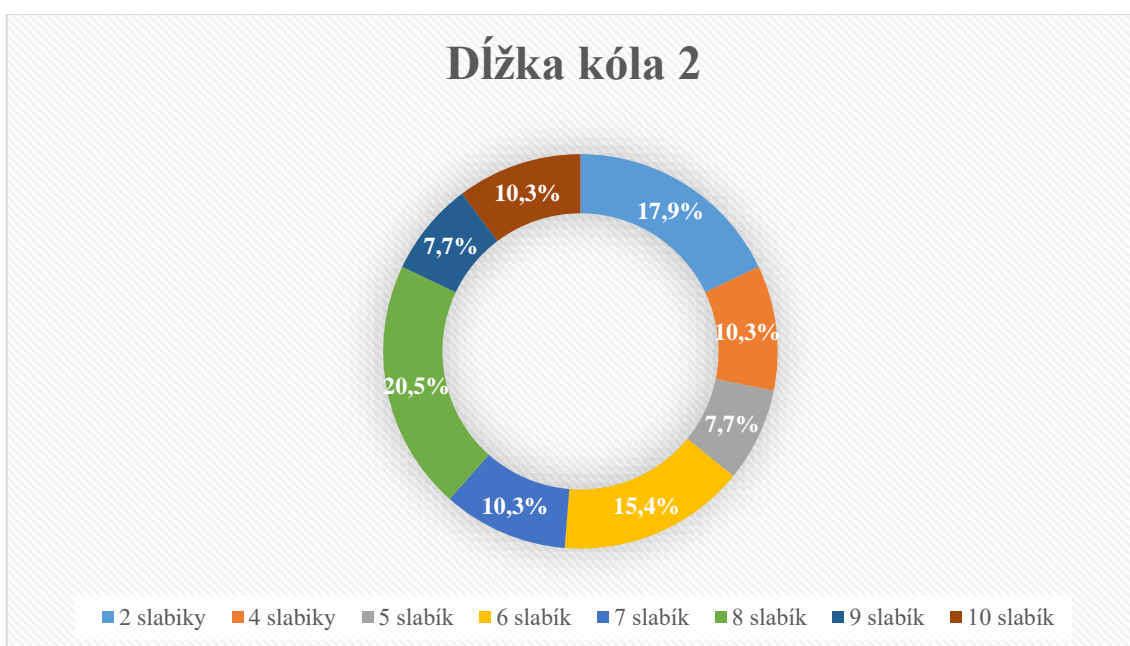
Graf č. 7 Dĺžka vety porovnávanej vzorky

Čo sa týka dĺžky kóla, z nasledujúceho grafu č. 8 vyplýva, že jeden kólon bol v približne podobnom pomere tvorený jedným (41 %) a dvoma (51,3 %) segmentami, pričom dvojsegmentálne kóla, zastupujúce viac ako polovicu prípadov, prevažovali. Ojedinelý bol kólon zložený z troch segmentov, ktorý bol identifikovaný iba jedenkrát. Priemerná dĺžka jedného kóla bola určená na 1,7 segmentu.



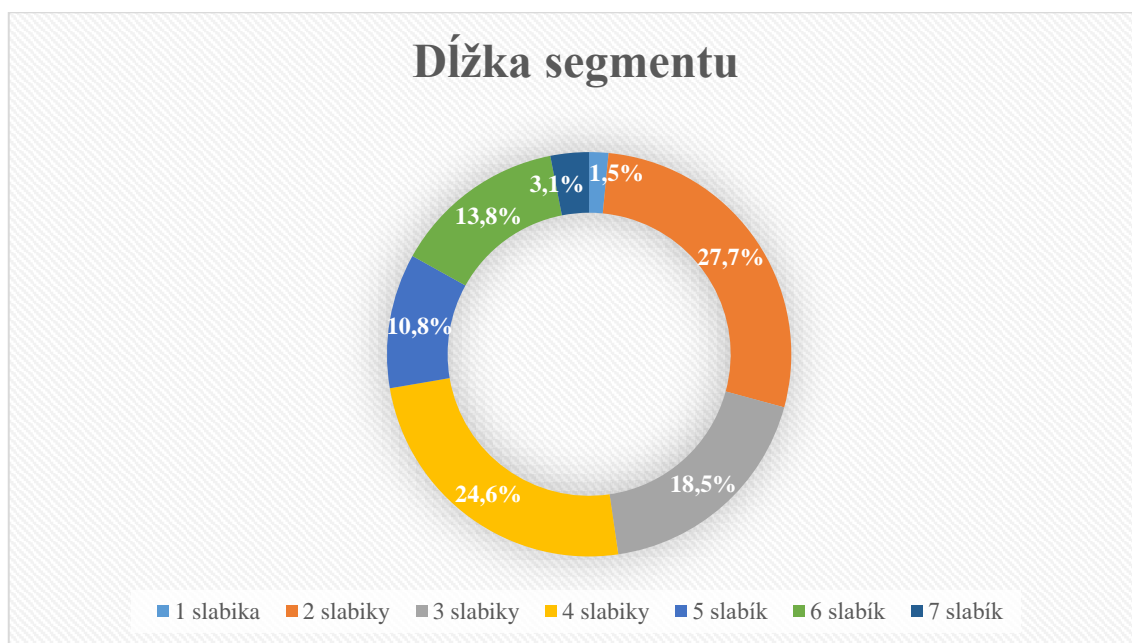
Graf č. 8 Priemerná dĺžka kóla porovnáwanej vzorky v segmentoch

Okrem charakteristiky počtu segmentov je kóla možné definovať taktiež aj na základe počtu slabík. Dĺžka skúmaných kól porovnáwanej vzorky, ako naznačuje graf č. 9, sa pohybovala v rozmedzí od dvoch do desiatich slabík. Najpočetnejším typom boli osemslabičné kóla tvoriace jednu pätinu celkového počtu. S nižším, ale stále pomerne prominentným zastúpením sa objavili segmenty dvojslabičné (17,9 %) a šesťslabičné (15,4 %), a medzi kóla zastupujúce jednu desatinu kól a menej boli zaradené kóla tvorené štyrmi, piatimi siedmymi a desiatimi slabikami. V priemere bola dĺžka kóla určená na 6,15 slabík.



Graf č. 9 Priemerná dĺžka kóla porovnáwanej vzorky v slabikách

V neposlednom rade si priblížime lineárne členenie na úrovni segmentov. Graf č. 10 ukazuje, že dĺžka segmentov variovala v rozmedzí 1–7 slabiky. Najvýznamnejší bol výskyt dvojslabičných segmentov (27,7 %), štvorslabičných segmentov (24,6 %) a trojslabičných segmentov (18,5 %). Priemerná dĺžka jedného segmentu bola 3,7 slabiky.



Graf č. 10 Priemerná dĺžka segmentu porovnávanvej vzorky

Hlavné výsledky analýzy lineárneho členenia skúmaného textu je možné zhrnúť nasledovne: jedna veta bola v priemere tvorená 1,86 kólami, jeden kólon bol v priemere tvorený 1,7 segmentmi alebo 6,15 slabikami, a priemerná dĺžka jedného segmentu je 3,7 slabiky.

4.2 Rytmické členenie segmentov

V podkapitole zameranej na rytmičné členenie segmentov bude najskôr, podobne ako pri analýze rytmičného členenia vytvoreného modelu, prezentovaná prominencia jednotlivých slabík a segmenty budú rozdelené do skupín podľa počtu slabík, z ktorých sú zložené. V týchto skupinách budú postupne odprezentované všetky typy rytmičných priebehov, ktoré v nich boli identifikované, doplnené vždy o tri príklady (pokiaľ výskyt nebude menej).

Príklady budú, rovnako ako v analýze vytvoreného modelu v predošlej kapitole, opatrené označením odkazujúcim na presné miesto výskytu segmentu v korpuse, ktorý tvorí prílohu tejto práce⁶⁴. Na rozdiel od analýzy modelu bude však vynechaný popis

⁶⁴ Vid' Zoznam príloh.

funkčnej charakteristiky segmentov, keďže členenie textu je v oboch porovnávaných vzorkách veľmi podobné a ďalší popis by viedol k repetícii. Čiastkové hodnoty budú zhrnuté v prehľadných tabuľkách, prípadne grafoch. V závere budú namerané hodnoty zovšeobecnené.

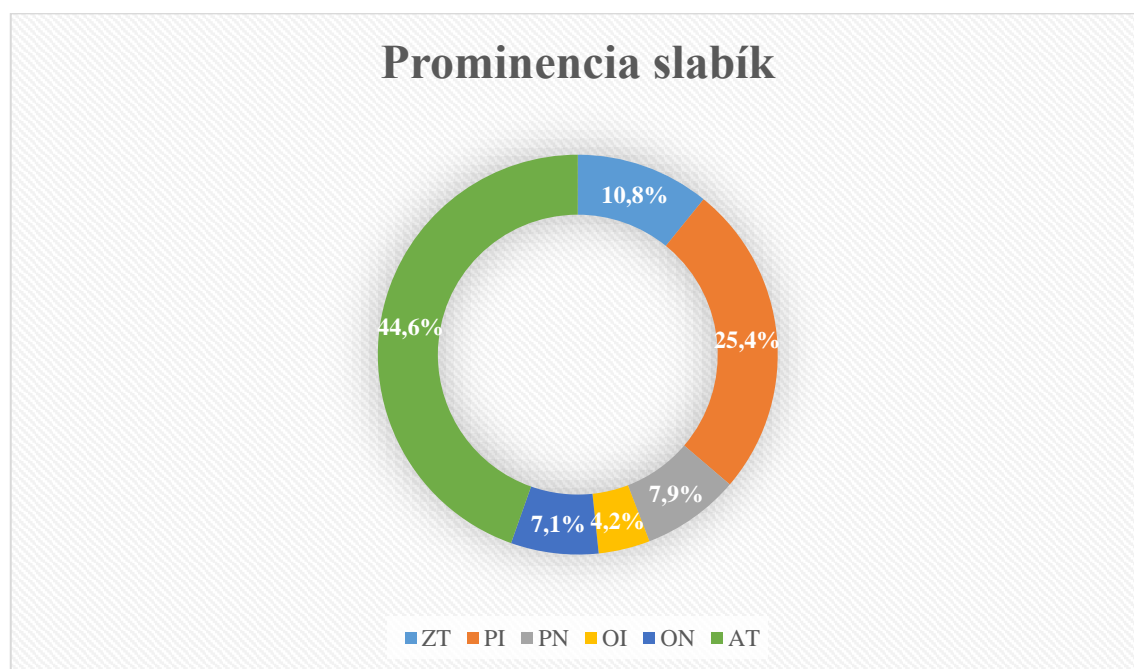
4.2.1 Prominencia slabík

Zastúpenie slabík roztriedených podľa príslušného stupňa prominencie nájdeme v nižšie uvedenom grafe č. 11, z ktorého vyplýva pomer iktových a neiktových slabík 2:3⁶⁵.

Z iktových slabík sú najproduktívnejšie slabiky plne tónické, ktoré z celkového počtu zastupujú jednu štvrtinu slabík. Potom sú to slabiky zvýraznene tónické iktové (10,8 %) a oslabene tónické iktové (4,2 %).

Z neiktových slabík prevládajú slabiky atonické a atónové, ktoré sú najčastejšie naprieč všetkými slabikami porovnávaného modelu (44,6 %). Po nich nasledujú slabiky plne tónické neiktové (7,9 %) a oslabene tónické neiktové (7,1 %).

Plne tónické slabiky zastupujú menej ako polovicu všetkých slabík, a síce 44,1 %.



Graf č. 11 Prominencia slabík porovnáwanej vzorky

⁶⁵ Vid' 1.3 Iktovosť.

4.2.2 Jednoslabičné segmenty

V analyzovanej vzorke porovnávanej nahrávky bol identifikovaný iba jeden jednoslabičný segment:

1. jednoiktový

/wánr/ (1_2_2)

Jednoslabičné segmenty sú vždy jednoiktové a nenesú preto žiaden rytmický priebeh.

4.2.3 Dvojslabičné segmenty

Dvojslabičné segmenty sa, rovnako ako jednoslabičné, môžu vyskytovať iba v jednoiktovom tvare, avšak na rozdiel od jednoslabičných segmentov už sú nositeľmi rytmického priebehu. Na úrovni dvojslabičných segmentov preto môžeme pozorovať výskyt sledov ascendentných a descendentných ako celok:

1. jednoiktový ascendentný ako celok

/yìzhí/ (15_3_1)

/dou-shuo¹/ (19_2_1)

/jiu-shuo¹/ (20_3_1)

2. jednoiktový descendentný ako celok

/kànjian/ (2_2_1)

/zhēnd/ (10_1_2)

/zhè-yang/ (15_1_1)

Ako vidíme v tabuľke č. 12, pomer výskytu ascendentných a descendentných sledov nebol vyrovnaný. Zatiaľ čo vzostupné sledy reprezentovali iba menej ako jednu pätinu dvojslabičných segmentov, sledy zostupné zastávali viac ako zvyšné štyri pätiny (83,3 %) a v rámci tejto skupiny preto značne prevažovali.

Rytmický sled	Absolútne zastúpenie	Relatívne zastúpenie
jednoiktový ascendentný ako celok	3	16,7%
jednoiktový descendentný ako celok	15	83,3%
Spolu	18	100,0%

Tabuľka č. 12 Dvojslabičné segmenty porovnávanej vzorky

4.2.4 Trojslabičné segmenty

V segmentoch tvorených troma slabikami nájdeme okrem jednoiktových sledov aj dvojiktovú rytmickú štruktúru:

1. jednoiktový ascendentný ako celok

/y₁-tai₂-t_{óu}/ (20_1_2)

2. jednoiktový descendentný s predklonkou

/ta-lāzh/ (14_2_1)

/lǎo-hóuz/ (8_1_1)

/dà-hóuz/ (5_1_1)

3. dvojiktový akronymický ako celok

/jǐng-pangbiānr/ (11_1_1)

/lāobuzhao²/ (18_1_3)

V trojslabičných segmentoch prevažoval jednoiktový sled descendentný ako celok, ktorý sa objavil presne v troch štvrtinách všetkých segmentov tvorených troma slabikami (75 %), ako môžeme vidieť v tabuľke č. 13. Za marginálny môžeme označiť výskyt dvojiktovej akronymickej štruktúry (2 prípady) a jednoiktového ascendentného sledu (1 prípad).

Rytmický sled	Absolútne zastúpenie	Relatívne zastúpenie
jednoiktový ascendentný ako celok	1	8,3%
jednoiktový descendentný s predklonkou	9	75,0%
dvojiktový akronymický ako celok	2	16,7%
Spolu	12	100,0%

Tabuľka č. 13 Trojslabičné segmenty porovnávané vzorky

4.2.5 Štvorslabičné segmenty

Rytmické štruktúry štvorslabičných segmentov porovnávané vzorky boli identifikované v jednoiktovom a dvojiktovom tvare:

1. jednoiktový descendentný ako celok

/pǎoguolai-la/ (8_1_2)

/jiēqilai-la/ (15_2_3)

/zài-tian¹shang-ne/ (21_2_2)

2. jednoiktový descendentný s predklonkou

/yě-dào⁴gua⁴zh/ (14_1_2)

/hao-xiē-shihour/ (18_1_2)

/yi-shēn-bó²z/ (2_1_2)

3. dvojiktový descendentný + descendentný

/kànjian-yuè⁴liang/ (20_2_1)

/hái-zai-tiānshang/ (20_2_2)

/bú-yong-lāo-la/ (21_1_1)

5. dvojiktový akronymický ako celok

/ta¹men-yi-kàn/ (9_1_1)

/juéde-hěn-lèi/ (19_1_2)

/yǒu-ke-dà-shù/ (11_1_2)

6. dvojiktový akronymický s predklonkou

/zai-jǐng-pángbiānr/ (1_2_1)

6. dvojiktový akronymický s príklonkou

/lián-yi-gè-d/ (15_2_2)

/guàbuzhù-la/ (19_4_1)

Ako ukazuje tabuľka č. 14 uvedená na nasledujúcej strane, v štvorslabičných segmentoch nie je možné určiť žiaden prevažujúci typ rytmického priebehu. Identifikované sledy boli príliš nesúrodé, a okrem dvojiktovej akronymickej štruktúry s predklonkou, ktorá sa vyskytla iba raz, sa všetky ostatné rytmické štruktúry vyskytli rovnako, v 3 prípadoch.

Rytmický sled	Absolútne zastúpenie	Relatívne zastúpenie
jednoiktový descendentný ako celok	3	18,8%
jednoiktový descendentný s predklonkou	3	18,8%
dvojiktový descendentný + descendentný	3	18,8%
dvojiktový akronymický ako celok	3	18,8%
dvojiktový akronymický s predklonkou	1	6,3%
dvojiktový akronymický s príklonkou	3	18,8%
Spolu	16	100,0%

Tabuľka č. 14 Štvorslabičné segmenty porovnávanej vzorky

4.2.6 Päťslabičné segmenty

Päťslabičné segmenty porovnávanej vzorky sa vyznačovali jednoiktovými a dvojiktovými rytmiickými priebehmi:

1. jednoiktový descendentný s predklonkou

/yě-**jiào**qilai-la/ (5_2_1)

2. dvojiktový descendentný + descendentný

/ta¹-wang-jǐng-li₃tou/ (2_1_1)

/jiēdao-jǐng-litou/ (15_3_2)

/guà-zai-**zuì**-xiàbianr/ (16_1_2)

3. dvojiktový akronymický ako celok

/pǎoguolai-yi-kàn/ (5_1_2)

4. dvojiktový akronymický s predklonkou

/dà-hóuz-d-**jiǎo**/ (13_1_2)

Ako vidíme v nasledujúcej tabuľke č. 15, najtypickejšou pre päťslabičné segmenty porovnávanej vzorky bola dvojiktová kombinácia dvoch descendentných sledov, ktorá sa vyskytla vo viac ako polovici prípadov. Zvyšné viac ako dve pätiny segmentov boli v rovnakom pomere tvorené jednoiktovým zostupným sledom s predklonkou, dvojiktovou akronymickou štruktúrou a dvojiktovou akronymickou štruktúrou s predklonkou.

Rytmický sled	Absolútne zastúpenie	Relatívne zastúpenie
jednoiktový descendentný s predklonkou	1	14,3%
dvojiktový descendentný + descendentný	4	57,1%
dvojiktový akronymický ako celok	1	14,3%
dvojiktový akronymický s predklonkou	1	14,3%
Spolu	7	100,0%

Tabuľka č. 15 Päťslabičné segmenty porovnávané vzorky

4.2.7 Šesťslabičné segmenty

Segmenty tvorené šiestimi slabikami boli identifikované v jednoiktovom, dvojiktovom a trojiktovom tvare:

1. jednoiktový descendentný s predklonkou

/jiu-dà-jiàoqilai-la/ (2_3_1)

2. dvojiktový descendentný + descendentný

/diao⁴-zai-jǐng-litou-la/ (7_1_2)

/yě-dou¹-jiàoqilai-la/ (9_2_1)

/kuài-ba₃-ta-lāochulai/ (10_2_1)

2. dvojiktový akronymický + descendentný

/shēn-shou₃-qu-lāo-yuèliang/ (17_1_2)

2. trojiktový descendentný + descendentný + descendentný

/lǐtou-you³-ge-yuèliang/ (2_2_2)

Nasledujúca tabuľka č. 16 naznačuje, že so zastúpením vyšším ako 2/3 je najproduktívnejším rytmičným priebehom opäť dvojiktová kombinácia dvoch descendentných sledov. Zvyšnú tretinu tvorili v identickom pomere rytmičné sledy: jednoiktový descendentný s predklonkou, dvojiktová kombinácia akronymickej štruktúry a descendentného sledu, a trojiktová kombinácia troch descendentných sledov.

Rytmický sled	Absolútne zastúpenie	Relatívne zastúpenie
jednoiktový descendentný s predklonkou	1	11,1%
dvojiktový descendentný + descendentný	6	66,7%
dvojiktový akronymický + descendentný	1	11,1%
trojiktový descendentný + descendentný	1	11,1%
Spolu	9	100,0%

Tabuľka č. 16 Šestislabičné segmenty porovnávané vzorky

4.2.8 Sedemslabičné segmenty

Najdlhšie segmenty porovnávané vzorky boli tvorené siedmymi slabikami a vyskytovali sa vždy v dvojiktovom tvare:

1. dvojiktový ascendentný s príklonkou + descendentný s predklonkou

/dàoquà-zai-dà-**shù**shang**tou**/ (12_1_2)

2. dvojiktový descendentný + akronymický

/l**ing**-yi-ge-hóuz-d-jiao³/ (14_2_2)

Vzhľadom na nízky počet výskytov sedemslabičných segmentov nie je v tejto skupine možné určiť prevládajúci typ rytmického priebehu. V tabuľke č. 17 môžeme vidieť, že v rovnakom zastúpení (1 výskyt) boli identifikované dva dvojiktové priebehy: kombinácia ascendentného sledu s príklonkou s descendentným sledom s predklonkou, a kombinácia descendentného sledu s akronymickou štruktúrou.

Rytmický sled	Absolútne zastúpenie	Relatívne zastúpenie
dvojiktový ascendentný s príklonkou + descendentný s predklonkou	1	50,0%
dvojiktový descendentný + akronymický	1	50,0%
Spolu	2	100,0%

Tabuľka č. 17 Sedemslabičné segmenty porovnávané vzorky

V závere je vhodné pozorované charakteristiky priebehov rytmických sledov na úrovni segmentov v porovnávané vzorke zhrnúť a zovšeobecniť. Absolútne a relatívne zastúpenia všetkých identifikovaných priebehov nájdeme v tabuľke č. 18⁶⁶.

Najcharakteristickejšim bol pre porovnávanú vzorku jednoiktový descendentný priebeh, ktorý zastupoval takmer celú polovicu všetkých segmentov. Okrem

⁶⁶ Z dôvodu zachovania prehľadnosti neboli príklonky a predklonky v tomto záverečnom prehľade zohľadnené.

jednoiktového descendentného sledu bol markantný aj výskyt sledu dvojiktového vytvoreného z kombinácie dvoch descendentných sledov (20 %) a sledu dvojiktového akronymického (16,9 %). V relatívne nízkom zastúpení bol identifikovaný sled ascendentný (6,2 %). Výskyt zvyšných rytmických priebehov bol príliš nízky (menej ako 2 %) a k nahliadnutiu je k dispozícii v nasledujúcej tabuľke.

Rytmický sled	Absolútne zastúpenie	Relatívne zastúpenie
jednoiktová nepárna slabika bez priebehu	1	1,5%
jednoiktový ascendentný	4	6,2%
jednoiktový descendentný	32	49,2%
dvojiktový ascendentný + descendentný	1	1,5%
dvojiktový descendentný + descendentný	13	20,0%
dvojiktový descendentný + akronymický	1	1,5%
dvojiktový akronymický	11	16,9%
dvojiktový akronymický + descendentný	1	1,5%
trojiktový descendentný + descendentný + descendentný	1	1,5%
Spolu	65	100,0%

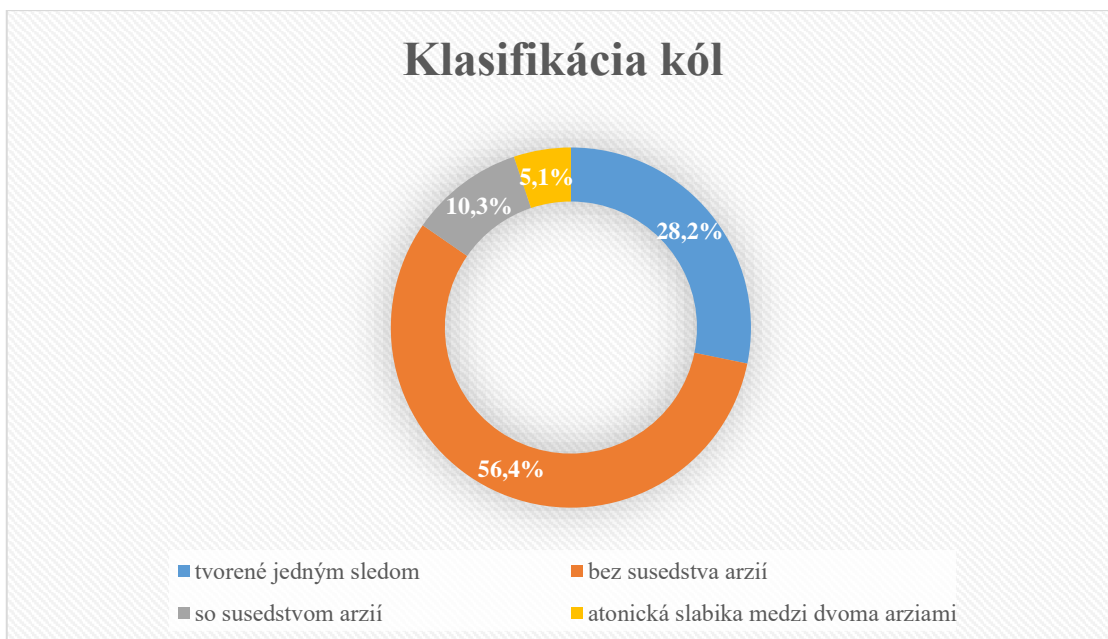
Tabuľka č. 18 Celkové zastúpenie rytmických sledov porovnávanej vzorky

4.3 Rytmické členenie kól

Dáta získané z analýzy rytmických priebehov segmentov využijeme na definovanie charakteru rytmických priebehov na úrovni vetných kól.

Postupovať budeme rovnako ako pri analýze rytmického členenia kól vytvoreného modelu v predchádzajúcej kapitole, tzn. kóla budú najskôr rozčlenené na kóla tvorené jedným sledom a kóla tvorené viacerými sledmi. Druhý typ kól bude v nasledujúcom kroku, v závislosti na vzájomnej pozícii arzií, rozčlenený na tri typy: bez priameho susedstva arzií, s priamym susedstvom arzií, a s atonickou slabikou vloženou medzi dve arzie. Popísaná bude tiež preferovaná pozícia rytmických sledov v rámci kóla. Výsledky budú doplnené príkladmi a zhrnuté do tabuliek alebo grafov.

Na základe grafu č. 12 môžeme tvrdiť, že kóla tvorené 2 a viac sledmi (71,8 %) značne prevažujú nad kólami tvorenými jedným sledom, ktoré zastávajú iba o trochu viac ako jednu štvrtinu všetkých kól (28,2 %). Z kategórie kól tvorených 2 a viac sledmi bol najproduktívnejší typ, pri ktorom nedochádza k stretu arzií (56,4 %). Po ňom nasledovali kóla s priamym susedstvom arzií (10,3 %) a nakoniec najnižšie zastúpenia mali kóla s atonickou slabikou vloženou medzi dve arzie (5,1 %).

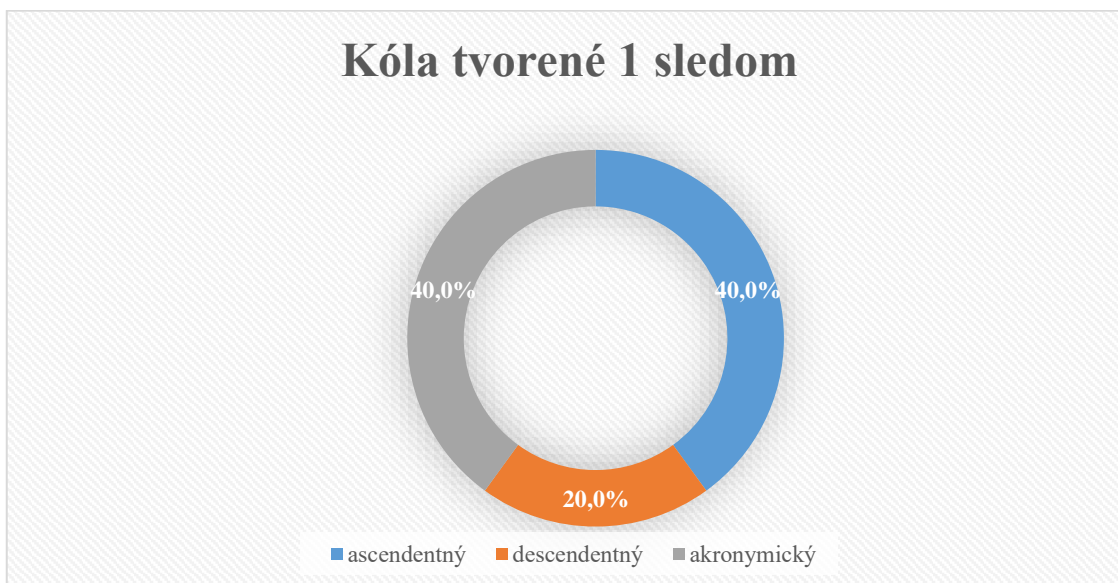


Graf č. 12 Klasifikácia kól porovnáwanej vzorky

4.3.1 Kóla tvorené jedným sledom

Ako už bolo spomenuté v analýze rytmického členenia kól vytvoreného modelu⁶⁷, kóla tvorené jedným sledom môžu pozostávať z jednoiktového sledu ascendentného, descendentného a akronymického, prípadne jednej nepárnej slabiky.

Kóla zložené z 1 sledu v porovnáwanej vzorke obsahli prvé tri z vyššie zmienených možností. Ako vidíme v grafe č. 13, prevažujúci bol sled ascendentný a akronymická štruktúra, ktoré obe zastávali dve pätiny prípadov. Zvyšná jedna pätina pozostávala z kól tvorených jedným sledom descendentným.



Graf č. 13 Kóla porovnáwanej vzorky tvorené 1 sledom

⁶⁷ Vid' 3.3.1 Kóla tvorené jedným sledom.

4.3.2 Kóla bez priameho susedstva dvoch arzií

Pre kóla bez priameho susedstva arzií porovnávanej vzorky boli typické nasledovné rytmické priebehy:

1. opakovanie descendentného sledu

- °\\ /lǎo-hóuz pǎoguolai-la/ (8_1)
\\ \\ /kànjian-yuèliang hái-zai-tiānshang/ (20_1)
\\ \\ /yuèliang zhēndiào-zai-jǐng-litou-la/ (10_1)

2. akronymické modely

2.1 jednoduchá akronymická štruktúra

- °∨ /lǎo-hóuz yī-tai₂-tóu/ (19_1)
∨ /ta¹men-yī-kàn/ (9_1)

2.2 akronymická štruktúra s opakujúcim sa descendentným sledom

- °∨∨ /lǎole hao-xiē-shihour lǎobuzhao²/ (18_1)
°\\ \\ /ta-lāzh lìng-yī-ge-hóuz-d-jiao³/ (14_2)
°∨ /dà-hóuz pǎoguolai-yī-kàn/ (5_1)

Typ kól bez susedstva arzií bol najkoncentrovanejší v dvojsegmentálnych kólach. Tabuľka č. 19 nám ukazuje, aké rytmické priebehy boli v tomto type identifikované a aké bolo ich relatívne a absolútne zastúpenie. Najproduktívnejšími boli kóla tvorené opakujúcimi sa zostupnými sledmi, tvoriace viac ako 2/3 prípadov. Zvyšná necelá tretina bola rozdelená medzi kóla tvorené akronymickou štruktúrou s opakujúcimi sa descendentnými sledmi (22,7 %) a kóla tvorené jednoduchou akronymickou štruktúrou (9,1 %).

Rytmický priebeh	Absolútne zastúpenie	Relatívne zastúpenie
opakujúce sa DE sledy	15	68,2%
jednoduchá AKR štruktúra	2	9,1%
AKR s opakujúcim sa DE sledom	5	22,7%
Spolu	22	100,0%

Tabuľka č. 19 Kóla porovnávanej vzorky bez priameho susedstva dvoch arzií

4.3.3 Kóla s priamym susedstvom dvoch arzií

Susedstvo arzií v rámci kóla bolo v porovnávanvej vzorke identifikované na hranici nasledujúcich sledov:

1. ascendentný sled + descendentný sled

/+\\ /yìzhí jiēdao jǐng-lítou/ (15_3)

2. akronymický sled + descendentný sled

°\\| /xiǎo-hóuz shēn-shou₃-qu-lāo-yuèliang/ (12_1)

3. akronymický sled + akronymický sled

V+V /jǐng-pangbiānr yǒu-ke-dà-shù/ (11_1)

3. akronymický sled + nepárna iktová slabika

°V+| /zai-jǐng-pángbiānr wánr/ (1_2)

Celkové zastúpenie kól s priamym susedstvom arzií bolo pomerne nízke, odráža sa to aj na pestrosti a početnosti jednotlivých rytmických priebehov, vid' tabuľka č. 20. Stret dvoch arzií bol identifikovaný na hranici sledov vzostupného a zostupného, akronymického a zostupného, dvoch akronymických štruktúr a na hranici akronymickej štruktúry s nepárnou iktovou slabikou. Všetky štyri priebehy sa vyskytli rovnako, iba v jednom prípade.

Rytmický priebeh	Absolútne zastúpenie	Relatívne zastúpenie
AS + DE sled	1	25,0%
AKR + DE sled	1	25,0%
AKR + AKR sled	1	25,0%
AKR + nepárna slabika	1	25,0%
Spolu	4	100,0%

Tabuľka č. 20 Kóla porovnávanvej vzorky s priamym susedstvom dvoch arzií

4.3.4 Kóla s atonickou slabikou vloženou medzi dvoma arziami

V porovnávanvej vzorke bola atonická slabika pozorovaná medzi dvoma arziami na hraniciach sledov:

1. akronymický sled a descendentný sled

°V°\ /lǎo-hóuz dàoguà-zai-dà-shùshang_{tou}/ (12_1)

V type kól s atonickou slabikou vloženou medzi dve arzie sa daná slabika nachádzala vždy medzi akronymickou štruktúrou a descendentným sledom. Ako však vidíme v tabuľke č. 21, tento typ sa vyskytol iba v dvoch kólach z celkového počtu 39, tento výskyt preto hodnotíme ako marginálny.

Rytmický priebeh	Absolútne zastúpenie	Relatívne zastúpenie
AKR a DE	2	100,0%
Spolu	2	100,0%

Tabuľka č. 21 Kóla porovnávané vzorky s atonickou slabikou vloženou medzi dvoma arziami

4.3.5 Pozícia sledov

Poslednou charakteristikou, ktorú vieme zo získaných údajov popísať, je preferovaná pozícia segmentov v rámci kóla. Ako už bolo naznačené v predchádzajúcich kapitolách tejto práce, pozície rozlišujeme dve – na začiatku alebo vo vnútri kóla a na konci kóla. Pokiaľ je kólon zložený iba z jedného sledu, pozícia tohto sledu je hodnotená ako pozícia na konci⁶⁸.

Preferované pozície sledov porovnávané vzorky môžeme na základe tabuľky č. 22 vyhodnotiť nasledovne: descendentné sledy sa v takmer 2/3 prípadov vyskytovali v pozícii na konci segmentu, čo úplne neodpovedá definícii p. prof. Švarného⁶⁹. Rovnako ako u preferovanej pozície zostupných sledov vytvoreného modelu môže byť tento výsledok skreslený veľkým počtom jednosegmentálnych kól, ktorých pozícia je chápaná ako pozícia na konci kóla. Preferovaná pozícia ascendentných segmentov v zhode s poznatkami p. profesora bola⁷⁰ a úplná väčšina vzostupných sledov preferovala koncovú pozíciu (91,7 %). Posledný sled, akronymický, sa vyskytoval rovnomerne aj v pozícií na začiatku alebo v strede kóla aj v pozícií na konci kóla.

Rytmický sled	Na začiatku alebo vo vnútri kóla	Na konci kóla	Spolu
ascendentný	1 (8,3%)	11 (91,7%)	12 (100%)
descendentný	24 (33,8%)	47 (66,2%)	71 (100%)
akronymický	3 (50,0%)	3 (50,0%)	6 (100%)

Tabuľka č. 22 Pozícia sledov porovnávané vzorky v rámci kóla

⁶⁸ Viď 1.6.2 Rytmický priebeh kól.

⁶⁹ Ibid.

⁷⁰ Ibid.

5. Porovnanie vytvoreného modelu s porovnávanou vzorkou

Zovšeobecnené výsledky prozodickej analýzy vytvoreného prozodického modelu spolu so zovšeobecnenými výsledkami prozodickej analýzy porovnáanej vzorky vychádzajúcej z nahrávky p. prof. Švarného budú v tejto kapitole podrobené dôkladnému porovnaniu.

Pri porovnávaní bude nasledovaná štruktúra, do ktorej boli usporiadané obe zmienené analýzy, a teda postupne budú charakterizované podobnosti a odlišnosti z hľadiska lineárneho členia, výskytu rytmických sledov na úrovni segmentov, a vytvárania ucelenejších rytmických priebehov na úrovni vetných kól.

5.1 Lineárne členenie

Ako prvé bude zrovnávané lineárne členenie oboch vzoriek, tj. dĺžka a zloženie viet, kól a segmentov. V závere podkapitoly budú tieto dĺžky za pomoci tabuľky porovnané v tvare priemerných hodnôt.

Informanti, ktorí nahrávali nahrávky využité pri tvorbe prozodického modelu, a informantka, ktorá zhotovila nahrávku v spolupráci s p. prof. Švarným, realizovali celý text s minimálnymi odchýlkami. Počet viet (21) bol v oboch prípadoch rovnaký, údaje sa začali mierne rozchádzať až pri prepočte kól a segmentov.

Vety vytvoreného modelu dosahovali dĺžku 1 až 3 kóla, pričom najmarkantnejšími boli vety tvorené jedným kólom (47,6 %), po ktorých nasledovali vety tvorené dvoma kólami (33,3 %). Naopak vety porovnáanej vzorky boli zložené z 1 až 4 kól, a vety tvorené jedným a dvoma kólami boli v približne opačnom pomere – 2 kóla (42,9 %), 1 kólom (38,1 %).

Dĺžka kól bola v oboch analýzach vyjadrovaná v dvoch tvaroch: na základe počtu segmentov a na základe počtu slabík. Na základe počtu segmentov boli kóla vytvoreného modelu tvorené 1 až 4 segmentmi s najväčším zastúpením dvojsegmentálnych kól (45,5 %). Kóla porovnáanej vzorky obsahovali 1 až 3 segmenty a viac ako polovica prípadov bola, rovnako, dvojsegmentálna (51,3 %), avšak zastúpenie jednosegmentálnych kól bolo, na rozdiel od vytvoreného modelu, tiež pomerne významné (41 %). Na základe počtu slabík v jednom kóle dosahovali obe porovnávané vzorky vo všeobecnosti tiež podobné hodnoty – v oboch porovnávaných vzorkách boli kóla tvorené 2 až 10 slabikami, pričom najpočetnejšie boli osemslabičné kóla, a najväčší rozdiel

spočíva v zastúpení kól dvojslabičných. Zatiaľ čo vytvorený model obsahoval iba 9,1 % dvojslabičných kól, porovnávaná vzorka p. profesora obsahovala týchto kól až takmer 18 %, čo je raz toľko. Tieto skutočnosti sa priamo premietajú do rozdielu priemerných dĺžok kól oboch porovnávaných vzoriek.

Dĺžku segmentov je zdanlivo možné označiť za takmer rovnakú. Segmenty vytvoreného modelu sú tvorené 2 až 6 slabikami a segmenty porovnáwanej vzorky sú tvorené 1 až 7 slabikami, pričom v oboch prípadoch je najdominantnejším typom dvojslabičný segment (32,3 % a 27,7 %), po ktorom nasledujú segmenty štvorslabičné (31,2 % a 24,6 %) a trojslabičné (28 % a 18,5 %). Pri podrobnom porovnaní bolo zistené, že zatiaľ čo vo vytvorenom modeli po troch spomenutých dĺžkach segmentov ďalší významný typ absentuje, v porovnáwanej vzorke nájdeme aj nezanedbateľné percento šesťslabičných segmentov (13,8 %), a tento fakt je pri interpretácii priemernej dĺžky segmentu potrebné zohľadniť.

Podobnosti a rozdielnosti v lineárnom členení vytvoreného modelu a porovnáwanej vzorky je na základe priemerných hodnôt oboch vzoriek uvedených v tabuľke č. 23 možné zhrnúť nasledovne: obe vzorky obsahovali rovnaký počet viet, pričom ich priemerná dĺžka v oboch vzorkách dosahovala hodnotu 1,71 a 1,86 kóla – vety porovnáwanej vzorky boli zhruba o jednu desatinu dlhšie, čo bolo zapríčinené väčším počtom viet tvorených dvoma kólami, tento rozdiel je ale pomerne malý a dĺžku viet z hľadiska počtu kól môžeme vyhodnotiť ako podobnú.

Rozdiel však pozorujeme hneď na oboch nasledujúcich úrovniach – priemernej dĺžke kóla a segmentu. Jeden kólon porovnáwanej vzorky je rozdelený na menší počet segmentov (1,7 oproti 2,11) a obsahuje menej slabík (6,15 oproti 7,93) ako kólon vytvoreného modelu. Keďže je kólon porovnáwanej vzorky pri identickom počte viet tvorený menším počtom segmentov ako vytvorený model, následne pozorovaný nárast priemerného počtu slabík v segmente (3,7) porovnáwanej vzorky oproti vytvorenému modelu (3,18) môžeme vyhodnotiť ako pochopiteľný.

	Vytvorený model	Porovnávaná vzorka
Dĺžka vety v kólach	1,71	1,86
Dĺžka kóla v segmentoch	2,11	1,7
Dĺžka kóla v slabikách	7,93	6,15
Dĺžka segmentu v slabikách	3,18	3,7

Tabuľka č. 23 Porovnanie priemerných dĺžok viet, kól a segmentov

5.2 Rytmické členenie segmentov

Porovnanie rytmického členenia segmentov vytvoreného modelu a porovnáwanej vzorky bude zahájené zrovnáním prominencie slabík, za ktorým bude nasledovať porovnanie celkového zastúpenia identifikovaných rytmických sledov.

Z hľadiska porovnania výskytu slabík rozdelených do siedmich kategórií podľa príslušnej prominencie je možné na základe tabuľky č. 24 zhodnotiť, že v oboch porovnávaných vzorkách bolo zastúpených všetkých sedem kategórií, a ich vzájomný pomer bol v rámci každej vzorky veľmi podobný. Najvýznamnejší rozdiel bol pozorovaný na percentuálnom zastúpení zvýraznene tónických iktových slabík, ktorých výskyt vo vytvorenom modeli (5,4 %) oproti porovnáwanej vzorke (10,8 %) poklesol až o celú polovicu. Na úkor poklesu počtu zvýraznene tónických iktových slabík bol následne vo vytvorenom modeli (33,1 %) oproti porovnáwanej vzorke (25,4 %) pozorovaný nárast slabík plne tónických iktových.

Za pozornosť tiež stojí mierny nárast relatívnej početnosti oslabene tónických neiktových slabík vytvoreného modelu (11,1 %) oproti porovnáwanej vzorke (7,1 %). Tento nárast je možné interpretovať ako dôsledok dvoch poklesov – poklesu zastúpenia oslabene tónických iktových slabík a mierneho poklesu zastúpenia atonických a atónových slabík.

Počet plne tónických slabík vytvoreného modelu (46,6 %) sa oproti porovnáwanej vzorke mierne zvýšil (44,1 %).

Stupeň prominencie slabiky	Vytvorený model	Porovnávaná vzorka
ZT - zvýraznene tónická iktová	5,4%	10,8%
PI - plne tónická iktová	33,1%	25,4%
PN - plne tónická neiktová	8,1%	7,9%
OI - oslabene tónická iktová	3,4%	4,2%
ON - oslabene tónická neiktová	11,1%	7,1%
AT - atonická/atónová	38,9%	44,6%
Spolu	100,0%	100,0%

Tabuľka č. 24 Porovnanie prominencie slabík

Po zhodnotení prominencie slabík oboch porovnávaných vzoriek je dôležité zhodnotiť podobnosti a rozdiely medzi výskytom rytmických sledov, ktoré boli na základe týchto slabík na úrovni segmentov v porovnávaných analýzach identifikované.

Ako naznačuje tabuľka č. 25, porovnávaná vzorka bola oproti vytvorenému modelu z hľadiska rozmanitosti identifikovaných sledov bohatšia. Rytmické sledy, o ktoré bola porovnávaná vzorka pestrejšia, sa však vyznačovali iba veľmi malým výskytom (do 1,5 %) a tento fakt preto nie je pre naše porovnanie významný. Významným však zostáva, je vysoká miera podobnosti najproduktívnejších sledov vytvoreného modelu a porovnáwanej vzorky – v oboch prípadoch je možné spomedzi všetkých sledov vybrať tri hlavné, ktoré v oboch porovnávaných vzorkách zastupujú viac ako 85 % všetkých prípadov. Konkrétne sa jedná o sledy: jednoiktový descendentný ako celok, dvojiktovú kombináciu dvoch descendentných sledov a dvojiktovú akronymickú štruktúru. Z týchto troch rytmických priebehov, ktoré v oboch porovnávaných vzorkách dominujú, sa zhoduje dokonca aj rytmický priebeh s absolútnou prevahou výskytov – vo vytvorenom modeli aj v porovnáwanej vzorke je najprominentnejší jednoiktový sled descendentný ako celok (60,2 % a 49,2 %).

Rytmický sled	Vytvorený model	Porovnávaná vzorka
jednoiktová nepárna slabika bez priebehu	-	1,5%
jednoiktový ascendentný ako celok	7,5%	6,2%
jednoiktový descendentný ako celok	60,2%	49,2%
dvojiktový ascendentný + descendentný	2,2%	1,5%
dvojiktový descendentný + descendentný	12,9%	20,0%
dvojiktový descendentný + akronymický	-	1,5%
dvojiktový akronymický ako celok	16,1%	16,9%
dvojiktový akronymický + ascendentný	1,1%	-
dvojiktový akronymický + descendentný	-	1,5%
trojiktový descendentný + descendentný + descendentný	-	1,5%
Spolu	100,0%	100,0%

Tabuľka č. 25 Porovnanie celkového zastúpenia rytmických sledov na úrovni segmentov

V závere môžeme zrovnanie rytmického členenia na úrovni segmentov zhrnúť. Najzásadnejšou identifikovanou odlišnosťou v rámci porovnania prominencie slabík bol úbytok zvýraznene tónických iktových slabík na úkor zvýšenia počtu plne tónických iktových slabík vytvoreného modelu oproti porovnáwanej vzorke. Relatívne zastúpenie plne tónických slabík vytvoreného modelu oproti porovnáwanej vzorke nekleslo, naopak, bolo ešte o približne 2 % vyššie. Porovnanie výskytu jednotlivých rytmických sledov neukázalo žiadnu zásadnú odlišnosť a výsledky boli v oboch vzorkách porovnateľné.

5.3 Rytmické členenie kól

Ďalej bude do zrovnania zahrnuté rytmičné členenie kól vytvoreného modelu a porovnáwanej vzorky. Najskôr bude porovnaná kategorizácia kól na základe počtu sledov a vzájomnej pozície arzií, neskôr budú porovnané najcharakteristickejšie rytmičné priebehy na úrovni každého typu kóla, a v závere bude zhodnotená preferovaná pozícia sledov v rámci kóla.

Na úrovni kól vytvoreného modelu aj porovnáwanej vzorky boli identifikované všetky štyri typy rytmičných priebehov: priebeh tvorený jedným sledom, priebeh tvorený viacerými sledmi bez susedstva arzií, priebeh tvorený viacerými sledmi so susedstvom arzií a nakoniec priebeh s viacerými sledmi s atonickou slabikou vloženou medzi dve arzie. Zastúpenie týchto typov vo vytvorenom modeli a v porovnáwanej vzorke je prehľadne zhrnuté v tabuľke č. 26, z ktorej jednoznačne vyplýva, že v oboch prípadoch bol najproduktívnejší totožný typ kóla – kólon tvorený viacerými sledmi bez susedstva arzií (65,9 % a 56,4 %). Obrátený bol pomer druhého a tretieho najvýznamnejšieho typu kól – zatiaľ čo v porovnáwanej vzorke bol kólon tvorený jedným sledom (28,2 %) početnejší ako kólon so susedstvom arzií (10,3 %), vo vytvorenom modeli kólon tvorený viacerými sledmi s priamym susedstvom arzií (18,2 %) mierne dominoval nad kólom tvoreným jedným sledom (13,6 %). Tento obrat pomeru mohol byť zapríčinený menším priemerným počtom segmentov na jeden kólon.

Rytmičný priebeh	Vytvorený model	Porovnávaná vzorka
tvorený jedným sledom	13,60%	28,2%
bez susedstva arzií	65,90%	56,4%
so susedstvom arzií	18,20%	10,3%
atonická slabika medzi dvoma arziami	2,30%	5,1%
Spolu	100,00%	100,0%

Tabuľka č. 26 Porovnanie klasifikácie kól

V rámci rytmičného členenia kól budú ďalej porovnané rytmičné priebehy najtypickejšie pre každý vyššie uvedený typ kóla vo vytvorenom modeli aj v porovnáwanej vzorke.

Kóla tvorené jedným sledom vytvoreného modelu boli rovnomerne rozdelené medzi sledy ascendentné (50 %) a descendentné (50%), zatiaľ čo kóla tvorené jedným sledom porovnáwanej vzorky obsahovali aj akronymickú štruktúru (20 %); zostupný a vzostupný sled boli však stále v prevahe a vyváženom pomere (40 % a 40 %).

Porovnávané vzorky boli podobné aj u kól tvorených viacerými sledmi bez susedstva arzií – v oboch porovnávaných vzorkách boli viac ako dve tretiny prípadov zastúpené opakujúcimi sa descendentnými sledmi. Porovnaním kól s priamym susedstvom arzií bolo zistené, že vo vytvorenom modeli sa stret arzií nachádzal v 50 % prípadov na hranici sledov ascendentného a descendentného, zatiaľ čo v porovnáwanej vzorke vzhľadom na nedostatok výskytov nebolo možné dominujúcu kombináciu sledov určiť. Výskyt typu kóla s atonickou slabikou vloženou medzi dve arzie bol v oboch porovnávaných vzorkách príliš nízky a nebude preto v tomto porovnaní ďalej popísaný.

Po porovnaní výskytu rôznych rytmických priebehov bude ďalej zhodnotená preferovaná pozícia⁷¹ rytmických sledov v rámci jedného kóla.

Z tabuľky č. 27 je možné odvodiť nasledovné: ascendentné segmenty oboch vzoriek preferovali rovnako pozíciu na konci segmentu, čo odpovedá popisu p. prof. Švarného. Descendentné segmenty by mali podľa popisu p. prof. Švarného vykazovať preferenciu voči pozícii na začiatku alebo vo vnútri kóla; táto tendencia sa v prípade vytvoreného modelu ukázala ako pomerne slabá (53,9 %), a v prípade porovnáwanej vzorky nebola pozorovaná vôbec (33,8 %). Táto odchýlka môže byť zapríčinená pomerne vysokým zastúpením jednosegmentálnych kól, ktorých pozícia sa hodnotí ako pozícia na konci.⁷²

Rytmický sled	Na začiatku alebo vo vnútri kóla	Na konci kóla	Spolu
	Model / Porovnávaná vzorka	Model / Porovnávaná vzorka	
Ascendentný	17,6% / 8,3%	82,4% / 91,7%	100% / 100%
Descendentný	53,9% / 33,8%	46,1% / 66,2%	100% / 100%
Akronymický	44,4% / 50,0%	55,6% / 50,0%	100% / 100%

Tabuľka č. 27 Porovnanie preferovanej pozície sledov v rámci kóla

V závere môžeme zhrnúť, že vytvorený model a porovnávaná vzorka boli z hľadiska rytmického členenia kól (porovnávané boli typy kól, rytmické priebehy a preferovaná pozícia sledov) veľmi podobné, a malé množstvo identifikovaných odchýlok nebolo zásadného charakteru.

⁷¹ Vid' 1.6.2 Rytmický priebeh kól.

⁷² Ibid.

6. Diskusia

V záverečnej diskusii budú zhodnotené výsledky porovnania vytvoreného modelu a porovnáwanej vzorky v súvislosti s hypotézou formulovanou v úvode tejto práce. Naznačené budú možné príčiny súladu alebo nesúladu zhodnotených výsledkov práce s danou hypotézou.

Hypotéza v úvode práce predpokladala úbytok plne tónových slabík na úkor zvýšenia priemerného počtu slabík v segmentoch a zníženia priemerného počtu segmentov v kólach. Výsledky porovnania prozodických vlastností vytvoreného modelu reprezentujúceho aktuálnu podobu pekinčiny a porovnáwanej vzorky vytvorenej na základe nahrávky p. prof. Švarného z prelomu šesdesiatych a sedemdesiatych rokov reprezentujúcej staršiu podobu pekinčiny, túto hypotézu jednoznačne nepotvrdili. Určité odchýlky naznačujúce tendenciu popísanú v hypotéze identifikované boli (napr. úbytok slabík zvýraznene tónických iktových na úkor nárastu slabík plne tónických iktových, relatívne nízke celkové zastúpenie plne tónických slabík, zvýšenie priemerného počtu slabík na jeden kólon), tieto malé náznaky však neboli pre jednoznačné potvrdenie hypotézy dostačujúce, a podobnosti medzi oboma vzorkami ich niekoľkonásobne prevyšovali.

Príčin pre tento záver môže byť hneď niekoľko. Prvú z nich môžu predstavovať neprirodzené podmienky pri nahrávaní. Respondentom, práve v snahe vyhnúť sa umelému prejavu, neboli kladené na čítanie žiadne požiadavky (napr. aby sa snažili dobre artikulovať, čítať rýchlo, pomaly, „normálne“, atď). Napriek tomu ale vedeli, že sa účastnia výskumu, a pri realizácii textu sa snažili svoju úlohu odvieť čo najlepšie; v snahe o dokonalosť prejavu mohla utrpieť práve jeho prirodzenosť. Tomuto efektu je pomerne ťažké sa vyhnúť, a jediným riešením by bolo nahrávanie respondenta bez jeho momentálneho vedomia, ale v tomto poňatí by bolo vytvoriť jeden reprezentujúci model nemožné, keďže prehovor každého respondenta, vytvorený bez predlohy, by bol po obsahovej stránke jedinečný a unikátny.

Druhou príčinou, ktorá mohla prispieť k skresleniu výsledkov tejto práce, je samotný charakter vybraného textu, ktorý bol respondentom predkladaný k čítaniu. Príbeh Opice loví mesiac je krátka poviedka pre deti, ktorú zo svojho detsva pozná v Číne väčšina obyvateľov, a patrične sa to na realizácii textu v niektorých prípadoch

odzrkadlilo – niektorí respondenti mali povieдку zafixovanú na toľko, že sa s postavami vžili, snažili sa prednášať a menili hlasy.

Za tretiu možnú príčinu nenaplnenia hypotézy je pokladaný nedostatočný časový rozostup medzi dobou vzniku starších nahrávok p. prof. Švarného a novších nahrávok vzniknutých pre účely tejto práce. Od vzniku nahrávok, s ktorými sa výsledky analýzy vytvoreného modelu porovnávali, neprešli viac ako 2 generácie (ak je 1 generácia cca 25 rokov) a vývoj jazyka smerom k oslabovaniu prozodických vlastností možno iba nie je tak rýchly a výsledky nášho porovnania ho preto nemohli v dostatočnej miere zachytiť.

V závere diskusie môžeme zhrnúť, že na základe dôkladného porovnania prozodických vlastností vyplývajúcich z analýzy vytvoreného modelu a porovnáwanej vzorky, nebola hypotéza práce o oslabovaní prozodických vlastností čínštiny jednoznačne potvrdená ani vyvrátená. Medzi faktory, ktoré mohli výskum ovplyvniť, boli zaradené neprirodzené podmienky počas nahrávania, charakter textu a dĺžka časového rozostupu medzi dobou vzniku porovnávaných nahrávok.

Záver

V úvode tejto diplomovej práce boli vytýčené dva hlavné ciele – vytvorenie a popis prozodického modelu súčasnej podoby jazykového štandardu čínštiny, tj. pekinčiny, a porovnanie prozodických vlastností vytvoreného modelu so staršou nahrávkou totožného textu za účelom zhodnotenia hypotézy o postupnom úbytku tónových vlastností čínštiny. Oba ciele boli úspešne naplnené a v závere práce si preto hlavné výsledky prozodickej analýzy vytvoreného modelu a porovnania zhrnieme.

Vytvorený model pozostával z hľadiska lineárneho členenia z 21 viet, 44 kól, 115 segmentov a 296 slabík. Dominantné boli vety tvorené jedným kólom, kóla tvorené dvoma segmentami alebo ôsmymi slabikami, a segmenty tvorené tromi slabikami. Priemerná dĺžka vety bola pritom 1,71 kóla, priemerná dĺžka kóla bola 2,11 segmentov alebo 7,93 slabík a priemerná dĺžka segmentu bola 3,18 slabiky.

Z hľadiska rytmického členenia bol vytvorený model špecifikovaný na troch hlavných úrovniach – definovaná bola prominencia jednotlivých slabík textu, následne bol charakterizovaný výskyt rytmických sledov na úrovni segmentov, a nakoniec bolo popísané spájanie jednotlivých sledov do komplexnejších rytmických vzorcov na úrovni vetných kól. Čo sa zaradenia slabík do siedmich stupňov prominencie týka, viac ako polovica slabík bola neiktová (53,4 %) a dominujúce boli slabiky atonické a atónové (38,9 %). Plne tónické slabiky (iktové aj neiktové) zastávali iba 46,6 % celkového počtu.

Rytmické sledy v segmentoch boli identifikované v jednoiktovom (67,7 %) a dvojičtovom (32,3 %) tvare, pričom takmer celé dve tretiny boli tvorené sledom jednoiktovým descendentným ako celok. Značnú prevahu descendentných sledov bolo možné pozorovať aj na základe ich výskytu v ďalšom významnom type rytmického sledu, ktorý sa v analýze vyskytol – kombinácii dvoch zostupných sledov (12,9 %). Nemenej markantný bol aj výskyt akronymickej štruktúry (16,1 %).

Na úrovni vetných kól bol pre vytvorený model bezpodmienečne najtypickejší typ kóla tvorený dvoma a viac sledmi bez priameho susedstva dvoch arzií (65,9 %), pričom v rámci tohto typu kóla bol najpočetnejší rytmický priebeh zložený z opakujúcich sa descendentných sledov (65,6 %). Ascendentné segmenty preferovali pozíciu na konci kóla, a descendentné a trojslabičné akronymické segmenty boli identifikované na začiatku alebo vo vnútri kóla a na konci kóla v približne rovnakom pomere.

Pri analýze porovnáwanej vzorky bol zvolený rovnaký postup, ako pri vyššie popísanej analýze vytvoreného modelu. Zrovnanie výsledkov týchto dvoch analýz postupne definovalo podobnosti a odlišnosti v lineárnom členení, prominencii slabík a rytmickom členení segmentov a kól. Všetky dáta zozbierané na základe oboch analýz sú vo forme protokolu analýzy zhrnuté v tabuľkách č. 28 a 29 na konci tejto kapitoly.

Zrovnanie ukázalo veľkú mieru zhody porovnávaných vzoriek s pomerne malým množstvom odlišností. Z hľadiska lineárneho členenia sa obe vzorky zhodovali v počte viet a porovnateľná tiež bola aj priemerná dĺžka jednej vety v kólach (1,7 a 1,86 kóla). Rozdielna bola najmä dĺžka kól, pričom bolo pozorované mierne zvýšenie priemerného počtu segmentov a slabík v kólach vytvoreného modelu oproti porovnáwanej vzorke.

V rámci porovnania prominencií slabík bol najvýraznejším rozdielom úbytok zvýraznene tónických slabík vytvoreného modelu na úkor zvýšenia počtu slabík plne tónických iktových. Celkové zastúpenie plne tónických slabík vytvoreného modelu sa oproti porovnáwanej vzorke neznižilo, avšak stále je možné ho považovať za pomerne nízke (46,6 %). Rytmické členenie segmentov oboch vzoriek bolo takmer rovnaké, v oboch analýzach bolo viac ako 85 % segmentov tvorených jednoiktovým descendentným sledom, kombináciou dvoch descendentných sledov, alebo akronymickou štruktúrou. Rytmické členenie kól bolo taktiež veľmi podobné a malé zaznamenané odlišnosti nemali žiaden zásadny charakter.

V závere je možné zhrnúť, že analýza vytvoreného modelu nám podáva pomerne výpovedný obraz o súčasnej podobe pekinčiny. Hypotéza práce o postupnom úbytku tónovosti, aj napriek náznakom (napr. úbytok slabík zvýraznene tónických iktových na úkor nárastu slabík plne tónických iktových, relatívne nízke celkové zastúpenie plne tónických slabík, zvýšenie priemerného počtu slabík na jeden kólon) na daných vzorkách jednoznačne podporená nebola. Samozrejme to ešte nemusí naznačovať, že úbytok prozodických vlastností v čínštine neprebíha, a táto odchýlka mohla byť spôsobená rôznymi faktormi, akými sú napríklad neprirodzené nahrávacie podmienky, charakter textu, alebo časový rozostup medzi porovnávanými vzorkami nebol dostatočne dlhý na jasné a jednoznačné prejavenie sa tohto fenoménu.

V súvislosti s možným nedostatočným časovým rozdielom medzi porovnávanými nahrávkami vzniká priestor na naväzujúci výskum, a síce na porovnanie vytvoreného modelu s nahrávkami s výrazne staršou dobou vzniku, na základe ktorého by mal vývin jazyka v čase väčší potenciál prejavíť sa.

PROTOKOL ANALÝZY			
rozsah:	Vytvorený model	počet segmentov:	93
počet viet :	30	počet sledov:	115
počet kól:	44	počet slabík:	296
PROMINENCIA SLABÍK			
zdôraznene tónické (16), plne tónické iktové (98), plne tónické neiktové (24), oslabene tónické iktové (10), oslabene tónické neiktové (33), atonické (115)			
SEGMENTY			
jednoslabičné:	jednoiktové (0)		
dvojslabičné (30):	jednoiktové (30): AS (7), DE (23)		
trojslabičné (26):	jednoiktové (21): DE (9), pDE (12) dvojiktové AKR (5)		
štvorslabičné (29):	jednoiktové (10): DE (8), pDE (2) dvojiktové (19): AS+DE (2), DE+DE (10), AKR (4), AKRe (3)		
päťslabičné (6):	jednoiktové (1): pDE (1) dvojiktové (5): DE+pDE (1), AKR (2), pAKR (1), AKR+AS (1)		
šesťslabičné (2):	jednoiktové (1): pDE (1) dvojiktové (1): DE+DE (1)		
KÓLA			
počet segmentov: jeden (10), dva (20), tri (13), štyri (1)			
tvorené jednou slabikou (0)			
tvorené jedným sledom (6): AS (3), DE (3)			
tvorené dvoma a viac sledmi (38):			
a) bez susedstva arzií (29): opakujúca sa DE (19), AKR (2), AKR s opakujúcim sa DE (7), AKR s opakujúcim sa DE i AS (1)			
b) susedstvo arzií (8; rozdelené podľa miesta, na ktorom dochádza ku kontaktu, AS aj DE sa môžu opakovať): AS a DE (4), AKR a DE (2), dve AKR za sebou (2),			
c) atonická slabika medzi dvomi arziami (1): oddeľuje dve AKR za sebou (1)			
Použité skratky:			
AKR = akronymická štruktúra; AS = ascendentný sled; DE = descendentný sled; p = proklitika (predklonka); e = enklitika (príklonka)			

Tabuľka č. 28 Protokol analýzy vytvoreného modelu

PROTOKOL ANALÝZY			
rozsah:	Porovnávaná vzorka	počet segmentov:	65
počet viet :	21	počet sledov:	89
počet kól:	39	počet slabík:	240
PROMINENCIA SLABÍK			
zdôraznene tónické (26), plne tónické iktové (61), plne tónické neiktové (19), oslabene tónické iktové (10), oslabene tónické neiktové (17), atonické (107)			
SEGMENTY			
jednoslabičné (1): jednoiktové (1)			
dvojslabičné (18): jednoiktové (18): AS (3), DE (15)			
trojslabičné (12): jednoiktové (10): AS (1), pDE (9) dvojiktové (2): AKR (2)			
štvorslabičné (16): jednoiktové (6): DE (3), pDE (3) dvojiktové (10): DE+DE (3), AKR (3), pAKR (1), AKRe (3)			
päťslabičné (7): jednoiktové (1): pDE (1) dvojiktové (6): DE+DE (4), AKR (1), pAKR (1)			
šesťslabičné (9): jednoiktové (1): pDE (1) dvojiktové (7): DE+DE (6), AKR+DE (1) trojiktové (1): DE+DE+DE (1)			
sedemslabičné (2): dvojiktové (2): Ase+pDE (1), DE+AKR (1)			
KÓLA			
počet segmentov: jeden (16), dva (20), tri (3)			
tvorené jednou slabikou (0)			
tvorené jedným sledom (11): AS (2), DE (1), AKR (2)			
tvorené dvoma a viac sledmi (28):			
a) bez susedstva arzií (22): opakujúca sa DE (15), AKR (2), AKR s opakujúcim sa DE (5)			
b) susedstvo arzií (4; rozdelené podľa miesta, na ktorom dochádza ku kontaktu, AS aj DE sa môžu opakovať): AS a DE (1), AKR a DE (1), dve AKR za sebou (1), AKR a lichá slabika (1)			
c) atonická slabika medzi dvomi arziami (2): oddeľuje AKR a DE (2)			
Použité skratky:			
AKR = akronymická štruktúra; AS = ascendentný sled; DE = descendentný sled; p = proklitika (predklonka); e = enklitika (príklonka)			

Tabuľka č. 29 Protokol analýzy porovnáwanej vzorky

Resumé

The aim of this master's thesis is to create and describe a prosodic model representing the contemporary form of modern colloquial standard Chinese, ie. Pekinese, and subsequently compare the prosodic characteristics of this model with a recording of an identical text recorded at the turn of the 60s and 70s, with the goal of evaluating the development of the prosodic features of Pekinese over time. It is assumed to observe the weakening of the tonal features of the language, which will be reflected mainly in the loss of tonal syllables.

To sum up the main results of the thesis, the created model consists of 21 sentences, 44 colons, 115 segments and 296 syllables. The majority of the colons was formed by two segments and the majority of segments was formed by three syllables. Fully tonic syllables represented only less than half of their total number. Most of the segments were bearing only one ictus and descending sequences prevailed. The colons were most often formed by two or more sequences without a direct contact of two arses. A comparison with the older recording showed a great degree of similarity between the prosodic features of both, new prosodic model and older prosodic transcription. Despite the fact that some differences did occur, a strong confirmation of the hypothesis was not possible.

Key words: prosodic analysis, Pekinese, model, prof. Oldřich Švarný, rhythmical features, linear segmentation

Zoznam použitej literatúry

- HAN, Kristýna: Prozodická charakteristika textu: Panjin. *Dálný východ* 2018, VIII (1), ss. 97–119.
- POSPĚCHOVÁ, Zuzana: Prozodická transkripce a její využití v současnosti. *Dálný východ* 2015, V (2), ss. 93–103.
- PŘEROSTOVÁ, Eva: *Prozodická analýza textu: Taipei*. Olomouc 2018. 129 s.
- SLAMĚŇÍKOVÁ, Tereza: Rytmičké členění příkladových vět *Učebního slovníku jazyka čínského* (hesla 1–50). *Dálný východ* 2016, VI (2), ss. 64–82.
- SLIVONÍKOVÁ, Barbora: Prozodická analýza čínského vtipu. *Dálný východ* 2018, VIII (2), ss. 60–77.
- SLIVONÍKOVÁ, Barbora, Michaela Grycová a Kristýna Pavlačková: Charakteristika descendentních sledů v Učebnici čínské konverzace. *Dálný východ* 2016, VI (2), ss. 51–63.
- ŠVARNÝ, Oldřich a David UHER. *Prozodická gramatika čínštiny*. 1. vyd. Olomouc: Univerzita Palackého, 2014. 163 s.
- ŠVARNÝ, Oldřich a kol.: *Hovorová čínština v příkladech II*. Olomouc: Univerzita Palackého, 1998a. 237 s.
- ŠVARNÝ, Oldřich a kol.: *Hovorová čínština v příkladech III*. Olomouc: Univerzita Palackého, 1998b. 251 s.
- ŠVARNÝ, Oldřich: *Učební slovník jazyka čínského I*. Olomouc: Univerzita Palackého, 1998c.
- TŘÍSKOVÁ, Hana. *Segmentální struktura čínské slabiky*. Praha: Karolinum, 2012. 440 s.
- UHER, David a Tereza Slaměňíková: Prozodická analýza monologu. In: *Dálný východ* 2015, V (2), ss. 104–115.
- UHER, David a Tereza Slaměňíková (eds.): Pekinese Tones – Proposal for a New Approach. In: *Dálný východ* 2019a, IX (1), ss. 70–73.
- UHER, David a Tereza Slaměňíková (eds.): Prosodic Features and Their Functioning in Modern Chinese. In: *Dálný východ* 2019b, IX (1), ss. 61–64.

- UHER, David a Tereza Slaměňíková (eds.): Prosodic Features in Chinese (Pekinese): Prosodical Transcription and Statistical Tables. In: *Dálný východ* 2019c, IX (1), ss. 117–138.
- UHER, David a Tereza Slaměňíková (eds.): Prosodic Transcription of Modern Chinese: Experimental Research and Teaching Practice. In: *Dálný východ* 2019d, IX (1), ss. 166–174.
- UHER, David a Tereza Slaměňíková (eds.): Rhythmical Features and Prosodic Transcription of Chinese. In: *Dálný východ* 2019e, IX (1), ss. 147–165.
- UHER, David a Tereza Slaměňíková (eds.): Rhythmical Features of Spoken Chinese: Quantitative and Grammatical Analysis (Methodology). In: *Dálný východ* 2019f, IX (1), ss. 139–146.

Zoznam príloh

Prílohy sú k diplomovej práci priložené vo formáte CD, na ktorom sa nachádzajú nahrávky použité na vytvorenie prozodického modelu zozbierané autorkou diplomovej práce, dotazníky s osobnými údajmi respondentov a kompletná prozodická analýza ako vytvoreného modelu, tak porovnávanej vzorky.